

# Gratuittement

www.lemanip.com

Radiologie et imagerie medicale



Livres, memoires, rapport de stage, courses, radiologie conventionnelle, Scanner, TDM, IRM, Scintigraphie, Medecine nucleaire, Radiotherapie, Radiologie Interventionnelle, Oncologie, Clichees, Cas interpretes, exposes, medecine

https://www.lemanip.com/



### www.enanio.com

#### **PREFACE**

Le titre de l'ouvrage annonce clairement son objectif : regrouper dans un même livre l'ensemble des classifications, chiffres, mesures, repères et abaques en imagerie médicale. Toutes ces données ont été classées de façon très rigoureuse par pathologie pour chaque spécialité d'organe.

Ce livre très didactique qui comprend de nombreux tableaux et une iconographie de grande qualité, est présenté dans un format original qui permettra aux lecteurs de trouver rapidement les solutions à leurs questions.

Cet ouvrage s'adresse à tous les radiologues en formation initiale ou continue et s'inscrit tout à fait dans la volonté de la Société Française de Radiologie d'aider les radiologues dans leur pratique clinique quotidienne.

Professeur Jean-Pierre Pruvo



#### INTRODUCTION

Radiologues, nous avons pu constater tout au long de notre formation et de notre pratique qu'il était difficile de garder en mémoire TOU chiffres, mesures, repères, abaques et classifications nécessaires au diagnostic, à la quantification de la sévérité, ou à la prise en charge thérapeutique.

De ce constat est née l'idée qu'il serait très utile de regrouper dans un même ouvrage l'ensemble de ces informations, classées par spéc d'organe.

Ce livre se veut avant tout pratique. Il ne remplace en aucun cas les références bibliographiques de radiologie, mais permettra à tout radiol de retrouver en un minimum de temps les éléments nécessaires à une interprétation précise.

Il regroupe le maximum de données utiles au radiodiagnostic :

- Plus de 1000 items classés par spécialités et sous-spécialités,
- · Sous forme de tableaux pour une meilleure lisibilité,
- · Richement illustrés par des iconographies.

#### Arnaud NATAF

Ancien assistant, service d'imagerie de la femme, hôpital Jeanne de Flandre, CHRU Lille, Chef de clinique assistant, service d'imagerie, hôpital Raymond Poincaré, Garches

Alice FELDMANN

Radiologue à Paris

# www.<mark>emanip.com</mark>

#### REMERCIEMENTS

Nous remercions le professeur Jean-Pierre Pruvo qui nous a fait l'honneur de préfacer notre ouvrage

Nous remercions pour leur collaboration:

- · Romain Duhal, chef de clinique assistant, service de neuroradiologie, CHRU Lille
- · François Pontana, praticien hospitalier universitaire, services d'imagerie cardio-thoracique, CHRU Lille
- · Julien Bigot, praticien hospitalier, services d'imagerie de la femme et pédiatrique, CHRU Lille
- · Eric Kamus, praticien attaché, service d'imagerie de la femme, CHRU Lille
- · Christophe Leroy, praticien hospitalier, services d'imagerie digestive et urologique, CHRU Lille
- · Dan Siahou, chef de clinique assistant, service d'imagerie, CHU Raymond Poincaré
- · Antoine Hutt, interne en radiologie, CHRU Lille

Nous remercions pour leur aide iconographique :

- · Anne Cotten, professeur des universités, praticien hospitalier, service d'imagerie musculo-squelettique, CHRU Lille
- · Jean-Pierre Pruvo, professeur des universités, praticien hospitalier, service de neuro-radiologie, CHRU Lille
- · Olivier Ernst, professeur des universités, praticien hospitalier, service d'imagerie digestive, CHRU Lille
- · Eric Kamus, praticien attaché, service d'imagerie de la femme, CHRU Lille



### TABLE DES MATIERES

- IMAGERIE DE LA FEMME1	
1 • SENOLOGIE1	
A · MAMMOGRAPHIE-ECHOGRAPHIE1	
DENSITE MAMMAIRE 1	
CLASSIFICATION BI- RADS2	
ACR 3 : RYTHME DE SURVEILLANCE4	
B • TDM4	
CRITERES 4	
C • IRM (PROPOSITION D'ARBRE DIAGNOSTIQUE)5	
2 • PELVIS6	
A • UTERUS	
POSITION DE L'UTERUS	
EPAISSEUR NORMALE DE L'ENDOMETRE 6	
MYOMES (CLASSIFICATION FIGO 2011)7	
ADENOMYOSE9	
MALFORMATIONS UTERINES 9	
CANCER DE L'ENDOMETRE :	
CLASSIFICATION FIGO 200911	
CANCER INVASIF DU COL : CLASSIFICATION FIGO 12	
B • ANNEXES13	
SYNDROME DES OVAIRES POLYKYSTIQUES	
(CRITERES DE ROTTERDAM 2003):	
2 CRITERES NECESSAIRES	S
FOLLICULES /KYSTES OVARIENS 13	2
IMPLANTS ESSURE : CRITERES DE BON	ď
POSITIONNEMENT	90
TUMEURS OVARIENNES : CRITERES DE MALIGNITE	
C • STATIQUE PELVIENNE	
C • STATIQUE PELVIENNE	1
3 • OBSTÉTRIQUE18	
A • AVANT 10 SA	5

	BHCG : ECHOGRAPHIE DE DATATION : COURBE DE ROBINSON	18
j.	B • ECHOGRAPHIE T1 ENTRE 11 ET 13+6SA	19
	MESURE DE LA CLARTE NUCALE :	10
	SCORE DE HERMAN (ENTRE 45 ET 84 MM)	19
	GROSSESSE ET PYELON	20
	C • PELVIMETRIE	
2 - 11	MAGERIE PÉDIATRIQUE	21
1.	IMAGERIE OSTEO-ARTICULAIRE	21
Ne.	INDICE DE RISSER	21
	HANCHE NORMALE : ECHO-ANATOMIE	21
	LUXATION DE HANCHE : ECHOGRAPHIE	22
	HANCHE NORMALE : RADIOGRAPHIE	23
	LUXATION DE HANCHE : RADIOGRAPHIE	24
	FPIPHYSIOLYSE	25
	CLASSIFICATION DE SALTER ET HARRIS	26
	OSTEOPOROSE	27
	GONOMETRIE	27
	PIED PLAT	27
	RACHIS CERVICAL	28
2	IMAGERIE DIGESTIVE	29
	EN FONCTION DE L'AGE ET DU POIDS	29
	BIOMETRIE DE LA RATE CHEZ LES ENFANTS ET ADOLESCENTS	
	BIOMETRIE DE LA VOIE BILIAIRE PRINCIPALE	29
	STENOSE DU PYLORE	30
	ATRICIE DE L'OSCOPHAGE .	
	CLASSIFICATION DE GROSS	30
	COUTEDES DE MALADIE DE HIRSCHPRUNG	
1	(LAVEMENT)	3

# www.emanio.com

		POSITION DES VAISSEAUX MÉSENTÉRIQUES	
		APPENDICITE	31
	3 •	BIOMETRIE DES REINS CHEZ LES ENFANTS	32
		BASEE SUR LE POIDS ET L'AGE	32
		NEPHROCALCINOSE : ECHOGRAPHIE	
		BIOMETRIE DU BASSINET	
		REFLUX VESICO-URINAIRE : CLASSIFICATION DE DUCKETT	
		CAPACITE VESICALE	
	Water and		
	4 •	BIOMETRIE DE L'UTERUS	
	5 •	IMAGERIE ORL	35
		HYPERTROPHIE DES VEGETATIONS ADENOIDES	
		ATRESIE DES CHOANES	
	6 •	NEURORADIOLOGIE	
		TRANSFONTANELLAIRE	37
		BIOMETRIE DES VENTRICULES : ECHOGRAPHIE TRANSFONTANELLAIRE	
		CLASSIFICATION DES HEMORRAGIES INTRA-	37
		VENTRICULAIRES	37
3	- 11	AGERIE OSTÉO-ARTICULAIRE	
-		OS TUMORAL	
		A • OSTEOLYSE : CLASSIFICATION DE LODWICK	38
	1	B • EXOSTOSE	39
	(	· CORTICAL DEFECT / FIBROME NON OSSIFIANT	39
	1	D • ENCHONDROME	39
	2 .	MEMBRE INFÉRIEUR	40
		A • CHEVILLE ET PIED	
		PODOMETRIE	
		PIED DE PROFIL EN CHARGE	
		CLICHE DORSO-PLANTAIRE DU PIED DE FACE EN CHARGE  CLICHE DE CHEVILLE DE FACE EN CHARGE AVEC CERCLAGE	42
		CLICHE DE CHEVILLE DE PACE EN CHARGE AVEC CERCLAGE	

	DE MEART	1000
	TROUBLES DE LA STATIQUE	45
	PIED PLAT	45
	PIED CREUX	46
	HALLUX VALGUS	47
	ENTORSE DE CHEVILLE	
	INSTABILITE LATERALE (CLICHES DYNAMIQUES)	48
	ENTORSE TIBIOFIBULAIRE DISTALE	48
в •	GENOU	49
	GONOMETRIE	49
	INSTABILITE DE L'ARTICULATION	
	FEMORO-PATELLAIRE	50
	COMPARTIMENT ANTERIEUR NORMAL	50
	DYSPLASIE DE TROCHLEE : SIGNES SUR LA RADIOGRAPHIE	
	DE PROFIL	51
	DYSPLASIE DE TROCHLEE : SIGNES SUR L'INCIDENCE	
	FEMOROPATELLAIRE A 30°	52
	DYSPLASIE DE TROCHLEE : CLASSIFICATION DE DEJOUR	
	DYSPLASIE DE TROCHLÉE : SIGNES EN TDM/IRM	
	PATELLA ALTA	
	INSTABILITE PATELLAIRE : BASCULE LATERALE DE LA PATELLA	55
	DYSPLASIE DE LA PATELLA : CLASSIFICATION DE WIBERG	-
	(AXIAL, 30° DE FLEXION)	55
	MESURE DE LA DISTANCE TA-GT	
	MENISQUE	
	ANOMALIE DE SIGNAL MENISCAL	
	PRINCIPAUX TYPES DE RUPTURE MENISCALE	
	MENISQUE DISCOIDE	
	POSITIONNEMENT DES PROTHESES DE GENOU	
	PLAN FRONTAL	
	PLAN SAGITAL	CENTRO 1
	PLAN AXIAL	
	LIGAMENT CROISE ANTERIEUR	
	RUPTURE DU LCA	
	BON POSITIONNEMENT APRES LIGAMENTOPLASTIE	100000
	ENTORSE DU LIGAMENT COLLATERAL MEDIAL	61
C .	HANCHE	62
	COXOMETRIE RADIOGRAPHIQUE	
	COXOMETRIE SCANNOGRAPHIQUE	63
	DYSPLASIE DE HANCHE	



	PROTRUSION ACETABULAIRE
	CONFLIT FEMORO-ACETABULAIRE65
	EFFET CAME: RADIOGRAPHIES
	EFFET CAME : TDM
	EFFET TENAILLE : RADIOGRAPHIES
	EFFET TENAILLE : TDM
	BON POSITIONNEMENT PROTHESES TOTALES DE
	HANCHE
	BILAN RADIOLOGIQUE, ZONES DE GRUEN
	IMPLANT FEMORAL
	IMPLANT ACETABULAIRE
	DESCELLEMENT DE PROTHESES68
	OSTEONECROSE DES TETES FEMORALES 69
	CLASSIFICATION DES ONTF SELON ARLET ET FICAT
	RISQUE D'IMPACTION SELON KOO ET KIM (IRM)
3	MEMBRE SUPÉRIEUR70
	A • EPAULE70
	PATHOLOGIE DE LA COIFFE DES ROTATEURS70
	RUPTURE DE COIFFE : SIGNE RADIOLOGIQUE
	FACTEURS EXTRINSÈQUES : CONFLITS70
	STADES DE RETRACTION DU TENDON71
	CONSEQUENCES: INVOLUTION GRAISSEUSE MUSCULAIRE
	(GOUTALLIER)
	CONSEQUENCES: ATROPHIE MUSCULAIRE
	(CLASSIFICATION DE LUCAS)72
	INSTABILITE DE L'EPAULE72
	SEGMENTATION HORAIRE DU LABRUM
	SLAP LESIONS
	CAPSULITE RETRACTILE
	DISJONCTION ACROMIO-CLAVICULAIRE
	(ROCKWOOD)
	OMARTHROSE74
	OMARTHROSE CENTREE: CLASSIFICATION
	DE KELLGREN-LAWRENCE74
	OMARTHROSE CENTREE: BILAN PRE-OPERATOIRE (ARTHRO-TDM) 74
	OMARTHROSE EXCENTREE: CLASSIFICATION
	DE HAMADA ET FUKUDA
	B • COUDE77
	C • POIGNET78

	RADIOGRAPHIE NORMALE DU POIGNET DE FACE 78
	RADIOGRAPHIE NORMALE DU POIGNET DE PROFIL 79
	CONFLITS
	INSTABILITE SCAPHO-LUNAIRE 81
	INSTABILITE LUNO-TRIQUETRALE
	MALADIE DE KIENBOCK : CLASSIFICATION
	RADIOGRAPHIQUE DE LICHTMAN82
	NERFS ET TENDONS DES FACES DORSALE
	ET PALMAIRE 83
	D • DOIGTS84
	PATHOLOGIE DES POULIES84
	ENTORSE DE LA METACARPO-PHALANGIENNE DU
	POUCE: CLASSIFICATION DE EBRAHIM (2006)85
4	SQUELETTE AXIAL86
	A • RACHIS CERVICAL86
	RACHIS CERVICAL NORMAL
	CANAL CERVICAL ETROIT
	SUBLUXATIONS CERVICALES ET ENTORSE GRAVE 88
	B • RACHIS LOMBAIRE90
	CANAL LOMBAIRE OSSEUX
	CONSTITUTIONNELLEMENT ÉTROIT90
	DEGENERESCENCE DISCALE ET CLASSIFICATION
	MODIC
	SPONDYLOLISTHESIS PAR LYSE ISTHMIQUE91
	QUANTIFICATION DU SPONDYLOLISTHESIS
	ELEMENTS PRONOSTICS PEJORATIFS
	C • STATIQUE92
	STATIQUE DANS LE PLAN FRONTAL92
	STATIQUE DANS LE PLAN SAGITTAL
	PARAMETRES RACHIDIENS POSITIONNELS
	PARAMETRES PELVIENS ET SOUS PELVIENS POSITIONNELS ET ANATOMIQUES
	SCOLIOSE 95
	CLASSIFICATIONS
	MESURES DANS LE PLAN FRONTAL DU RACHIS
	MESURE DANS LE PLAN AXIAL DU RACHIS :
	ROTATION AXIALE DE LA VERTEBRE SOMMET

97
97
. 97
. 98
99
99
. 99
99
100
101
102
102
103
103
104
105
-
105
105
106
106
106
106
06
06
06
07
08
08
108
108

109
109
ON
110
111
113
114
114
117
117
118
118
118
119
119
120
121
121
121
122
122
123
124
124
124
125
125
123
126



AVC ISCHEMIQUE: SCORE ASPECTS 126	5
MORT ENCEPHALIQUE : CRITERES 127	,
D • INFLAMMATOIRE127	
SEP : CRITERES DE POLMAN ET MC DONALD 127	
E • ORBITES128	
GRADES DE L'EXOPHTALMIE 128	
F • MALFORMATIONS D'ARNOLD CHIARI128	
6 - IMAGERIE DIGESTIVE129	)
1 • FOIE129	
A • HEPATOMEGALIE129	
B • SEGMENTATION ET REPERES HEPATIQUES 129	
C • LOBES/ FOIES DROIT/GAUCHE131	
D • STEATOSE HEPATIQUE131	
E • TUMEURS BENIGNES	
F • CHC : CRITERES DE BARCELONE	
(AASLD 2011-EASL 2012 MODIFIES)133	
G • TRAUMATISME HEPATIQUE : CLASSIFICATION	
TDM DE MIRVIS134	
2 • VESICULE ET VOIES BILIAIRES134	
A • PATHOLOGIE LITHIASIQUE134	
B • POLYPES VESICULAIRES : CAT 135	
C • CHOLANGIOCARCINOME : CLASSIFICATION	
DE BISMUTH ET CORLETTE	
D • CHOLANGIOCARCINOMES HILAIRES :	
CLASSIFICATION TNM	
3 • RATE137	
A • ANEVRISME DE L'ARTERE SPLENIQUE 137	
B • TRAUMATISMES SPLENIQUES : AMERICAN	
ASSOCIATION FOR SURGERY OF TRAUMA 137	
4 • PANCREAS138	
A • PANCREATITE AIGUE : SCORE DE BALTHAZAR	
MODIFIE (CT SEVERETY INDEX) A 72H138	
CLASSIFICATION DE BALTHAZAR 138	
NECROSE PANCREATIQUE 139	
SCORE	

B • PSEUDOKYSTE POST PANCREATITE AIGUÉ C • MALFORMATION D • TRAUMATISME PANCREATIQUE : AMERICAN	139 <b>139</b>
ASSOCIATION FOR SURGERY OF TRAUMA	140
5 • TUBE DIGESTIF	140
A • HERNIES : REPERES TDM	140
B • OCCLUSIONS	141
C • APPENDICITE	142
D • ANEVRISME DE L'AORTE ABDOMINALE	
E • CANCER COLO-RECTAL : CLASSIFICATION TNM	
7 - IMAGERIE UROLOGIQUE	
1 • REINS	143
A • TAILLE/VOLUME RENAL	143
B • CALCUL	143
C + CLASSIFICATION DE BOSNIAK	144
D • POLYKYSTOSE AUTOSOMIQUE DOMINANTE :	220200
CRITERES SELON PEI ET AL	145
F • TNM CANCER DU REIN	145
G • DOPPLER GREFFON RENAL	145
H • TRAUMATISME RENAL (CLASSIFICATION AAST)	
2 • VESSIE	
A • BIOMETRIE VESICALE CHEZ L'ENFANT	147
B • BIOMETRIE VESICALE CHEZ L'ADULTE	147
C • PAROI	147
D • TNM CANCER DE VESSIE	147
3 • VOIES EXCRETRICES SUPERIEURES	148
B • TNM	
4 • TESTICULES	
A • VOLUME	149
B • MICROLITHIASES	. 149
C • VARICOCELE	. 150
5 • EPIPIDYME	

# www.emanio.com

	6	INFECTIONS URINAIRES SEUIL ECBU	
	7	PROSTATE	
		A • VOLUME	
		B • TNM	
		C • SECTORISATION	
		D • SCORE PI-RADS	153
8		IMAGERIE ORL	
	1	OREILLE	
		A • FOSSETTE COCHLEAIRE	
		B • OTOSPONGIOSE : CLASSIFICATION DE VEILLO C • NEURINOME CLASSIFICATION DE PORTMANN	
		ET BEBEAR	
		D • NEURINOME CLASSIFICATION DE KOOS	157
	2	SINUS DE LA FACE	158
	-	A . HAUTEUR DU TOIT DE L'ETHMOÎDE :	
		PROFONDEUR DE LA GOUTTIERE OLFACTIVE:	
		CLASSIFICATION DE KEROS	158
		B • PNEUMATISATION DES SINUS DE LA FACE EN FONCTION DE L'AGE	
	3	• TRAUMATISMES DE LA FACE : LE FORT	159
	875/00		
		CAVUM	
	5	• LARYNX	161
		CLASSIFICATION UICC 2005 DES CARCINOMES	
		LARYNGES	
	6	AIRES GANGLIONNAIRES	162
	7	KYSTE, FISTULES ET SINUS	
		BRANCHIAUX	164
	8	PAROTIDE	165
	•	A • ADC (A TITRE INDICATIF)	165
		B • PERFUSION (A TITRE INDICATIF)	

- IMAGERIE ENDOCRINIENNE	167
1 • THYROIDE	167
A • GOITRE	167
B • BIOMETRIE ENFANT	167
C • VASCULARISATION	
D • SCANNER	167
E • SCORE TIRADS	168
F • MALADIE DE BASEDOW	169
2 • PARATHYROIDES	169
3 • SURRENALES	170
A • SCANNER	
B • IRM	
C • NEM	171
4 • HYPOPHYSE	171
A • BIOMETRIE	
B • ADENOME	
0 - ONCO-RADIOLOGIE	172
1 • CRITERES RECIST	172

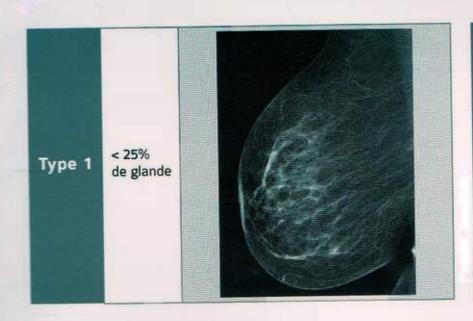


# www.lemanip.com Imagerie de la femme

### 1 • SENOLOGIE

A . MAMMOGRAPHIE-ECHOGRAPHIE

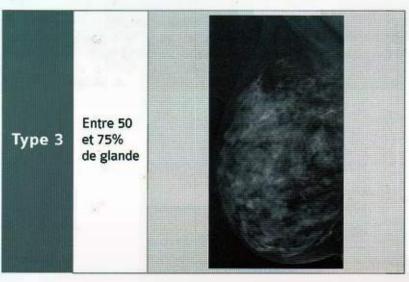
#### **DENSITE MAMMAIRE**

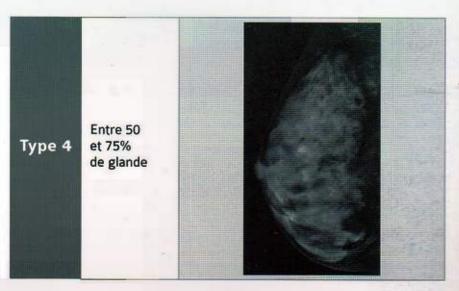






#### IMAGERIE DE LA FEMME





#### **CLASSIFICATION BI- RADS**

ACR 0	Des investigations complémentaires sont nécessaires :  C'est une classification « d'attente », qui s'utilise en situation de dépistage ou dans l'attente d'un second avis, avant que le second avis soit obtenu ou que le bilan d'imagerie soit complété et qu'ils permettent une classification définitive.
ACR 1	Mammographie normale
ACR 2	Il existe des anomalies bénignes ne nécessitant ni surveillance ni examen complémentaire :  Opacité ronde avec macrocalcifications (fibroadénome ou kyste)  Ganglion intramammaire  Opacité(s) ronde(s) correspondant à un/des kyste(s) typiques(s) en échographie  Image(s) de densité graisseuse ou mixte (lipome, hamartome, kyste huileux, galactocèle)  Cicatrice connue et calcifications de matériel de suture  Macrocalcifications sans opacité (adenofibrome, kyste, adiponécrose, ectasie canalaire sécrétante, calcifications vasculaires, etc)  Microcalcifications annulaires ou arciformes, sédimentées, rhomboédriques  Calcifications cutanées et calcifications punctiformes régulières diffuses

ACR 3	<ul> <li>Il existe une anomalie probablement bénigne pour laquelle une surveillance à court terme est conseillée :</li> <li>Microcalcifications rondes ou punctiformes régulières ou pulvérulentes, peu nombreuses, en petit amas rond isolé</li> <li>Petit(s) amas rond(s) ou ovale(s) de calcifications amorphes, peu nombreuses, évoquant un début de calcification d'adénofibrome</li> <li>Opacité(s) bien circonscrite(s), ronde(s), ovale(s) ou discrètement polycyclique(s) sans microlobulation, non calcifiée(s), non liquidiennes en échographie</li> <li>Asymétrie focale de densité à limites concaves et/ou mélangées à de la graisse</li> </ul>
ACR 4	Il existe une anomalie indéterminée ou suspecte qui indique une vérification histologique :  • Microcalcifications punctiformes régulières nombreuses et/ou groupées en amas aux contours ni ronds, ni ovales  • Microcalcifications pulvérulentes groupées et nombreuses  • Microcalcifications irrégulières, polymorphes ou granulaires, peu nombreuses  • Image(s) spiculée(s) sans centre dense  • Opacité(s) non liquidienne(s) ronde(s) ou ovale(s) aux contours lobulés, ou masqués, ou ayant augmenté de volume  • Distorsion architecturale en dehors d'une cicatrice connue et stable  • Asymétrie(s) ou surcroît(s) de densité localisé(s) à limites convexes ou évolutif(s)
ACR 5	Il existe une anomalie évocatrice d'un cancer :  • Microcalcifications vermiculaires, arborescentes ou microcalcifications irrégulières, polymorphes ou granulaires, nombreuse et groupées  • Groupement de microcalcifications quelle que soit leur morphologie, dont la topographie est galactophorique  • Microcalcifications associées à une anomalie architecturale ou à une opacité  • Microcalcifications groupées ayant augmenté en nombre ou microcalcifications dont la morphologie et la distribution sont devenues plus suspectes  • Opacité mal circonscrite aux contours flous et irréguliers  • Opacité spiculée à centre dense
ACR 6	Cancer prouvé ; des biopsies ont été réalisées



# 1 IMAGERIE DE LA FEMME

#### **ACR 3: RYTHME DE SURVEILLANCE**

Microcalcifications	6, 12 et 24 mois	
Autres	4, 12, 24 mois	

#### B • TDM

#### CRITERES

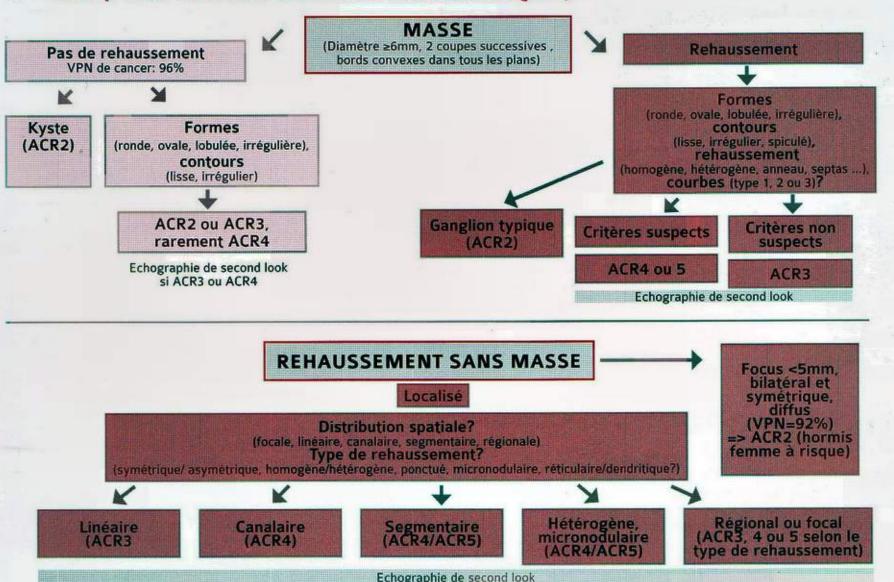
Positionnement	<ul> <li>Patient en décubitus</li> <li>Injection du côté controlatéral au sein à explorer</li> <li>Pas de scout view</li> <li>Mamelon considéré comme le plan zéro de référence</li> <li>Champ comportant tout le sein</li> </ul>	
Acquisition	Contraste spontané I min 30 Finin 30  Timin 30	
Technique	Dose : 1,5cc/Kg	

Critères de positivité de l'anomalie évaluée

Rehaussement précoce (1 min 30) > 20UH Rehaussement tardif (2 min 30) > 30 UH

1

#### C • IRM (PROPOSITION D'ARBRE DIAGNOSTIQUE)



# 1

## IMAGERIE DE LA FEMMWW. EMANIP.COM

### 2 • Pelvis

#### A • UTERUS

#### **POSITION DE L'UTERUS**

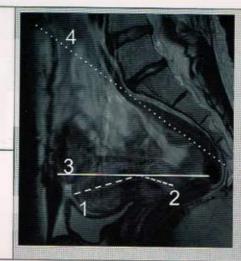
Angle de version

Angle entre l'axe du corps et un plan horizontal passant par l'isthme

(certains utilisent la ligne ombilico-coccygienne)

Angle de flexion

Angle entre l'axe du corps de l'utérus et l'axe du col



Utérus antéversé, antéfléchi

- (1) Axe du corps
- (2) Axe du col
- (3) Horizontal passant par l'isthme
- (4) Ligne ombilico-coccygienne

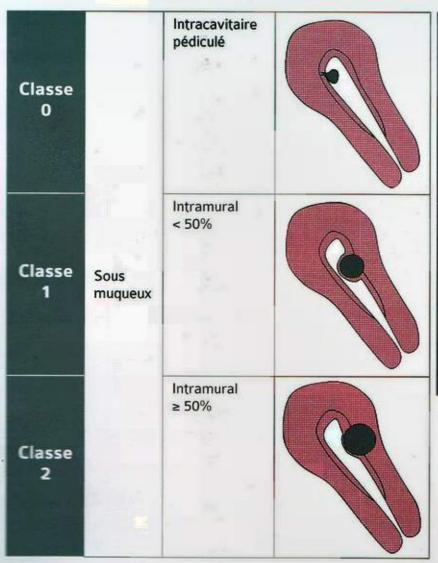
**EPAISSEUR NORMALE DE L'ENDOMETRE** 

Patiente non se de se de

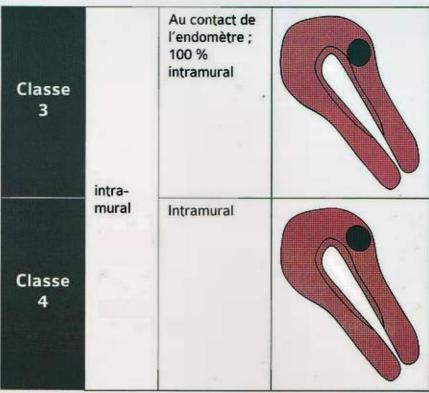
# www.lemanip.comgerie de la femme



#### **MYOMES (CLASSIFICATION FIGO 2011)**

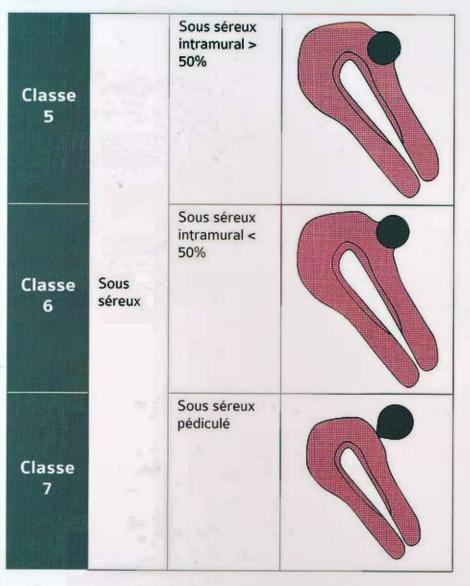


777777777777777



(1)

# IMAGERIE DE LA FEMME WWW.lemanip.com



Classe 8	Autre	Cervical, autre	
Classe 2-5	Hybride	Sous muqueux classe 2 Sous séreux classe 5	
Classe 2-6	Hybride	Sous muqueux classe 2 Sous séreux classe 6	

# 1

#### **ADENOMYOSE**

Epaississement de la zone jonctionnelle >12mm Microkystes

endometriaux

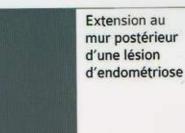
sous

Interne



Adenomyose interne

Hypertrophie de la zone jonctionnelle (pointillés), associée à des microkystes sous endometriaux (flèche)



Externe

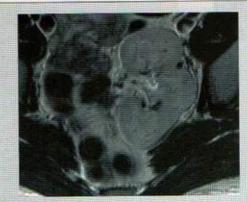


#### **MALFORMATIONS UTERINES**

Syndrome de Mayer-Rokitanski-Kuster-Hauser

- · trompes et ovaires normaux
- · +/- malformations rénales
- · utérus aplasique

Aplasie utérine bilatérale



Syndrome de Mayer-Rokitanski- Kuster-Hauser Rein pelvien et utérus aplasique

#### Aplasie utérine unilatérale

Utérus fortement latéro-dévié

#### Plusieurs types:

- · utérus unicorne vrai
- · utérus pseudo-unicorne typique
- · utérus pseudo-unicorne atypique avec endomètre



Utérus unicorne vrai, fortement latérodévié à droite

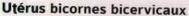
#### Utérus bicornes

Utérus

cloisonnés

#### Diagnostic:

- séparation de deux cavités utérines : sillon inter-cornual > 1cm
- ce qui peut aider à le différencier de l'utérus cloisonné : segment myométrial superficiel perpendiculaire à la droite passant par les fonds utérins ≤5mm



- · avec cloison vaginale : utérus didelphe
- · sans cloison vaginale : utérus pseudo-didelphe

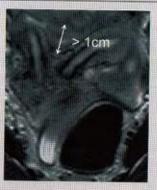
#### Utérus bicornes unicervicaux

- corporéal
- fundique

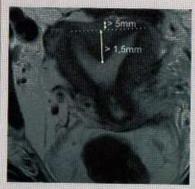
#### Diagnostic:

- 1 massif utérin
- fond plat ou sillon inter-cornual < 1cm</li>
- ce qui peut aider à le différencier de l'utérus bicorne : segment myométrial superficiel perpendiculaire à la droite passant par les fonds utérins > 5mm
- · Ce qui peut aider à le différencier de l'utérus à fond arqué :
  - angle aigu
  - distance > 1,5cm du segment myométrial profond perpendiculaire à la droite passant par les fonds utérins

Peut être total (du fond utérin au vagin avec deux hémi-col), subtotal du fond utérin à l'orifice interne du col), ou corporéal



Utérus bicorne Sillon intercornual > 1cm



Utérus cloisonné
Utérus à fond plat,
segment myométrial superficiel
> 5mm, segment
myométrial profond
> 1,5mm

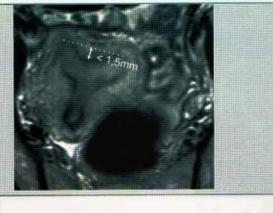
### WWW. emanip. Commigerie de la femme



#### Utérus à fond arqué

Peut être confondu avec l'utérus cloisonné partiel

- · angle obtus du fond utérin
- distance < 1,5 cm du segment myométrial profond perpendiculaire à la droite passant par les fonds utérins



#### CANCER DE L'ENDOMETRE : CLASSIFICATION FIGO 2009

	Tumeur limitée au corps utérin			
Stade I	IA	Tumeur limitée à l'endomètre ou ne dépassant pas la moitié du myomètre		
	IB	Tumeur envahissant la moitié du myomètre ou plus de la moitié du myomètre		
Stade II	Tumeur env	ahissant le stroma cervical mais ne s'étendant pas au-delà de l'utérus		
FRE Lie	Extension lo	cale et/ou régionale comme suit :		
	IIIA	Séreuse et/ou annexes**		
Stade III	IIIB	Envahissement vaginal et/ou paramétrial**		
Stade III	IIIC	Atteinte des ganglions lymphatiques régionaux**		
		Stade IIIC1 : ganglions pelviens		
		Stade IIIC2 : ganglions para-aortiques +/- ganglions pelviens		
	Extension à	la muqueuse vésicale et/ou intestinale et/ou métastases à distance		
Stade IV	IVA	Extension à la muqueuse vésicale et/ou intestinale		
	IVB	Métastases à distance incluant les métastases intra-abdominales et/ou ganglions inguinaux		

<sup>\*\*:</sup> les résultats de la cytologie péritonéale doivent être rapportés séparément et ne modifient pas la classification



# IMAGERIE DE LA FEMMEWWW. Emanip.com

### CANCER INVASIF DU COL : CLASSIFICATION FIGO

	Locali	sation stri	cte au col		
	IA Carcin		nome micro-invasif non visible macroscopiquement, diagnostiqué à l'examen histologique (microscope)		
		IA1	Envahissement du chorion de 3 mm ou moins, largeur de 7 mm ou moins		
Stade I		IA2	Envahissement du chorion supérieur à 3 mm et < 5 mm, largeur de 7 mm ou moins		
	IB	Cancer visible à l'examen clinique ou de taille supérieure à celle du IA2			
		IB1	Lésion de 4 cm ou moins de diamètre maximal		
		B2	Lésion de plus de 4 cm de diamètre maximal		
	Exten	sion extra-	utérine, mais sans atteinte de la paroi pelvienne ou du tiers inférieur du vagin		
	IIA	CONTRACTOR OF THE PERSON NAMED IN	Extension vaginale sans atteinte des paramètres		
Stade II		IIA1	Lésion de 4 cm ou moins de diamètre maximal		
		IIA2	Lésion de plus de 4 cm de diamètre maximal		
	IIB	Extension vaginale avec atteinte d'au moins un des paramètres			
Stade III	Cance muet		la paroi pelvienne et/ou au tiers inférieur du vagin et/ou responsable d'une hydronéphrose ou d'un rein		
Staue III	IIIA	Cancer étendu au tiers inférieur du vagin sans atteinte des parois pelviennes			
	IIIB	Cancer étendu aux parois pelviennes et/ou responsable d'une hydronéphrose ou d'un rein muet			
	Invasion de la vessie, du rectum et au-delà de la cavité pelvienne				
Stade IV	IVA	Extension à la muqueuse de la vésicale et/ou à la muqueuse rectale			
	IVB		ases à distance (cavité péritonéale, foie, poumons et autres)		

# Gratuittement

www.lemanip.com

Radiologie et imagerie medicale



Livres, memoires, rapport de stage, courses, radiologie conventionnelle, Scanner, TDM, IRM, Scintigraphie, Medecine nucleaire, Radiotherapie, Radiologie Interventionnelle, Oncologie, Clichees, Cas interpretes, exposes, medecine

https://www.lemanip.com/

#### **B** • ANNEXES

# SYNDROME DES OVAIRES POLYKYSTIQUES (CRITERES DE ROTTERDAM 2003) : 2 CRITERES NECESSAIRES

Oligomenorrhée ou aménorrhée	<8 cycles/an
Hyperandrogénisme	Clinique : hirsutisme, acné, alopécie Biochimique : 7 testostérone, rapport LH/FSH >2
Au moins un critère échographique	Ovaire siège d'au moins 12 follicules mesurés entre 2 et 9mm de diamètre Volume d'un ovaire > 10 mL Surface d'un ovaire > 5,5cm²



#### **FOLLICULES / KYSTES OVARIENS**

Non ménopausée	< 3cm : follicules > 3cm : contrôle à 3 cycles en début de cycle
Ménopausée	Probablement organique, intérêt d'un avis chirurgical

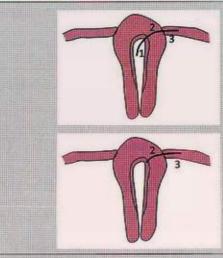
### www.lensinib.com

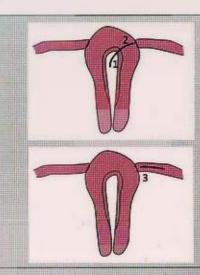


#### **IMPLANTS ESSURE: CRITERES DE BON POSITIONNEMENT**

Position parfaite 1 +2 +3
Position proximale 1 + 2
Position distale 2 + 3
Position très distale 3

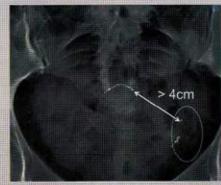
Echo 3D





ASP

- 2 implants symétriques
- Distance entre les deux marqueurs proximaux < 4cm</li>
- L'implant apparait dans la jonction utéro-tubaire et dans la lumière tubaire
- · Courbure harmonieuse des implants
- · Pas de douleur



### Mauvais positionnement de l'essure gauche :

implants non symétriques distance > 4cm entre les deux marqueurs proximaux

4ème marqueur non aligné sur les 3 autres





#### **TUMEURS OVARIENNES: CRITERES DE MALIGNITE IRM**

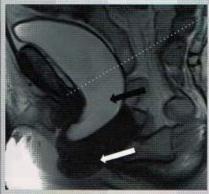
Critères primaires	Masse solide ou large composante solide Epaississement pariétal > 3mm Epaississement septal > 3mm Végétations Nodules Nécroses	
Critères auxiliaires	Ascite Adénopathies Atteinte péritonéale, mésentérique ou omentale Atteinte des organes pelviens ou des parois abdominales	Myomètre
Séquences de diffusion	Restriction de la diffusion au niveau des épaississements septaux, pariétaux, végétations ou portions solides.	2
	Courbe de type 1 :  Courbe de type « bénigne », décrit une courbe de rehaussement progressive  Courbe de type 2 :	1
Séquences de perfusion	Décrit une courbe de rehaussement précoce, mais plus tardive que le rehaussement myométrial, avec un effet plateau	
	Courbe de rehaussement de type 3 :  Spécifique aux tumeurs malignes invasives, elle décrit un rehaussement plus précoce que le myomètre avec un wash out	

#### **C • STATIQUE PELVIENNE**

Ligne de	Ligne sous pubo-sacro-coccygienne (LSPSC)
référence	Beaucoup considérant que la ligne sous pubo-sacro-coccygienne sur- diagnostique, utilisent le plan de la vulve
	possibilités     cervicocystoptose la plus fréquente     trigonoptose post-thérapeutique
Cystocèle	Grade I : proche de la LSPSC
	Grade II : intermédiaire
	Grade III : extériorisée
	Hysteroptose :
	Descente de tout l'utérus
	Hystérocèle :
Compartiment moyen	Descente du col utérin avec retournement en doigt de gant du vagin
	Trachéloptose :
	Descente du col utérin associée à un allongement hypertrophique de sa portion intra-vaginale
	Elytrocèle :
Péritonéocèle	Hernie du cul-de-sac de Douglas disséquant la cloison recto-vaginale à l'origine d'un effet de masse sur le vagin



Cystocèle de grade III Elytrocèle associée



Hystérocèle (flèche blanche) associée à une cystocèle d'accompagnement (flèche noire)

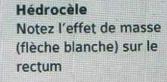


Elytrocèle extériorisée, à contenu digestif

# www.lemanip.comagerie de la femme

	Hédrocèle :
Péritonéocèle (suite)	Hernie du cul-de-sac de Douglas à l'origine d'un effet de masse sur la paroi antérieure du rectum
	Elle peut s'engager dans le canal et s'extérioriser
	Bombement > 20 mm par rapport à l'axe du canal anal
Rectocèle	20-30mm : rectocèle modérée
antérieure	> 30mm : rectocèle importante
	Rétentionniste ou non
Rectocèle postérieure ou postéro-laté- rale	Hernie élévatrice à travers une déhiscence du muscle pubo-rectal
Prolapsus rectal	Invagination du rectum  • Stade I : prolapsus rectal interne  • Stade II : prolapsus rectal intra-anal  • Stade III : prolapsus rectal extériorisé
Anisme	Défaut de relaxation du muscle pubo-rectal ou du sphincter anal lors des efforts de défécation : dyssynergie, avec défaut d'ouverture de l'angle anorectal, voire réduction paradoxale de cet angle







Rectocèle antérieure importante. Bombement antérieur > 30mm par rapport à l'axe du canal



Prolapsus rectal stade I (flèche blanche) A noter une rectocèle antérieure (double flèche ) associée



IMAGERIE DE LA FEMME

### 3 • Obstétrique

#### A · AVANT 10 SA

#### SA: QUELQUES CORRESPONDANCES

J16-J17	Grossesse détectable	
J18	Apparition de la couronne hyperéchogène	
4SA	Vésicule vitelline	
5,5SA	Embryon visible	

#### **BHCG: QUELQUES CORRESPONDANCES**

β <b>HCG &lt; 10</b>	Pas de grossesse
10< βHCG<500	Grossesse en cours ou interrompue
1000< βHCG<7000	Un œuf intra-utérin doit être visible par voie endovaginale
β <b>HCG&gt;7000</b>	Un œuf intra-utérin est toujours visible et contient une veine ombilicale

#### **ECHOGRAPHIE DE DATATION : COURBE DE ROBINSON**

SA	LCC (mm)
5+3	1,93
5+4	2,38
5+5	2,83
5+6	3,28
6	3,73
6+1	4,18
6+2	4,63
6+3	5,08
6+4	5,53
6+5	5,98
6+6	6,58
7	7,43
7+1	8,5
7+2	9,6
7+3	10,7

SA	LCC (mm)
7+4	12
7+5	12,9
7+6	13,8
8	14,7
8+1	15,7
8+2	16,6
8+3	17,6
8+4	18,7
8+5	19,7
8+6	20,8
9	21,9
9+1	23,1
9+2	24,2
9+3	25,4
9+4	26,7

SA	LCC (mm)
9+5	27,9
9+6	29,2
10	30,5
10+1	31,8
10+2	33,2
10+3	34,6
10+4	36
10+5	37,4
10+6	38,9
11	40,4
11+1	41,9
11+2	43,5
11+3	45,1
11+4	46,7
11+5	48,3

SA	LCC (mm)
11+6	50
12	51,7
12+1	53,4
12+2	55,2
12+3	57
12+4	58,8
12+5	60,6
12+6	62,5
13	64,3
13+1	66,3
13+2	68,2
13+3	70,2
13+4	72,2
13+5	74,2
13+6	76,3



#### **B** • ECHOGRAPHIE T1 ENTRE 11 ET 13+6SA

#### MESURE DE LA CLARTE NUCALE : SCORE DE HERMAN (ENTRE 45 ET 84 MM)

Critères majeurs (2 points)	Plan sagittal:  Coupe passant par l'os frontal, les os propres du nez, le palais osseux, la partie centrale de la mandibule et le rachis cervico-dorsal	1
	Position des calipers : Les deux calipers sont bien positionnés	
	Clarté visible dans le dos, au delà de la charnière cervico-thoracique	
Critères mineurs (1 point)	Amnios visible	
	Position de la tête : Position intermédiaire (espace liquidien sous mentonnier sans hyper-extension)	
	Agrandissement de l'image : Taille du fœtus > 75%	Score de Herman 8/9
Score de Herman	0- 1: inacceptable     2-3: insuffisant     4-7: correct     • 8-9: excellent     • ≥ 4 utilisable     • <4 inutilisable	La position de la tête n'e



est pas parfaite

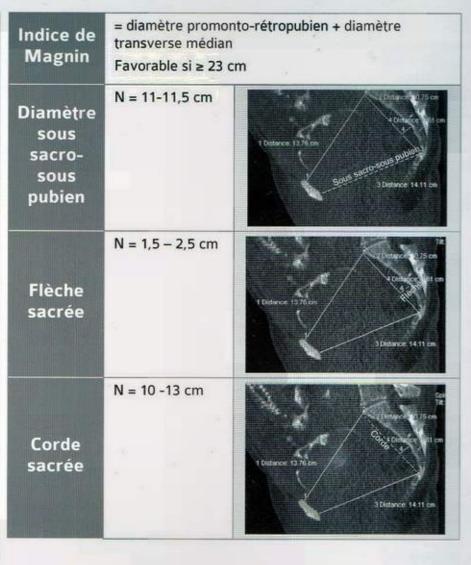
#### **GROSSESSE ET PYELON**

	Droite (mm)	Gauche (mm)
Témoin	5 ± 1,7	4,5 ± 1,4
11-15 SA	7,6 ± 3,0	6,2 ± 2
16-20 SA	8,9 ± 3,4	6,5 ± 2,6
21-25 SA	11,1 ± 4,0	7,2 ± 2,4
26-30 SA	11,4 ± 4,7	8,8 ± 3,7
31-35 SA	13 ± 5,0	8,1 ± 3,2
36-40 SA	12 ± 5,2	9,6 ± 4,4

# IMAGERIE DE LA FEMME WWW. emanip.com

#### C • PELVIMETRIE

Diamètre promonto- rétro- pubien	N ≥ 12,5 cm	1 Distance 13.76 cm
Diamètre transverse médian	N = 12,5 cm La coupe est la perpendiculaire au milieu du diamètre promonto-rétropubien	T Distance 13.89 cm
Diamètre bi- ischiatique	N = 11 cm	1 Deferor 12.37 cm
Diamètre bi-épineux	N = 10 - 10,5 cm	1 Distance 10 17 cm

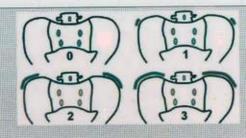


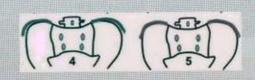
# www.lemanip.com ) Imagerie pédiatrique

# 1 • IMAGERIE OSTEO-ARTICULAIRE

#### INDICE DE RISSER

- · Risser 0 : absence d'ossification
- · Risser 1: ossification du 1er tiers
- Risser 2 : ossification du 2<sup>ème</sup> tiers
- · Risser 3: ossification du 3ème tiers
- Risser 4 : début de soudure de la barrette à l'os iliaque
- · Risser 5 : fusion complète

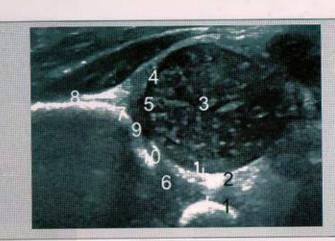




#### **HANCHE NORMALE : ECHO-ANATOMIE**

Echographie réalisée dans le plan frontal latéral (de Graf) en adduction, talus avec aile iliaque horizontale, tête fémorale ronde et noyau pubien visible.

- 1. Noyau pubien
- · 2. Fond de l'acetabulum (superposition du pulvinar et du ligament rond)
- · 3. Tête fémorale
- · 4. Limbus
- 5. Cartilage hyalin du toit de l'acétabulum
- · 6. Cartilage en Y
- · 7. Rebord osseux latéral du toit de l'acétabulum
- · 8. Bord latéral de l'aile iliaque
- · 9. Toit de l'acétabulum
- 10. Point osseux iliaque antero-inferieur





#### **LUXATION DE HANCHE : ECHOGRAPHIE**

**Epaisseur** du fond acétabulaire

Distance noyau pubien/épiphyse médiale du fémur ≥ 6 mm



#### Modelage osseux du toit de l'acetabulum :

- · bien creusé
- insuffisant
- · plat



#### Morphologie du rebord osseux latéral du toit de l'acetabulum, équivalent du talus radiologique :

- · angulaire et normal
- · plus ou moins arrondi
- · plat



#### Morphologie toit acétabulaire (moins nécessaire au diagnostic)

#### Aspect du toit cartilagineux et position du limbus:

L'aspect est normal quand la pointe du limbus est orientée vers le bas

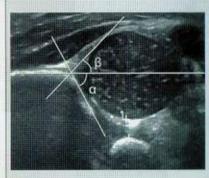


#### L'angle $\beta$ :

Il évalue la couverture cartilagineuse ; il est tracé entre la ligne de base et la ligne joignant le centre du labrum au point d'inflexion. β < 55°

#### L'angle $\alpha$ :

Il évalue le toit osseux ; il est tracé entre la ligne de base et la ligne du toit.  $\alpha > 60^{\circ}$ 



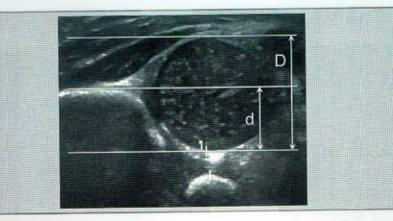
Recouvrement osseux de la tête fémorale (moins nécessaire au diagnostic)

Un recouvrement est:

- normal si d/D > 58%
- anormal si d/D < 33%</li>
- douteux si 33% < d/D < 58%</li>

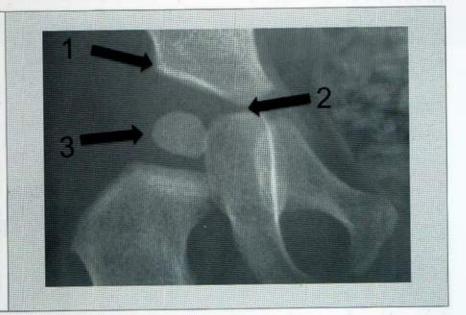
d : distance entre la ligne médiale et la ligne de base (bord latéral de l'aile iliaque)

D : distance entre la ligne médiale et la ligne latérale



#### **HANCHE NORMALE: RADIOGRAPHIE**

- . 1. Rebord osseux latéral du toit de l'acetabulum (talus)
- 2. Cartilage en Y (jonction cartilagineuse entre l'ilion, l'ischion et le pubis)
- · 3. Noyau d'ossification fémoral



## IMAGERIE PEDIATRIQUEWWW.lemanip.com

### **LUXATION DE HANCHE: RADIOGRAPHIE**

Sans noyau épiphysaire : ligne de Putti La tangente au bec métaphysaire doit passer par le milieu du toit de l'acetabulum



Dysplasie gauche La tangente au bec métaphysaire passe en dehors du milieu du toit de l'acetabulum

Sans noyau épiphysaire : ligne de Perkins abaissée par le rebord osseux latéral du toit de l'acetabulum (talus) à la ligne des Y (jonction cartilagineuse entre l'ilion, l'ischion et le pubis) doit couper le bec métaphysaire de façon symétrique

perpendiculaire

La



Radiographie de hanche normale

Avec noyau épiphysaire : construction d'Ombredanne

Angle

acétabu-

laire

Le noyau
épiphysaire doit
se situer dans le
quadrant inféromédial délimité
par la ligne
des cartilages
en Y et la
perpendiculaire
à cette ligne
passant par le
bord latéral du
talus



Dysplasie gauche

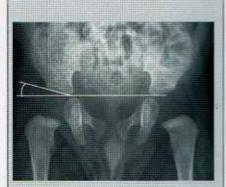
Angle mesuré entre : • ligne des Y (ligne

 ligne des Y (ligne joignant les cartilages en Y)

 ligne joignant extrémité médiale et latérale du toit de l'acetébulum



- 35° à la naissance
- diminution de 2° par mois jusqu'à 6 mois



# www.lemanip.com imagerie pediatrique

#### **EPIPHYSIOLYSE**

Bassin de face : ligne de Klein Normale : la tangente au bord supérieur du col doit normalement couper l'épiphyse fémorale



Epiphysiolyse fémorale supérieure gauche

Bassin de profil : glissement et bascule

Le glissement s'évalue en divisant la métaphyse en trois tiers.

En fonction de la position du bord antérieur de l'épiphyse, on parle de glissement inférieur, égal ou supérieur au tiers antérieur de la métaphyse



Epiphysiolyse gauche Glissement du bord antérieur de l'épiphyse inférieur au tiers antérieur de la métaphyse

La bascule

Angle formé entre :

- l'axe du col
- la perpendiculaire à la tangente aux deux extrémités antérieure et postérieure de l'épiphyse

#### Trois stades:

- Stade 1 : bascule
   30°
- Stade 2 : bascule 30 à 60°
- Stade 3 : bascule > 60°

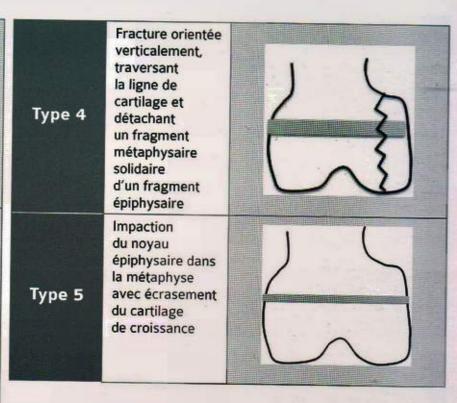


Stade 1 Bascule < 30°

# IMAGERIE PEDIATRIQUE WWW. emanip.com

## **CLASSIFICATION DE SALTER ET HARRIS**

Type 1	Décollement épiphysaire pur, sans lésion épiphysaire ou métaphysaire	
Type 2	Décollement épiphysaire associé à un trait de fracture métaphysaire	
Type 3	Décollement épiphysaire associé à une fracture épiphysaire	



# www.lemanip.comagerie pediatrique



#### **OSTEOPOROSE**

(d+d')/I

d et d' : Largeur des corticales

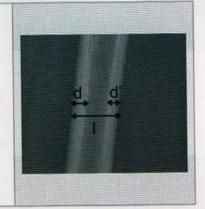
Index corticodiaphysaire

1 : largeur totale diaphysaire (au milieu de la diaphyse)

De 18 mois à 50 ans

 $I = 0.48 \pm 0.09$ 

< 18 mois: non interprétable



#### GONOMETRIE

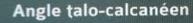
Naissance	Genu varum de 10-15°
18 mois	Genu varum de 7 à 9°
2 ans	Rectitude
3 ans	Genu valgum maximal (7 à 10°)
> 3 ans	Genu valgum de 3°

#### PIED PLAT

Angle entre la tangente au bord inférieur du calcanéeum et l'horizontale

< 20°: pied plat

Normale = 20°



Angle calcanéen

Angle formé par les tangentes au bord inférieur du talus et du calcanéum

Normale = 45°





# IMAGERIE PEDIATRIQUEWWW. emanip.com

## RACHIS CERVICAL

Diastasis atlantoaxoïdien Normale < 5 mm chez l'enfant (<7 mm en flexion)



Diastasis de 5 mm

Pseudo-luxation C2-C3

Normale jusqu'à 7-8 ans : antelisthesis ≤ 5 mm

Critère de normalité : ligne de Swischuk

Le bord antérieur du processus épineux de C2 se projette à moins de 2 mm en arrière de la ligne spinolamaire de C1 à C3 (ligne de Swischuk)



Pseudo-luxation C2-C3 Le bord antérieur du processus épineux de C2 se projette à moins de 2mm en arrière de la ligne de Swischuk

# www.lemanip.commagerie pediatrique



## 2 • IMAGERIE DIGESTIVE

# HEPATIQUE EN FONCTION DE L'AGE ET DU POIDS

Taille de l'enfant	Age (mois)	Limite basse suggérée (mm)	Limite haute suggérée (mm)
47-64	1-3	40	90
54-73	4-6	45	95
65-78	7-9	60	100
71-92	12-30	65	105
85-109	36-59	65	115
100-130	60-83	70	125
110-131	84-107	75	130
124-149	108-131	75	135
137-153	132-155	85	140
143-168	156-179	85	140
152-175	180-200	95	145

# ENFANTS ET ADOLESCENTS

Age	Limite supérieure (cm)
0-3 mois	6
3-6 mois	6.5
6-12 mois	7
1-2 ans	8
2-4 ans	9
4-6 ans	9.5
6-8 ans	10
8-10 ans	11
10-12 ans	11.5
12-15 ans	12
15-20 ans (homme)	12
15-20 ans (femme)	13

Limites normales (mm)
30-70
40-75
45-80
54-85
55-95
60-105
65-105
65-110
75-115
80-120
85-120

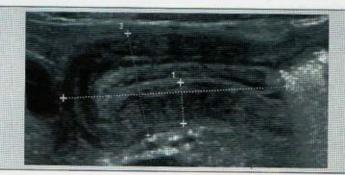
## **BIOMETRIE DE LA VOIE BILIAIRE PRINCIPALE**

Age (an)	Limites (mm)
Nouveau né	1
2	2
2-6	2-4
6-10	2-6
10-12	3-6
12-14	3-6
Adulte	6

# IMAGERIE PEDIATRIQUE

#### STENOSE DU PYLORE

Muscle pylorique ≥ 4mm Longueur du canal ≥ 16mm pylorique ≥ 12mm Diamètre du canal Pas de Absence d'ouverture passage du bol du canal pylorique

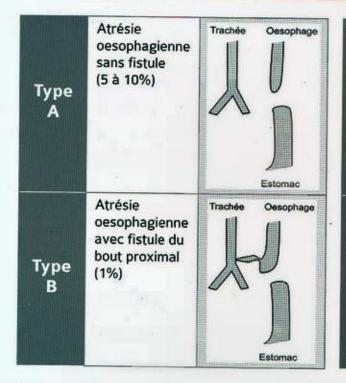


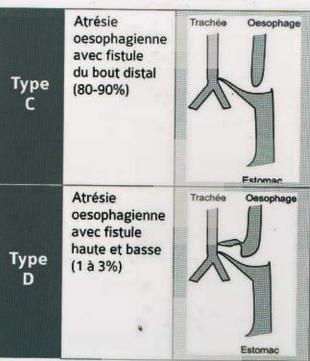
#### Sténose du pylore

- (1) Muscle pylorique
- (2) Longueur du canal pylorique
- (3) Diamètre du canal pylorique

## ATRESIE DE L'ŒSOPHAGE : CLASSIFICATION DE GROSS

alimentaire







# www.lemanip.com



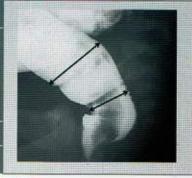
## **CRITERES DE MALADIE DE HIRSCHPRUNG (LAVEMENT)**

#### Zone de transition

Diminution de l'index recto-sigmoïdien de profil : diamètre transverse maximal du rectum au niveau de la 3ème vertèbre sacrée / diamètre transverse maximum du colon sigmoïde < 1

Contractions anarchiques du segment aganglionnaire

Aspect en pile d'assiette



#### Maladie de Hirschprung

Diamètre transverse maximal du rectum au niveau de la 3<sup>ème</sup> vertèbre sacrée / diamètre transverse maximum du colon sigmoïde < 1

#### POSITION DES VAISSEAUX MÉSENTÉRIQUES

Veine mésentérique

Normale : à droite

Normale : à gauche



Position anormale des vaisseaux mésentériques L'artère mésentérique supérieure se trouve à droite de la veine mésentérique

Artère mésentérique

### **APPENDICITE**

## **Echographie**

- Epaississement pariétal (paroi > 3mm, diamètre > 6mm), hypervasculaire
- Epanchement
- Infiltration de la graisse avoisinante



#### Appendicite aiguë

Epaississement pariétal mesuré à 13 mm (double flèche) associé à une infiltration en regard (\*)



# IMAGERIE PEDIATRIQUE WWW.lemanip.com

## 3 • IMAGERIE UROLOGIQUE

### BIOMETRIE DES REINS CHEZ LES ENFANTS BASEE SUR LE POIDS ET L'AGE

Sujets	Rein gauche		Rein droit	
Age range	Limite basse suggérée (mm)	Limite haute suggérée (mm)	Limite basse suggérée (mm)	Limite haute suggérée (mm)
1-3 mois	35	65	35	65
4-6 mois	40	70	40	70
7-9 mois	45	75	45	70
1-2 ans	50	80	50	75
3-4 ans	55	85	55	80
5-6 ans	60	95	60	85
7-8 ans	65	100	65	95
9-10 ans	65	105	65	100
11-12 ans	70	110	70	105
13-14 ans	75	115	75	- 110
15-16 ans	80	120	75	110

## **NEPHROCALCINOSE: ECHOGRAPHIE**

Aspect normal	Pyramides hypoéchogènes par rapport au cortex. Sinus peu échogène	
Néphrocalcinose débutante : grade l	Aspect souligné de toutes les pyramides de Malpighi par une hyperéchogénicité linéaire prédominant au sommet des pyramides	
Néphrocalcinose grade II	Hyperéchogénicité médullaire diffuse et inhomogène	
Néphrocalcinose grade III	Hyperéchogénicité diffuse et homogène des pyramides de Malpighi Inversion de la différenciation cortico-médullaire	
Néphrocalcinose grade III + lithiase	Hyperéchogénicité diffuse et homogène des pyramides de Malpighi avec quelques cônes d'ombre postérieurs	Néphrocalcinose de grade III

## **BIOMETRIE DU BASSINET**

Normale	< 10 mm (7 mm à la naissance)
Dilatation	> 10 mm



## IMAGERIE PEDIATRIQUE WWW. emanip.com

## REFLUX VESICO-URINAIRE: CLASSIFICATION DE DUCKETT

Grade I	Seule l'uretère est opacifié
Grade II	L'uretère, le bassinet et les calices sont opacifiés mais sans dilatation
Grade III	Dilatation modérée urétéro- pyélique sans dilatation calicielle
Grade IV	Dilatation modérée urétéro- pyélo-calicielle avec bombement et déformation des papilles
Grade V	Dilatation et tortuosité urétérale majeure, grosse dilatation pyélo- calicielle, avec vision des papilles



Grade 1 à droite
Seule l'uretère est opacifié
Grade 2 à gauche
L'uretère, le bassinet et
les calices sont opacifiés
mais sans dilatation



Grade 3 à droite
Dilatation modérée urétéro-pyélique sans atteinte
calicielle
Grade 5 à gauche
Dilatation et tortuosité
urétérale majeure, grosse
dilatation pyélo-calicielle,
avec vision des papilles



Grade 4 à gauche Dilatation modérée urétéro-pyélo-calicielle avec bombement et déformation des papilles

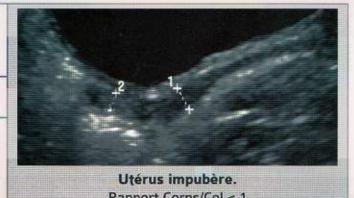
## CAPACITE VESICALE

Naissance	30 à 50 cc
1 an	50 à 100 cc
A partir de 1 an	30 x (âge + 2)
Volume = $L \times I \times h \times 0.5$	

# 4 • IMAGERIE GENITALE

#### **BIOMETRIE DE L'UTERUS**

Néo-natal	<ul> <li>Influence hormonale maternelle</li> <li>Taille: 4-5cm</li> <li>Aspect tubulaire, sans dissociation col-corps, lumière hyperéchogène visible</li> </ul>
Utérus impubère	Rapport Corps/Col < 1     Taille= 3 ± 0,5cm
Uterus pubère	<ul> <li>Taille= 5 à 8 cm de longueur sur 2 à 4 cm d'épaisseur</li> <li>Rapport Corps/Col &gt; 1</li> </ul>



## Rapport Corps/Col < 1

## 5 • IMAGERIE ORL

## **BIOMETRIE THYROIDIENNE**

Age	Volume
Naissance	0,5 à 1,2 mL
2 ans	0,7 à 1,5 mL
4 ans	1,3 à 2,5 mL
6 ans	1,6 à 3 mL
8 ans	1,7 à 3,5 mL
10 ans	2 à 4,5 mL
12 ans	2,5 à 5,5 mL

# IMAGERIE PEDIATRIQUEWWW.lemanip.com

## HYPERTROPHIE DES VEGETATIONS ADENOIDES

Mesure	V/S Epaisseur des végétations (V) rapportée à la distance entre le fond de la selle turcique et la face inférieure du sphénoïde (S)
Hypertrophie	<ul> <li>Bombement antérieur des parties molles (V&gt;S)</li> <li>Filière aérienne rétrécie (&lt;5mm)</li> </ul>
Naissance	0.5cm < V < 1 cm  Partie molles, végétations, parallèles au plan osseux
6 mois – 5 ans	<ul> <li>V&gt; à l'épaisseur de la filière aérienne</li> <li>Convexité antérieure des parties molles</li> <li>Filière aérienne = 0.5 cm</li> <li>Perte de parallélisme avec le plan osseux</li> </ul>
6 ans – 8 ans	<ul> <li>V = épaisseur de la filière aérienne</li> <li>Discrète convexité antérieure des parties molles</li> </ul>
Après 8 ans	<ul> <li>V&lt; filière aérienne</li> <li>Perte de la convexité antérieure des parties molles</li> <li>V = 4 à 5 mm puis 2 à 3 mm</li> </ul>



## **ATRESIE DES CHOANES**

Normale

Normale

Sténose bilatérale des choanes

# www.lemanip.com/ Gerie Pediatrique



# 6 • NEURORADIOLOGIE

## BIOMETRIE DU CORPS CALLEUX ECHOGRAPHIE : TRANSFONTANELLAIRE

	Genou	Corps	Splénium
Prématuré 33SA	3 mm	1,7 mm	2,8 mm
Nouveau né à terme	4 mm	2 mm	3,6 mm

## **BIOMETRIE DES VENTRICULES : ECHOGRAPHIE TRANSFONTANELLAIRE**

Au niveau des carrefours	≤10 mm
Au niveau des trous de Monro	≤ 5 mm
Au niveau du 3 <sup>ème</sup> ventricule	≤ 3 mm
Rapport d'Evans	largeur des cornes frontales / largeur maximale du parenchyme cérébral : entre 0,16 et 0,29

## CLASSIFICATION DES HEMORRAGIES INTRA-VENTRICULAIRES

Grade I	Hémorragie sous- épendymaire
Grade II	Hémorragie intraventriculaire à ventricules normaux
Grade III	Hémorragie intraventriculaire avec dilatation
Grade IV	Hémorragie intraventriculaire avec extension intra-parenchymateuse



Hémorragie intra-ventriculaire grade III

## 1 • Os tumoral

## A • OSTEOLYSE : CLASSIFICATION DE LODWICK

la: ostéolyse IB: ostéolyse lc: ostéolyse géographique géographique géographique Géogralimitée par une à limites nettes à limites floues phique ou ostéocondensation sans condensation 1b 1a périphérique 1c stade I périphérique réactionnelle Correspond à la Multiples images confluence de lacunaires multiples «lacunes» inframillimétriques. millimétriques dans rondes ou ovales, l'os à bords flous ou de Mitée ou Perméative ou 11 multiples petites III stade II stade III fentes ostéolytiques, de taille uniforme. qui confèrent à la corticale un aspect «feuilleté»

#### **B** • EXOSTOSE

Critère de dégénérescence sarcomateuse Coiffe cartilagineuse épaisse : >1-1,5 cm chez l'adulte, 3 cm chez l'enfant



Exostose présentant une coiffe cartilagineuse mesurée à 17mm, suspecte

## C • CORTICAL DEFECT / FIBROME NON OSSIFIANT

Cortical Defect





Fibrome non ossifiant



#### D • ENCHONDROME

< 2 cm

Signes d'atypies

- Douleurs
- Topographie axiale (ceintures, rachis)
   Topographie épiphysaire aux os longs, notamment en proximal
- Augmentation de la taille (> 6 cm)
- · Disparition de calcifications connues
- Érosions corticales endostées profondes (> 2/3 de l'épaisseur)
- Érosions corticales endostées étendues (> 2/3 de la hauteur lésionnelle)
- Appositions périostées/épaississement cortical (en l'absence de fracture)
- · Remodelage cortical avec élargissement du diamètre de la cavité médullaire
- Hypersignal péritumoral en STIR, rehaussement tumoral en plages

## 2 • Membre inférieur

## A • CHEVILLE ET PIED

#### **PODOMETRIE**



#### Bilan radiographique

- O Cliché de pied de profil en charge
- O Cliché dorso-plantaire du pied de face en charge
- Cliché de cheville de face en charge avec cerclage de Méary

#### PIED DE PROFIL EN CHARGE

Angle de Djian-Annonier C'est l'angle au sommet de l'arche médiale entre :

- la droite passant par le point le plus déclive de l'interligne talonaviculaire et le point le plus déclive de la tubérosité calcanéenne
- la droite passant le point le plus déclive de l'interligne talonaviculaire et le point le plus déclive du sésamoïde médial de l'hallux

Normale : 120-130° < 120° : pied creux > 130° : pied plat

Ligne de Méary-Tomeno Formée par l'axe longitudinal passant par le col et la tête du talus et celui de la diaphyse de M1

Normale : rectiligne

Pied plat :

Cassure avec angle à sommet inférieur, axe du talus verticalisé

Pied creux:

Cassure avec angle à sommet supérieur, axe du talus horizontalisé





Pente du calcanéus	Angle formé par la tangente à la face palmaire du calcanéus et l'horizontale Normale : 15-25° Diminué dans le pied plat	
Pente des métatarsiens	Angle formé par l'axe de chacun des métatarsiens et l'horizontale Diminue normalement de M1 à M5  Pente du 1er métatarsien :  • normale : 20° environ  • diminuée dans le pied plat  • augmentée dans le pied creux	
Angle de divergence talo-calca- néenne	Angle mesuré entre l'axe longitudinal du talus et du calcanéus Normale : 15-25°	
Angle tibio- talien	Angle mesuré entre l'axe longitudinal du talus et du tibia Normal : 105° Augmenté en cas d'équinisme de l'arrière pied Diminué en cas de dorsiflexion de l'arrière pied	



# IMAGERIE OSTEO-ARTICMARY W. I EMANIP. COM

#### CLICHE DORSO-PLANTAIRE DU PIED DE FACE EN CHARGE

Angle de
divergence
talo-
calcanéeene
de face

Angle mesuré entre l'axe du talus et celui du calcanéus Normale : 15-25°

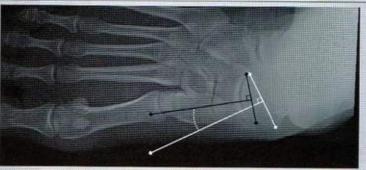
>30° en cas de pied plat



## Couverture talo-naviculaire

Angle formé entre les perpendiculaires aux surfaces articulaires de la tête du talus et de la face postérieure de l'os naviculaire

Augmente en cas de pied plat



## Angle M1-P1 de l'hallux

Angle mesuré entre l'axe des diaphyses de P1 et de M1

Normale: < 15°

Augmente en cas d'hallux valgus



Angle d'ouverture de l'avant-pied (M1-M5)

Angle mesuré entre l'axe des diaphyses de M1 et de M5 Normale: 15°



Angle mesuré entre l'axe des diaphyses de M1 et de M2 Normale: < 10°

Angle de métatarsus varus (M1-M2)



# 3 IMAGERIE OSTEO-ARTICULAIRE WWW. emanip.com

## CLICHE DE CHEVILLE DE FACE EN CHARGE AVEC CERCLAGE DE MEARY

Méthode de Méary	Elle permet de diagnostiquer une déformation frontale de l'arrière pied L'axe du tibia coupe la zone d'appui du talon à l'union du tiers médial et des deux tiers latéraux (valgus physiologique) Si l'axe du tibia passe en dedans, il existe un valgus calcanéen Si l'axe du tibia passe en dehors, il existe un varus calcanéen L'articulation tibio-talienne est normalement horizontale L'inclinaison de l'articulation sous-talienne est de 23°	
Méthode de Djian	Il s'agit de l'analyse du trapèze d'appui de Djian et Annonier formé par les segments tibio-talien et plantaire.  La déviation de l'arrière pied est mesurée par l'angle formé par les deux droites abaissées par le milieu du segment tibio-talien :  • l'une perpendiculaire au segment plantaire  • l'autre rejoignant le milieu du segment plantaire  Normale : valgus physiologique de 6 à 8°	

# Gratuittement

www.lemanip.com

Radiologie et imagerie medicale



Livres, memoires, rapport de stage, courses, radiologie conventionnelle, Scanner, TDM, IRM, Scintigraphie, Medecine nucleaire, Radiotherapie, Radiologie Interventionnelle, Oncologie, Clichees, Cas interpretes, exposes, medecine

https://www.lemanip.com/

www.lemanip.com

## **TROUBLES DE LA STATIQUE**

#### PIED PLAT

Profil en charge	Angle de Djian-Annonier > 130°  Cassure de la ligne de Méary-Toméno avec angle à sommet inférieur et axe du talus verticalisé  Pente du calcanéus < 10°  Pente du 1° métatarsien < 15°  Divergence talo-calcanéenne > 30°	Pied plat (1) Angle de Djian-Annonier (2) Ligne de Méary-Toméno (3) Pente du calacanéus (4) Pente du 1er métatarsien
Face en charge	Divergence talo-calcanéenne > 30°	
Face avec cerclage de Méary	Valgus calcanéen :  • axe du tibia dévié en dedans du 1/3 médial (pointillés blancs)  • angle de Djian augmenté (noir)	



## IMAGERIE OSTEO-ARTICULAIRE

#### PIED CREUX



#### Classification des pieds creux

- Pied creux direct (arrière pied en position neutre) antérieur (PCDA), postérieur (PCDP), mixte (PCDM)
- Pied creux varus
- Pied creux valgus

# Profil en

charge

#### Angle de Djian-Annonier < 115°

#### Ligne de Méary :

- · importante cassure dans le PCDA
- · pas de cassure dans le PCDP

Pente de M1 augmentée dans le PCDA

## Angle tibio-talien • < 105° dans le PCDA

- · > 105° dans le PCDP

Pente du calcanéus > 30° dans le PCDP



#### Pied creux

- (1) Angle de Djian-Annonier
- (2) et (3) Ligne de Méary
- (4) Pente du calcanéus

Face avec cerclage de Méary

Recherche de déformation frontale de l'arrière pied, valgus ou varus

# WWW.lemanip.Gome osteo-articulaire

#### HALLUX VALGUS

Angle M1-P1 augmenté > 15°

Recherche de varus de M1 : angle M1-M2 augmenté > 10°

Face en charge



# IMAGERIE OSTEO-ARTICULAREW. I EMANIP. COM

## **ENTORSE DE CHEVILLE**

## INSTABILITE LATERALE (CLICHES DYNAMIQUES)

Varus forcé

Mesure de l'angle tibio-talien latéral:

- < 10°: normal
- >10° : rupture du faisceau talofibulaire antérieur
- >15°: rupture des faisceaux antérieur et moyen
- >25° : rupture des trois faisceaux





Pathologique si >8 mm



## ENTORSE TIBIOFIBULAIRE DISTALE

Diastasis

Largeur mesurée 1 cm au dessus de l'interligne talo-crural

Distance entre le rebord postéromédial du tibia et le bord médial de la fibula > 6 mm





## B • GENOU

## GONOMETRIE

	Il s'agit de l'angle fémoro-tibial CI-IC'		Gony valgue bilatéral
	Angle fémoro-tibial  • C = centre de la tête fémorale		Genu valgus bilatéra
	I = centre du genou (centre des épines tibiales ou point abaissé du milieu du segment joignant la pointe des épines tibiales (1) sur la tangente aux condyles fémoraux (2)) C'= centre de la cheville (milieu du dôme talien)		
	Déviation en valgus		
	I est en dedans de la droite CC'		
Angle de déviation	Déviation en varus		
angulaire global	I est en dehors de la droite CC'		
(DAG)	Normal	-2	
	Valgus physiologique de 2° chez l'homme, 3° chez la femme		
		c.	
Angle de déviation angulaire corrigé (DAC)	L'angle de déviation angulaire corrigé (DAC) prend en comp Exemple : un DAG de 10° en valgus correspond à un DAC d	pte le valgus physiologique le 8° pour un homme.	

# www.iemanip.com

IMAGERIE OSTEO-ARTICULAIRE

Angle mécanique fémoral Angle médial entre : · la droite qui lie

le centre de la tête fémorale et le centre de l'échancrure intercondylienne (1)

· la tangente aux condyles fémoraux (2)

Normal = 93°



Angle médial entre:

- · la droite qui lie le centre des épines et le centre de la cheville C'
- · la tangente aux plateaux tibiaux (2)

Normal = 87°:



## INSTABILITE DE L'ARTICULATION FEMORO-PATELLAIRE

## COMPARTIMENT ANTERIEUR NORMAL

Condyle latéral	Le plus antérieur (pointillés blancs)  Méplat de son tiers moyen (flèche blanche) en arrière de la ligne de Blumensaat
Condyle médial	Le plus postérieur (pointillés noirs) Encoche située à sa jonction tiers antérieur- tiers moyen en avant de la ligne de Blumensaat (flèche noire)
Fond de trochlée	Ne doit pas rejoindre la ligne de la berge latérale de la trochlée (longue flèche)



Angle

méca-

nique

tibial

Radiographie de genou de profil, normale

#### DYSPLASIE DE TROCHLEE : SIGNES SUR LA RADIOGRAPHIE DE PROFIL



#### Signes à rechercher sur la radiographie de profil strict :

- signe du croisement
- o saillie de la trochlée
- o profondeur de la trochlée
- éperon sus-trochléeen
- signe du double contour pathologique

Signe du croisement

Croisement (flèche noire) entre la ligne de fond de trochlée (pointillés noirs) et le bord antérieur du condyle latéral (pointillés blancs)

Saillie de la trochlée Distance (double flèche) entre le prolongement de l'axe de la corticale antérieure de la diaphyse fémorale (droite) et le point le plus antérieur de la gorge de trochlée

Normale = 0 -2 mm

> 3 mm : dysplasie de trochlée



Dysplasie de trochlée Signe du croisement (flèche noire) et saillie de trochlée (double flèche) Profondeur de la trochlée C'est la distance moyenne entre le fond de la gorge trochléenne (G) et chacune de ses deux berges latérale (L) et médiane (M)

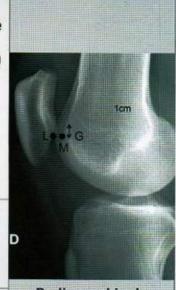
GM + GL / 2 avec G située à 1 cm sous le bord supérieur de la trochlée

Normale > 5 mm

Eperon sustrochléen

Signe du double contour pathologique Aspect de spicule siégeant à la jonction entre la trochlée et la sus trochlée fémorale

Image d'addition linéaire située en arrière de la corticale antérieure du fémur



Radiographie de genou normal



## IMAGERIE OSTEO-ARTICULAMEW. EMANIP.COM

## DYSPLASIE DE TROCHLEE : SIGNES SUR L'INCIDENCE FEMOROPATELLAIRE A 30°

Angle trochléen Angle formé par les deux berges trochléennes Normale entre 125 et 145°

Dysplasie

> 145°

Dysplasie gauche Angle trochléen > 145°

Profondeur de trochlée Distance entre la tangence aux extrémités antérieures condyliennes et la gorge de la trochlée Normale > 5 mm G

Dysplasie de trochlée Profondeur de la trochlée < 5 mm

## DYSPLASIE DE TROCHLEE : CLASSIFICATION DE DEJOUR

Type A	Signe du croisement, angle trochléen > 145°
Type B	Signe du croisement, éperon sus trochléen, trochlée plate
Type C	Signe du croisement, double contour, trochlée convexe
Type D	Signe du croisement, éperon, double contour, cliff pattern

## DYSPLASIE DE TROCHLÉE : SIGNES EN TDM/IRM

	3 coupes TDM/IRM de référence	
Coupe au sommet	Première coupe où le cartilage de la facette latérale est visible au sommet de la facette latérale de la trochlée	
Coupe sus-trochléenne	Située 6mm au dessus de la coupe au sommet  Passe par la fosse intercondylaire lorsqu'elle présente un aspect en « arche romane ». Elle permet de définir l'axe du plan bicondylien postérieur	
Coupe à l'arche romane		

#### Pente latérale au sommet de la trochlée

Superposition de la coupe au sommet et de la coupe à l'arche romane

- normale entre 15 et 30°
- dysplasie < 11°</li>



Pente latérale au sommet de la trochlée

## Pente latérale au niveau de la sus-trochlée

Superposition de la coupe de la sus trochlée et de la coupe à l'arche romane)

- normale: 17° (± 9 mm)
- sa négativité correspond à un éperon radiographique



Pente latérale au niveau de la sus-trochlée

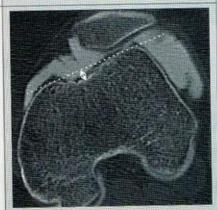
### Hypoplasie de la berge médiale

3cm au dessus de l'interligne tibio-fémoral Dysplasie si (M/L) x 100 < 40%



Dysplasie M/L < 40%

Profondeur de la trochlée 3cm au dessus de l'interligne tibio-fémoral Dysplasie si < 3mm



Dysplasie Profondeur de la trochlée < 3 mm

# WWW. emanip.com



Indice de Caton et Deschamps	Ne dépend pas de la flexion du genou  Rapport entre la distance entre :  • b: bord inférieur de la surface articulaire patellaire et le coin antéro-supérieur du tibia et  • a : hauteur de la surface articulaire patellaire  Patella alta si b/a ≥ 1,2		Patella alta b/a ≥ 1,2
Indice de Insall et Salvati	Rapport entre la longueur du ligament patellaire (a) et la longueur patellaire (b)  Patella alta si a/b ≥ 1,2	↑ b A A A A A A A A A A A A A A A A A A	Patella alta a/b ≥ 1,2
Indice de Blackburne et Peel	C'est le rapport entre :  • a : la distance entre le bord inférieur de la surface articulaire patellaire et la tangence au plateau tibial et  • b : la hauteur de la surface articulaire patellaire  Patella alta si a/b > 1	l l	Patella alta a/b > 1

# www.lemanip.GQGRe OSTEO-ARTICULAIRE



#### INSTABILITE PATELLAIRE : BASCULE LATERALE DE LA PATELLA

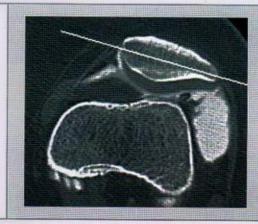
Angle entre le diamètre transverse de la patella et le plan bicondylien postérieur

Bascule latérale de la patella

Mesurée au TDM, 15° de flexion

normale: 10-20°

> 20°: instabilité patellaire



Instabilité patellaire Bascule latérale de la patella > 20°

#### DYSPLASIE DE LA PATELLA : CLASSIFICATION DE WIBERG (AXIAL, 30° DE FLEXION)

Type I	Facette patellaire médiale concave en arrière et presque aussi longue que la facette latérale	
Type II	Facette patellaire médiale concave en arrière et courte	
Type III	Facette patellaire médiale convexe en arrière et courte (patella dysplasique)	

# 3 IMAGERIE OSTEO-ANTONANY. EMANIP.COM

MESURE DE LA DISTANCE TA-GT

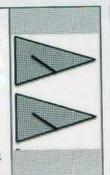
Superposition d	e 2 coupes TDM de référence, 30° de flexion	
Coupe passant par la TTA	Insertion tibiale du ligament patellaire	
Coupe à l'arche romane	Passe par la fosse intercondylaire lorsqu'elle présente un aspect en « arche romane ». Elle permet de définir l'axe du plan bicondylien postérieur	
Distance TA-GT	Mesurée au TDM, 30° de flexion  Distance entre deux perpendiculaires au plan bicondylien postérieur :  • l'une passant par la gorge trochléenne  • l'autre par le milieu de l'insertion du ligament patellaire sur la TTA  Normale : 9 mm (± 4,3 mm) ou 15 mm (± 4,5 mm) en extension	3 2

# WWW. emanip. GMASERIE OSTEO-ARTICULAIRE

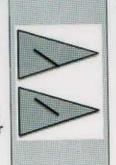
#### MENISQUE

#### ANOMALIE DE SIGNAL MENISCAL

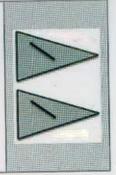
Rupture méniscale certaine Anomalie de signal touchant la surface articulaire inférieure sur deux coupes adjacentes



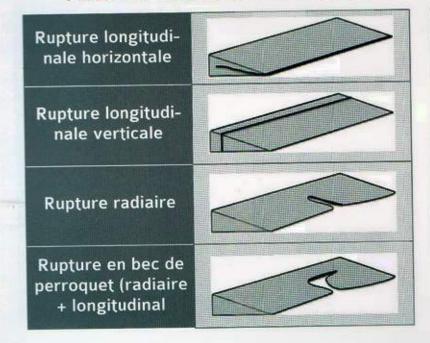
Rupture douteuse Anomalie
de signal ne
touchant pas
de manière
certaine
la surface
articulaire ou
seulement sur
une coupe



Absence de rupture Anomalie de signal ne touchant pas la surface articulaire



#### PRINCIPAUX TYPES DE RUPTURE MENISCALE



#### MENISQUE DISCOÏDE

IRM

Largeur méniscale de plus de 14 mm sur les coupes coronales à la partie moyenne du segment moyen

Continuité des cornes antérieure et postérieure sur plus de trois coupes consécutives sagittales

Radiographie Hauteur augmentée du ménisque de plus de 2 mm par rapport au controlatéral



Ménisque latéral discoïde

# WWW.lemanip.com

## POSITIONNEMENT DES PROTHESES DE GENOU



#### Plan frontal:

- axe mécanique du genou
- position de l'implant fémoral (α =90° par rapport à l'axe mécanique et 96° par rapport à l'axe anatomique)
- position de l'implant tibial (β = 90°)

#### Plan sagittal:

angle fémoral et tibial

#### Plan axial

- repères de rotation fémoraux
- repères de rotation tibiaux ( N = 18°)

#### PLAN FRONTAL

## Axe mécanique du genou

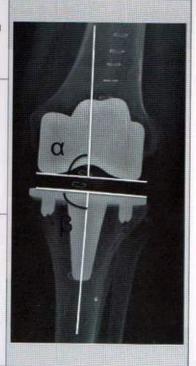
Entre 3° de valgus et 3° de varus (voir angle de déviation angulaire du chapitre « Gonométrie »)

### Position de l'implant fémoral

 $\alpha$  = angle médial entre la tangente au deux condyles et l'axe mécanique du fémur ( $\alpha$ = 90°) ou l'axe anatomique du fémur ( $\alpha$  = 96°) (voir angle mécanique fémoral du chapitre « Gonométrie »)

#### Position de l'implant tibial

 $\beta$  = angle médial entre la tangente au plateau tibial et l'axe du tibia ( $\beta$  = 90°) (voir angle mécanique tibial du chapitre « Gonométrie »)



#### PLAN SAGITAL

Angle fémoral Angle entre la partie horizontale de l'implant fémoral et l'axe anatomique du fémur

Angle tibial Angle entre l'embase et l'axe anatomique du tibia

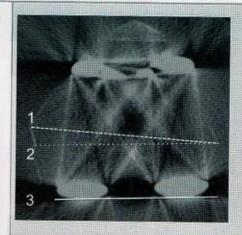


# WWW. emanip. Come osteo-articulaire

#### PLAN AXIAL

Repères de rotation fémoraux

- Par rapport à la ligne bicondylienne postérieure, rotation externe de 3° de la ligne transépicondylienne chirurgicale joignant le sulcus médial et l'épicondyle médial
- · rotation externe de 5° de la ligne transépicondylienne anatomique joignant les épicondyles latéral et médial



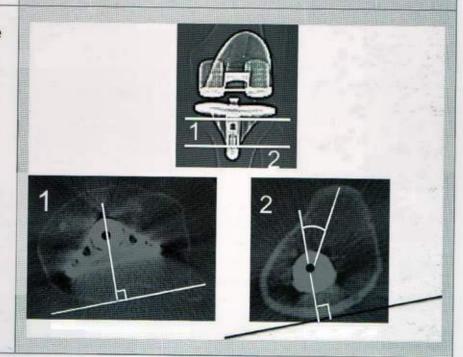
#### Repères de rotation fémoraux

- (1) Ligne bicondylienne postérieure
- (2) ligne trans-épicondylienne chirurgicale
- (3) Ligne trans-épicondylienne anatomique

Repères de rotation tibiaux

#### 2 coupes au TDM:

- · Coupe juste sous le plateau tibial prothétique (1) qui permet de déterminer le centre de la tige diaphysaire et la tangente au bord postérieur du tibial. On trace la perpendiculaire à la tangente passant par le centre de la tige
- Coupe au niveau de la TTA (2). On calcule l'angle entre la perpendiculaire et la droite passant par la TTA
- · Normale =18° en rotation médiale



## LIGAMENT CROISE ANTERIEUR

#### RUPTURE DU LCA

Radiographie, cliché dynamique de profil en « tiroir antérieur » Tiroir antérieur absolu > 8 mm et/ou

Tiroir antérieur différentiel de 4 mm par rapport au genou controlatéral pour une poussée de 250 N

Le tiroir antérieur est la distance entre les deux perpendiculaires à la tangente au plateau tibial en deux points :

- bord postérieur des condyles
- milieu des bords postérieurs des plateaux tibiaux

IRM

Angle du LCA < 45° par rapport au plan tibial, > 15° par rapport à la ligne intercondylienne de Blumensaat

Déplacement postérieur du ménisque latéral > 3,5 mm

Tiroir antérieur mesuré par rapport à l'axe vertical passant par le bord postérieur du plateau tibial latéral > 5 mm



Absence de tiroir antérieur

## BON POSITIONNEMENT APRES LIGAMENTOPLASTIE

Radiographies de profil

#### Tunnel tibial:

- Se situe à la jonction 1/3 antérieur- 1/3 moyen du plateau tibial
- orientation de 45-50° par rapport à la verticale
- parallèle au toit de l'échancrure intercondylienne

Tunnel fémoral situé à 3mm en avant de la corticale postérieure du fémur



Radiographie de face

- Si genou droit : projection du tunnel à « 11h »
- Si genou gauche : projection du tunnel à « 1h »



# www.lemanip.come osteo-articulaire



## ENTORSE DU LIGAMENT COLLATERAL MEDIAL

Grade 1	Entorse bénigne : anomalies de signal péri-ligamentaires
Grade 2	Ruptures partielles : anomalies de signal ligamentaires et péri- ligamentaires
Grade 3	Entorse grave : rupture complète



Entorse du ligament collatéral medial de grade 2 Anomalies de signal ligamentaires et péri-ligamentaires (astérisque)

## www.lemanip.com



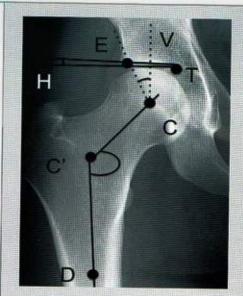
IMAGERIE OSTEO-ARTICULAIRE

#### C • HANCHE

## **COXOMETRIE RADIOGRAPHIQUE**

Repères de coxométrie de face :

- · C : centre de la tête fémorale
- · C': milieu du col
- V : verticale passant le centre de la tête fémorale C
- E : extrémité latérale de la ligne dense sous chondrale du toit de l'acétabulum
- T : extrémité médiale de la ligne dense sous chondrale du toit de l'acétabulum
- H: horizontale passant par l'extrémité médiale de la ligne dense sous chondrale du toit de l'acétabulum



#### Coxométrie de face normale

Angle de couverture externe VCE : 20-40°

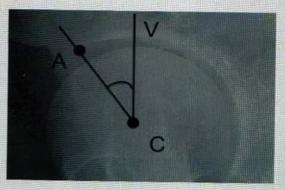
Angle d'obliquité du toit HTE : <13° Angle cervico-diaphysaire CC'D : 120-137° (<120° : coxa vara, >140° : coxa valga)

Faux profil de Lequesne

Face

Repères de coxométrie sur le faux profil :

- V : verticale passant par le centre de la tête fémorale (C)
- · C : centre de la tête fémorale
- A : extrémité antérieure de la ligne dense sous chondrale du toit de l'acétabulum



Coxométrie de profil normale Angle de couverture antérieure VCA>20°

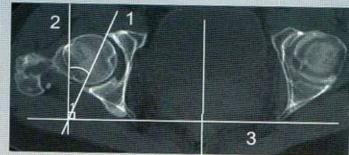
## **COXOMETRIE SCANNOGRAPHIQUE**

### Antéversion de l'acétabulum

Coupe axiale passant par le centre des têtes fémorales et la ligne bisciatique.

#### Angle entre:

- la droite passant par les rebords antérieur et postérieur de l'acétabulum (1), et
- la perpendiculaire (2) à la ligne bisciatique (3)



Calcul de l'antéversion de l'acétabulum Normales : 20-25° (adulte), 10° (enfant)

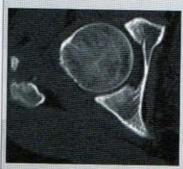
### Antéversion du col fémoral

Angle entre l'axe du col et l'axe bicondylien postérieur (N= 7 à 25°)

Méthode de calcul d'antéversion du col fémoral

Superposition de trois coupes :

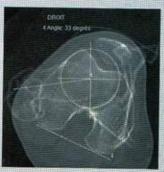
- coupe passant par le centre de la tête fémorale
- coupe passant par la partie basse du col
- coupe passant par l'axe bicondylien postérieur (« arche romane »)



Coupe au niveau du centre de la tête fémorale



Coupe passant par l'axe bicondylien postérieur



Superposition des 3 coupes (les deux cidessus associées à celle passant par la partie basse du col)

## IMAGERIE OSTEO-ARTIMUMEW. EMANID. COM

## **DYSPLASIE DE HANCHE**

Radiographies

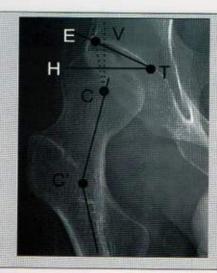
Insuffisance de couverture externe et/ou antérieure de la tête fémorale par le toit de l'acétabulum (VCE ≤ 20°, VCA ≤ 20°)

Obliquité exagérée du toit de l'acétabulum (HTE ≥ 13°)

Coxa valga CC'D > 142°

TDM

Antéversion exagérée du col fémoral (> 25°)



Oysplasie de hanche (poliomyélite) VCE ≤ 20°, HTE ≥ 13°, CC'D > 142°

### **PROTRUSION ACETABULAIRE**

Signes radiographiques Le fond de l'acétabulum dépasse médialement la ligne ilio-ischiatique > 3 mm chez l'homme, > 6 mm chez la femme

Dans la forme modérée, dite coxa profunda, le fond de l'acétabulum dépasse la ligne ilioischiatique > 1 mm chez l'homme et > 2 mm chez la femme

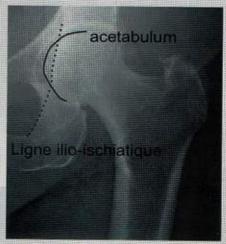
Couverture excessive de la tête fémorale (VCE > 45°)

Angle HTE négatif

Coxa vara (CC'D < 120°)

Signes scannographiques

Rétroversion du col parfois retrouvée



Protrusion acétabulaire Le fond acétabulaire dépasse la ligne ilio-ischiatique de plus de 3 mm

# Gratuittement

www.lemanip.com

Radiologie et imagerie medicale



Livres, memoires, rapport de stage, courses, radiologie conventionnelle, Scanner, TDM, IRM, Scintigraphie, Medecine nucleaire, Radiotherapie, Radiologie Interventionnelle, Oncologie, Clichees, Cas interpretes, exposes, medecine

https://www.lemanip.com/

www.lemanip.com

### **CONFLIT FEMORO-ACETABULAIRE**

**EFFET CAME: RADIOGRAPHIES** 

Perte de la concavité antérieure du col Bombement du bord antérieur du col fémoral = aspect en « crosse de pistolet »



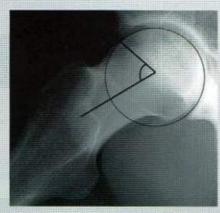
Diminution de l'offset cervicophalique Faible débord antérieur de la tête fémorale par rapport au col



Augmentation de l'angle α de Notzli sur le profil de Dunn Angle mesuré entre :

- · l'axe du col et le
- la droite passant par le centre de la tête fémorale et le point à partir duquel l'épaisseur de la tête fémorale dépasse le rayon céphalique

α > 55° (normale < 50°)



Angle a de Notzli > 55°

Saillie osseuse antérieure sur le profil de Dunn



## 3

## IMAGERIE OSTEO ARTOUMRE EMANIP.COM

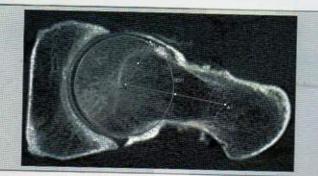
EFFET CAME : TDM

Augmentation de l'angle α de Notzli > 55° Coupe oblique dans l'axe du col, angle mesuré entre :

- · l'axe du col et
- la droite passant par le centre de la tête fémorale et le point à partir duquel l'épaisseur de la tête fémorale dépasse le rayon céphalique

Diminution de l'offset cervicocephalique Faible débord antérieur de la tête fémorale par rapport au col

Coupe oblique dans l'axe du col au col



## **EFFET TENAILLE: RADIOGRAPHIES**

Signes radiographiques

Signe du croisement : le bord antérieur de l'acétabulum croise son bord postérieur dans la partie supérieure de l'acétabulum

Le centre de la tête fémorale se projette en dehors du bord postérieur (normale, en dedans)

Protrusion acétabulaire Le fond acétabulaire dépasse en dedans la ligne ilio-ischiatique



Effet tenaille
Signe du croisement :
croisement du bord
antérieur (1) avec le
bord postérieur (2)
Absence de protrusion acétabulaire

### EFFET TENAILLE : TDM

Rétroversion acétabulaire Coupe axiale passant par le centre des têtes fémorales et la ligne bi-ischiatique.

Angle entre la droite passant par les rebords antérieur et postérieur de l'acétabulum et la perpendiculaire à la ligne bisciatique

### **BON POSITIONNEMENT PROTHESES TOTALES DE HANCHE**

BILAN RADIOLOGIQUE, ZONES DE GRUEN





7 zones selon Gruen pour le fémur 3 zones selon Gruen pour la cupule

#### IMPLANT FEMORAL

Bon centrage de la tige

Tige centrée de face et de profil Pas de varisation de l'implant = pas d'excentration de la tige vers la corticale latérale



Tige centrée de face et de profil

Bonne position de la tige Parallélisme des lignes joignant les deux petits trochanters les deux U radiologiques



Offset fémoral

centre de la tête fémorale et l'axe médian de la diaphyse fémorale (à sa perpendiculaire) (normale entre 41 et 44 mm)

Distance

Antéversion de l'implant fémoral (TDM) entre le

Angle entre l'axe du col et l'axe bicondylien postérieur (N= 10-20°)

(voir « coxométrie scannograpique »)

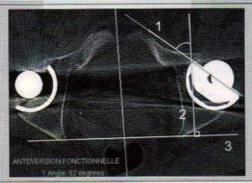
## IMAGERIE OSTEO-ARTICWAREW. I EMANIP. COM

#### IMPLANT ACETABULAIRE

Pas d'anomalie de l'inclinaison frontale de la cupule acétabulaire Angle entre le plan équatorial de la cupule (1) et la ligne (2) joignant les U radiologiques (3) entre 40 et 50° 3 2

Pas d'anomalie de l'antéversion de l'implant acétabulaire Angle entre la perpendiculaire passant par la ligne bi-ischiatique et la droite passant par les rebords antérieur et postérieur du cotyle

(normale = 10 à 30°) (espace à enlever)



#### **DESCELLEMENT DE PROTHESES**

Fracture du ciment

Enfoncement de la prothèse Déplacement > 2 mm de l'implant lors de contrôles successifs

Liseré péri-prothétique

Liseré clair > 2 mm périprothétique (apparaît secondairement)

Épaississement cortical en regard du conflit



Apparition d'un liseré clair périprothétique à 4 mois

# www.lemanip.ca.e.osteo-articulaire



### OSTEONECROSE DES TETES FEMORALES

## CLASSIFICATION DES ONTF SELON ARLET ET FICAT

	Radiographies	IRM
Stade 0	Normales	Normale
Stade 1	Normales	Liseré de démarcation
Stade 2	Anomalies de la transparence de la trame osseuse	Liseré de démarcation
Stade 3	Perte de sphéricité de la tête fémorale, dissection sous chondrale	Stade 2 + fracture épiphysaire ou enfoncement
Stade 4	Stade 3 + arthrose	Stade 3 + arthrose

## RISQUE D'IMPACTION SELON KOO ET KIM (IRM)

Calcul du pourcentage de nécrose

Angle maximal
de l'arc de nécrose
mesuré sur les
coupes frontales
(A) et sagittales (B)
passant par le centre
de la tête fémorale

Pourcentage de nécrose = (A/180) x (B/180) x 100

- < 30% : risque nul
- 30-40% : risque de 50%
- > 40% : risque de 100%



Coronal



Sagittal

## 3

## IMAGERIE OSTEO-ARTIQUIARIV. EMANID.COM

## 3 • Membre supérieur

### A • EPAULE

## PATHOLOGIE DE LA COIFFE DES ROTATEURS

RUPTURE DE COIFFE : SIGNE RADIOLOGIQUE

< 7 mm

Diminution de l'espace sous acromial



## FACTEURS EXTRINSÈQUES : CONFLITS

Conflit antérosupérieur Les tendons et la bourse sont en conflit avec l'acromion, l'articulation acromio-claviculaire et le ligament acromio-coracoïdien

L'acromion crochu est associé significativement à une rupture de coiffe

Différents types d'acromions (Classification de Bigliani)

Type I

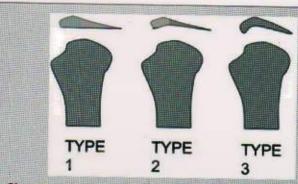
Acromion de face inférieure rectiligne

Type II

Acromion de forme inférieure concave

Type III

Acromion crochu



Classification de Bigliani (radiographie de profil)

# www.lemanip.com

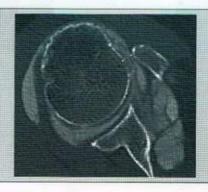


La coracoïde est en conflit avec le tubercule mineur de l'humérus

### Conflit antéromédial

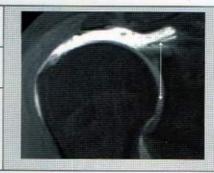
#### TDM:

- Repère: coupe transversale passant par l'extrémité du processus coracoïde
- Distance entre la coracoïde et le tubercule mineur de l'humérus < 6 mm en rotation médiale.</li>



#### STADES DE RETRACTION DU TENDON

Stade I	En dehors du pôle supérieur de la tête fémorale
Stade II	En dedans du pôle supérieur de la tête fémorale
Stade III	En regard de l'interligne gléno-huméral



Rupture totale du tendon du muscle supra-épineux, avec rétraction en regard de l'interligne gléno-huméral (Stade III)

## CONSEQUENCES: INVOLUTION GRAISSEUSE MUSCULAIRE (GOUTALLIER)

Stade I	Absence de graisse dans le muscle
Stade II	Graisse << Muscle
Stade III	Graisse < Muscle
Stade III	Graisse = Muscle
Stade IV	Graisse > Muscle



Stade II



## IMAGERIE OSTEO-ARTICWAIKEW. Lemanip.com

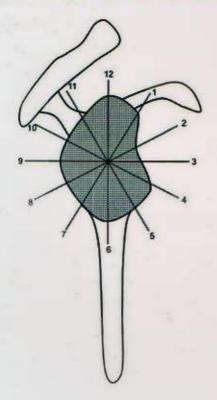
### CONSEQUENCES: ATROPHIE MUSCULAIRE (CLASSIFICATION DE LUCAS)

Grade I	Surface du muscle supra-épineux / surface de la fosse supra-épineuse entre 0,6 et 1
Grade II	Rapport entre 0,4 et 0,6
Grade III	Rapport < 0,4

Le rapport se mesure sur la coupe sagittale en Y

## **INSTABILITE DE L'EPAULE**

#### SEGMENTATION HORAIRE DU LABRUM



#### SLAP LESIONS

SLAP I	Aspect effiloché, dégénératif du bourrelet, sans détachement du long biceps	
SLAP II	Avulsion du bourrelet supérieur et de l'insertion du long biceps	
SLAP III	Lésion en anse de seau du bourrelet supérieur ; long biceps intact	
SLAP IV	SLAP III + désinsertion et dissection du long biceps	
SLAP V	SLAP II + Bankart antérieure	
SLAP VI	SLAP II + languette labrale antérieure ou postérieure de type méniscoïsde	
SLAP VII	SLAP II + extension antérieure se poursuivant jusqu'au bord supérieur de ligament gléno-huméral inférieur	
SLAP VIII	SLAP II + extension vers le labrum postérieur, complètement désinséré jusqu'à 7h	
SLAP IX	Avulsion complète ou quasi complète du labrum supérieur + antérieur + postérieur	
SLAP X	Lésion du labrum étendue à l'intervalle des rotateurs et au ligament gléno-huméral supérieur	

### CAPSULITE RETRACTILE

#### · Epaississement du ligament coraco-huméral Echo-> 3 mm graphie · Formation hypoéchogène dans l'intervalle des rotateurs T2 FAT-SAT: Hypersignal et épaississement > 7 mm des structures capsulo-ligamentaires du récessus axillaire T1: · Infiltration de la graisse située en arrière de l'apophyse coracoïde IRM · Epaississement des structures capsulo-synoviales et du ligament coraco-huméral Après injection : Prise de contraste de l'intervalle des rotateurs · Epaississement et prise de contraste de la capsule et de la synoviale articulaire du récessus axillaire (> 9 mm dans le plan coronal)



T2 FAT-SAT, coupe coronale Epaississement des structures capsuloligamentaires du récessus axillaire



T1, coupe sagittale
Perte du triangle graisseux
retro-coracoïdien en pondération
T1

## **DISJONCTION ACROMIO-CLAVICULAIRE (ROCKWOOD)**

Stade 1	Etirement du ligament acromio-claviculaire (radiographie normale)
Stade 2	Rupture du ligament acromio-claviculaire (subluxation acromio-claviculaire)
Stade 3	Rupture des ligaments acromio-claviculaire et coraco- claviculaires (luxation acromio-claviculaire avec déplacement vertical de l'extrémité distale de la clavicule), avec décalage vertical des surfaces articulaires de plus de 50%
Stade 4	Stade 3 + luxation postérieure de la clavicule
Stade 5	Important diastasis



Disjonction acromio-claviculaire
(Stade 3)
Luxation acromio-claviculaire
avec déplacement
vertical de l'extrémité distale de la
clavicule



## IMAGERIE OSTEO-ARTICULAIRE

## OMARTHROSE

#### OMARTHROSE CENTREE: CLASSIFICATION DE KELLGREN-LAWRENCE

Grade 0	Normal	
Grade 1	Omarthrose douteuse : • Pincement articulaire et ostéophytose douteux	
Grade 2	Omarthrose débutante :  Ostéophytose débutante  Pincement articulaire probable	
Grade 3	Omarthrose modérée :  Ostéophytose modérée  Pincement articulaire certain  Ostéocendensation et déformation débutante des contours	
Grade 4	Omarthrose sévère :  Ostéophytose importante  Pincement articulaire marqué  Ostéocondensation sévère et déformation des contours	

Omarthrose, grade 3
Ostéophytose modérée
marginale des parties
inférieures de la tête
humérale et de la glène

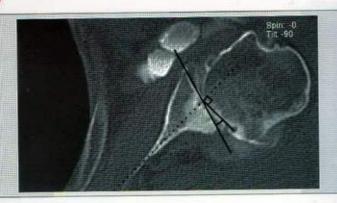
La cotation est réalisée sur les radiographies de face en rotations latérale et médiale

## OMARTHROSE CENTREE: BILAN PRE-OPERATOIRE (ARTHRO-TDM)

Recherche de rétroversion glénoïdale Pathologique > 10°

#### Méthode de mesure :

- 1) Coupe axiale passant par le haut de la glène, sous la coracoïde
- 2) Angle entre la perpendiculaire à la ligne qui unit le bord médial de la scapula au milieu de la glène et la ligne passant par les bords antérieur et postérieur de la glène



## WWW.lemanip. Galerie osteo-articulaire

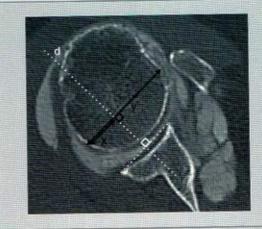


Recherche de subluxation postérieure de la tête humérale Subluxation postérieure (> 55%)

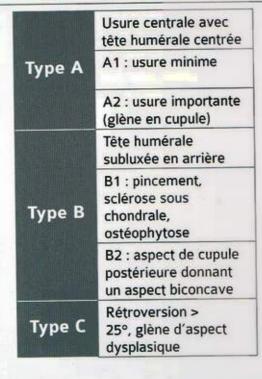
Taux de subluxation A= x /y

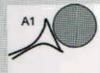
#### Méthode de mesure :

- 1) Coupe transversale juste sous la coracoïde
- 2) Tracer la perpendiculaire (d) au milieu du segment passant par les bords antérieur et postérieur de la glène
- 3) Tracer la perpendiculaire à d passant par le tiers médial de la tête humérale
- 4) x= segment postérieur ; y= diamètre de la tête humérale



Recherche d'usure de la glène : classification de Walch















Usure de la glène, de type B2 avec un aspect de cupule donnant un aspect biconcave

# 3 IMAGERIE OSTEO-ARTICULAIRE MANIP.COM

## OMARTHROSE EXCENTREE: CLASSIFICATION DE HAMADA ET FUKUDA

Stade I	Espace sous-acromial (ESA) normal	
Stade II	ESA diminué	
Stade III	ESA diminué     Acétabulisation de la face inférieure de l'acromion	
Stade IVa	<ul> <li>ESA diminué</li> <li>Pincement gléno-huméral</li> <li>Absence d'acétabulisation de la face inférieure de l'acromion</li> </ul>	
Stade IVb	<ul> <li>ESA diminué</li> <li>Pincement gléno-huméral</li> <li>Acétabulisation de la face inférieure de l'acromion</li> </ul>	
Stade V	ESA diminué     Nécrose massive de la tête humérale	



Omarthrose excentrée, type III
Acétabulisation de la face inférieure de l'acromion
sans pincement gléno-huméral évident

# WWW. emanip. Marin osteo-articulaire

## B . COUDE

Epanchement intra-articulaire : radiographie	Refoulement des lignes graisseuses antérieure et postérieure (double flèche)	
Syndrome du tunnel du nerf ulnaire	Surface de section moyenne en échographie = 7,9 ± 3,1 mm²  Perte de l'aspect fibrillaire et épaississement en échographie  Hypersignal T2 intratendineux en IRM (flèche)	

## IMAGERIE OSTEO-ARTICWARY W. Lemanip.com

### C • POIGNET

## RADIOGRAPHIE NORMALE DU POIGNET DE FACE

## Variance ulnaire

#### Distance entre :

- la tangente à la surface articulaire distale de la tête ulnaire
- la droite

   perpendiculaire à l'axe du radius passant par le bord médial de la surface articulaire distale radiale

#### Normale:

- Ulna un peu plus courte que le radius (variance négative de 1 à 2 mm)
- Variance neutre



Variance ulnaire négative < 2mm

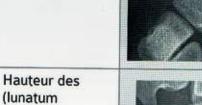
### Trois arcs de Gilula

Les 3 arcs apparaissent continus et harmonieux

- 1er arc : surfaces articulaires supérieures des scaphoïde, lunatum et triquétrum
- 2ème arc : surfaces articulaires inférieures des scaphoïde, lunatum et triquétrum
- 3ème arc : surfaces articulaires supérieures des capitatum et hamatum



Interligne scapholunaire Normal si ≤ 2 mm



(lunatum + capitatum) / hauteur du 3<sup>ème</sup> métacarpien = 0,54 ± 0,03





# www.lemanip. Gare OSTEO-ARTICULAIRE

Aspect normal du lunatum

Angle radio-

lunaire

En inclinaison neutre. ses deux cornes se superposent



Aspect normal du scaphoïde

Visualisation d'une ligne dense du tubercule antérieur



### RADIOGRAPHIE NORMALE DU POIGNET DE PROFIL

axe

Angle entre:

longitudinal du radius

axe longitudinal du lunatum

Normale entre -15° et +15°



Angle scapho**lunaire** 

Angle entre:

· tangente au bord palmaire du scaphoïde

· axe longitudinal du lunatum (perpendiculaire à la droite passant par les cornes antérieure et postérieure)

(> 70° = DISI, < 30° = VISI)



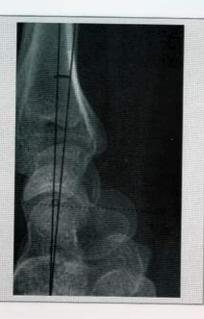


## IMAGERIE OSTEO-ARTIMAMEW. EMANID. COM

Angle luno-capital Angle entre:

- axe longitudinal du lunatum
- · axe longitudinal du capitatum

Normale entre -15° et +15°



Alignement des radius, lunatum. capitatum et 3<sup>ème</sup> métacar-

pien

Radius, lunatum et 3ème métacarpien sont alignés sur la même droite



### CONFLITS

## Conflit ulnocarpien

Conflit entre l'ulna et

- · le disque articulaire
- · le versant ulnaire de la rangée proximale du carpe

Il peut être idiopathique lié à un ulna long ou secondaire à un raccourcissement du radius (post traumatique)

Conflit styloïdotriquétral Conflit entre la styloïde ulnaire et le triquetrum Favorisé par une styloïde ulnaire longue,

déterminée par :

- un index du processus styloïde ulnaire (IPSU) > 0,28 (différence entre la longueur de la styloïde et la variance ulnaire, rapportée au diamètre de la tête ulnaire)
- longueur de la styloïde > 6 mm



Conflit ulno-carpien secondaire à un ulna long (variance positive)

## **INSTABILITE SCAPHO-LUNAIRE**

Stade I	Radiographies statiques et dynamiques normales
Stade II	Radiographies statiques normales radiographies dynamiques anormales (apparition d'un diastasis notamment)
	Instabilité scapho-lunaire statique = instabilité dorsale du segment intercalaire (DISI)
Stade III	Radiographie de face :  • interruption des arcs de Gilula
	<ul> <li>diastasis scapho-lunaire ≥ 3 mm</li> </ul>
	<ul> <li>flexion du scaphoïde, diminué de hauteur (signe de l' «anneau »)</li> </ul>
	<ul> <li>extension du lunatum (corne antérieure, large et carrée dégagée)</li> </ul>
	Radiographie de profil : • angle radio-lunaire > 15°
	angle scapho-lunaire > 60°
	angle luno-capital > 15°
	<ul> <li>perte de l'alignement des radius, lunatum, capitatum et 3<sup>ème</sup> métacarpien</li> </ul>
	SLAC wrist
	SLAC wrist stade I : arthrose stylo-scaphoïdienne     SLAC wrist stade II : arthrose radio-scaphoïdienne
Stade IV	SLAC wrist stade III : arthrose radio-scaphoïdienne et luno-capitale



Instabilité scapholunaire statique, radiographie de profil Bascule dorsale du lunatum (angle radio-lunaire > 15°)



SLAC wrist stade
III
associant diastasis scapholunaire
(double flèche),
extension du
lunatum, flexion du
scaphoïde, arthroses radio-scaphoïdienne et luno-capitale (astérisque)

## IMAGERIE OSTEO-ARTICMANEW. | emanip.com

## **INSTABILITE LUNO-TRIQUETRALE**

Stade I	Radiographies statiques et dynamiques normales
Stade II	Radiographies statiques normales Radiographies dynamiques anormales
Stade III	Instabilité luno-triquétrale statique = instabilité ventrale du segment intercalaire (VISI)  Radiographie de face :  • interruption des arcs de Gilula  • parfois diastasis luno-triquetral ≥ 3 mm  • flexion du scaphoïde (signe de l' «anneau »)  • flexion du lunatum (bascule palmaire) (corne, postérieure petite et pointue, dégagée)  Radiographie de profil :  • angle radio-lunaire > 15°  • angle scapho-lunaire < 30°  • angle luno-capital > 15°  • perte de l'alignement des radius, lunatum, capitatum et 3ème métacarpien

### MALADIE DE KIENBOCK : CLASSIFICATION RADIOGRAPHIQUE DE LICHTMAN

Stade 1	Radiographies normales
Stade 2	Densification du lunatum sans modification de sa forme
Stade 3A	Collapsus du lunatum sans collapsus carpien
Stade 3b	Collapsus du lunatum avec collapsus carpien, diminution de la hauteur du carpe, flexion du scaphoïde
Stade 4	Stade 3 avec lésions dégénératives généralisées du carpe



Maladie de Kienböck, stade 3A Collapsus du lunatum associé à une arthropathie radio-carpienne

## www.lemanip.Galfie osteo-articulaire



## NERFS ET TENDONS DES FACES DORSALE ET PALMAIRE

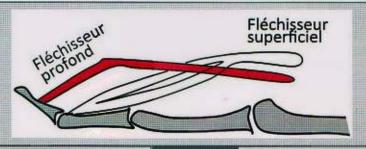
Tendons extenseurs	<ul> <li>I: long abducteur du pouce, court extenseur du pouce</li> <li>II: long extenseur radial du carpe, court extenseur radial du carpe</li> <li>III: long extenseur du pouce</li> <li>IV: extenseurs communs des doigts et propre de l'index</li> <li>V: extenseur propre de l'auriculaire</li> <li>VI: extenseur ulnaire du carpe</li> </ul>	
Tenosynovite de De Quervain	Pathologie du premier compartiment (long abducteur du pouce, court extenseur du pouce)  Echographie : épaississement du retinaculum (>, 1,8 mm), des tendons et de la gaine synoviale  Attention : il existe parfois un septum séparant le LA 1 du CE 1	Tenosynovite de  De Quervain  Epaississement  du retinaculum  (>, 1,8 mm)
Canal carpien : tendons fléchisseurs	(1) Tendon fléchisseur radial du carpe (2) Nerf médian (3) Tendons des fléchisseurs superficiels et profonds des doigts (4) Canal de Guyon (5) Tendon du long fléchisseur du pouce	1 P
Syndrome du canal carpien : échographie	<ul> <li>Surface transversale en amont ou à la partie proximale du canal carpien &gt; 12 mm²</li> <li>Diamètre transverse/Diamètre antéropostérieur &gt; 3</li> <li>Bombement du rétinaculum des fléchisseurs &gt; 2 mm au dessus de la tangente joignant le trapèze et l'hamatum</li> <li>Aspect hypoéchogène du nerf médian</li> <li>Disparité brutale du calibre</li> </ul>	Syndrome du canal carpien Surface du nerf median mesuré à 20 mm²

## IMAGERIE OSTEO-ARTICULAIRE W. IEMANIP. COM

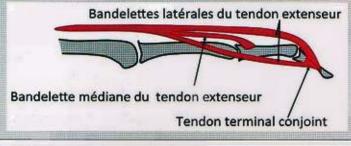
### D • DOIGTS

#### PATHOLOGIE DES POULIES

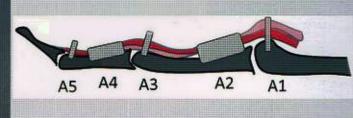
Tendons fléchisseurs



Tendon extenseur



Poulies



## Doigt à ressaut

- Epaississement de la poulie A1 de plus de 1 mm, pour une normale proche de 0,5 mm au repos
- Hypervascularisation
- ± tendinopathie des tendons fléchisseurs

### Lésion des poulies

- Différence entre la distance tendon corticale au repos ou lors des manœuvres de flexion contrariée >1 mm
- Poulie épaissie
- · Epanchement de la gaine des fléchisseurs
- Rupture complète de A4 : 1,5 ± 0,4 mm au repos ;
   3,1 ± 0,5 mm en flexion contrariée
- Rupture complète de A2 : 2,8 ± 0,7 mm au repos ;
   4,6 ± 0,6 mm en flexion contrariée
- Rupture complète de A2 + A3 : 2,9 ± 0,6 mm au repos ;
   6,1 ± 0,5 en flexion contrariée



Epaississement de la poulie A1 > 1,8mm

# www.emanip.Game osteo-articulaire



# ENTORSE DE LA METACARPO-PHALANGIENNE DU POUCE : CLASSIFICATION DE EBRAHIM (2006)

Normal	Aspect normal de l'aponévrose de l'adducteur et du ligament collatéral ulnaire	
Entorse simple	Epaississement du ligament collatéral (majoré de 1,7 mm par rapport au côté controlatéral)	
Rupture partielle	Zone nodulaire hypoéchogène n'intéressant pas toute l'épaisseur du ligament	
Rupture complète	Rupture totale du ligament qui paraît détendu et rétracté Persistance de l'aponévrose de l'adducteur lors des manœuvres dynamiques	
Lésion de Stener	Rupture complète du ligament avec rétraction proximale sur le premier métacarpien, associée à des nodules hypoéchogènes intra-ligamentaires Interposition de l'aponévrose	

## 4 • Squelette axial

## A • RACHIS CERVICAL

### RACHIS CERVICAL NORMAL

#### Lignes:

- spinale antérieure reliant la face antérieure des corps vertébraux (1)
- spinale postérieure reliant le bord postérieur des corps vertébraux (2)
- spino-lamaire reliant le bord antérieur des processus épineux (3)
- des processus épineux reliant la pointe des processus épineux (4)
- présence d'un espace de sécurité entre la ligne spino-lamaire et le bord postérieur des massifs articulaires

L'interruption d'une de ces lignes doit faire suspecter une fracture ou une lésion ligamentaire.

Processus odontoïde (recherche d'impression basilaire)

- ligne de Chamberlain (trait continu) entre le bord postérieur du palais osseux et le bord postérieur du trou occipital. Le processus odontoïde ne doit pas dépasser cette ligne de 3 mm
- ligne de Mc Gregor (trait discontinu) entre le palais osseux et le point le plus déclive de l'écaille occipitale. Le processus odontoïde ne doit pas dépasser cette ligne de 5 mm



Rachis cervical de profil A noter une rectitude



Absence d'impression basilaire

Le processus odontoïde ne dépasse ni la ligne de Chamberlain (trait continu) ni la ligne de Mc Gregor (trait discontinu)

Profil

# www.lemanip. GARE OSTEO-ARTICULAIRE



### Parties molles pré-vertébrales : **Epaisissement des** · entre le coin antéro-inférieur de C2 et le coin parties molles pré-vertéantéro-inférieur de C4 : < 7 mm brales d'origine infec- en dessous du coin antéro-inférieur de C4 : tieuse chez ce patient. < 14 mm chez l'enfant</li> < 21 mm chez l'adulte</li> · Hauteur des corps vertébraux identique Rachis cervical normal · Processus épineux alignés en situation médiane de face (distance interépineuse < 2 mm) Hauteur des corps verté-· Uncus alignés en parasagittal braux respectés (double flèche), processus épineux Face alignés (2), uncus alignés (1) Somme des deux débords latéraux < 5 mm</li> Radiographie de bouche · La projection du processus épineux de C2 passe ouverte, normale par le milieu du processus odontoïde Bouche ouverte

## IMAGERIE OSTEO-ARTICULANEW. EMANID. COM

## **CANAL CERVICAL ETROIT**

## Radiographie

- Impossibilité de placer visuellement un corps vertébral dans le canal cervical
- Projection des processus articulaires supérieurs sur les corps vertébraux
- Diminution ou disparition de l'espace de sécurité; la ligne spino-lamaire se projette sur le bord postérieur des massifs articulaires

#### Scanner

- Normal: 13 à 14 mm de diamètre antéropostérieur de C3 à C7
- · Canal cervical étroit < 10 mm



#### Canal cervical étroit constitutionnel

Projection des processus articulaires supérieurs sur les corps vertébraux (flèches noires), disparition de l'espace de sécurité ; la ligne spino-lamaire (ligne pointillée noire) se projette sur le bord postérieur des massifs articulaires

## SUBLUXATIONS CERVICALES ET ENTORSE GRAVE

### Subluxation C1-C2

- Distance entre le bord antérieur de l'odontoïde et le bord postéro-inférieur de l'arc antérieur de l'atlas
- Adulte: normale ≤ 2,5 mm; enfant: normale ≤ 5 mm, jusqu'à 7 mm en flexion
- Luxation > 2,5 mm
- Subluxation ≥ 3 mm (cliché de profil en flexion dynamique)



Luxation C1-C2
Distance entre
bord antérieur de
l'odontoïde et le bord
postéro-inférieur de
l'arc antérieur de
l'atlas > 2.5 mm

Pseudo-luxation C2-C3 chez l'enfant

Normale jusqu'à 7-8 ans : anté-listhesis ≤ 5 mm

Critère de normalité : ligne de Swischuk

Le bord antérieur du processus épineux de C2 se projette à moins de 2 mm en arrière de la ligne spinolamaire de C1 et C3 (ligne de Swischuk)



#### Pseudo-luxation C2-C3

Le bord antérieur du processus épineux de C2 se projette à moins de 2 mm en arrière de la ligne Swischuk

· Bâillement inter-épineux

· Découverte des articulaires postérieures

· Perte de parallélisme des surfaces zygapophysaires

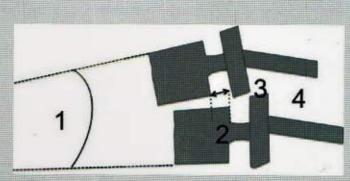
Anté-listhésis corporéal > 3,5 mm

Cyphose cervicale focale > 11°

· Augmentation de l'écart inter-épineux

· Fracture-avulsion horizontale d'un processus épineux

· Epaississement des parties molles pré-vertébrales



#### **Entorse grave**

(1) Cyphose cervicale focale > 11°

(2) Anté-listhésis corporéal > 3,5 mm

(3) Découverte des articulaires postérieures > 50%

(4) Augmentation de l'écart inter-épineux

#### **Entorse grave**

## (3)

## IMAGERIE OSTEO-ARTICMARY W. EMANID.COM

### **B** • RACHIS LOMBAIRE

## CANAL LOMBAIRE OSSEUX CONSTITUTIONNELLEMENT ÉTROIT

Radiographies

#### Radiographie de face:

- sagittalisation ou trop bonne visibilité des interlignes articulaires
- absence de progression ou réduction de la distance interpédiculaire de L1à L5



### Radiographie de profil :

brièveté des pédicules



TDM/IRM

#### Diamètre antéro-postérieur normal >15 mm

- · Etroitesse relative : 12-14 mm
- · Etroitesse absolue < 12 mm



## DEGENERESCENCE DISCALE ET CLASSIFICATION MODIC

Modic I

#### Œdème des plateaux vertébraux en regard de la discopathie :

- hyposignal T1
- hypersignal T2 et STIR

Modic II

## Involution graisseuse des plateaux vertébraux en regard de la discopathie :

- hypersignal T1 et T2
- · hyposignal STIR

Modic III

## Ostéosclérose des plateaux vertébraux en regard de la discopathie :

hyposignal T1 et T2





#### IRM rachis lombaire, en pondération T1 (gauche) et STIR (droite)

Discopathie L2-L3
avec œdème des plateaux
vertébraux en regard
(Modic I)
Discopathie L5-S1 avec
Involution graisseuse
des plateaux vertébraux
en regard (Modic II)

# www.lemanip.come osteo-articulaire



### SPONDYLOLISTHESIS PAR LYSE ISTHMIQUE

#### QUANTIFICATION DU SPONDYLOLISTHESIS

Stade 1 : glissement

< 25%

Stade 2 : glissement entre 25 et 50 %

Stade de Mayerding

Stade 3 : glissement entre 50 et 75%

Stade 4 : glissement

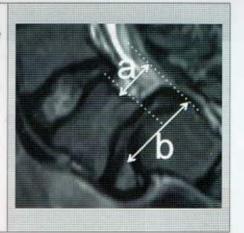
> 75%

Stade 5 : spondyloptose



Anté-listhésis de L5, stade 2

Pourcentage de glissement de Taillard Rapport entre la zone découverte du plateau supérieur de S1 (a) et le plateau supérieur de S1 (b)



#### **ELEMENTS PRONOSTICS PEJORATIFS**

Indice de dysplasie de L5 Rapport de la hauteur postérieure sur la hauteur antérieure



Indice de dysplasie de S1: longueurs
sagittales
des plateaux
supérieur
et inférieur
de S1
Rapport
< 1,35 en
faveur d'une
dysplasie
sévère

Rapport des



## IMAGERIE OSTEO-ARTIMAMEW. I EMANID. COM

## C • STATIQUE

## STATIQUE DANS LE PLAN FRONTAL

Bascule pelvienne

Radiographie de bassin de face en charge Normale : la distance d qui sépare la tangente aux toits des cotyles est inférieure à 1 cm



Absence de bascule pelvienne d < 1 cm

Scoliose

Voir chapitre dédié

## STATIQUE DANS LE PLAN SAGITTAL

PARAMETRES RACHIDIENS POSITIONNELS

Gîte sagittale en T9

Angle formé par la verticale et la droite joignant le centre de la vertèbre T9 et le centre de l'axe bicoxofémoral Normale =

10°(±3°)



Plumb line

abaissée des conduits auditifs externes doit passer par le centre des têtes fémorales ou à moins de 7 mm en arrière (ligne blanche) La verticale abaissée de C7 doit

La verticale

passer par l'angle postéro-supérieur de S1 (ligne noire)



## Cyphose thoracique:

Angle entre le plateau supérieur de T3 ou T4 et le plateau inférieur de T12

Normale: 41 (±10°)

#### Lordose lombaire :

Angle entre le plateau supérieur de L1 et le plateau inférieur de L5 Normale :

43 (±11°)



Cyphose thoracique et lordose lombaire

maximales

# Cyphose thoracique maximale:

Angle formé par le plateau vertébral inférieur de la vertèbre jonctionnelle avec la cyphose et le plateau supérieur de T4 ou C7 selon la vertèbre plus visible

Normale : 41 (±10°)

#### Lordose lombaire maximale :

Angle formé par le plateau sacré et le plateau vertébral inférieur de la vertèbre jonctionnelle avec la cyphose

Normale : 60 (±10°)



Cyphose thoracique et lordose lombaire maximales La vertèbre jonctionnelle est T11

Cyphose thoracique et lordose lombaire

## 3 IMAGERIE OSTEO-ARTICULAIRE

## PARAMETRES PELVIENS ET SOUS PELVIENS POSITIONNELS ET ANATOMIQUES

Version pelvienne (varie avec la position) Angle formé par la droite qui joint le milieu du plateau sacré aux centres des têtes fémorales et la verticale

Normale: 13° (±6°)

Milleu du plateau sacré

Verticale

Centre des têtes fémorales

Pente sacrée (varie avec la position) Angle formé par l'horizontale et le plateau sacré

Normale: 41° (±8°)



Incidence pelvienne (fixe quelle que soit la position)

Angle formé par la perpendiculaire au plateau sacré en son milieu et la droite qui joint le milieu du plateau sacré au centre des têtes fémorales

Normale : 55 (±10°)

Incidence pelvienne = pente sacrée + version

pelvienne



#### **SCOLIOSE**



#### Bilan radiographique debout:

- radiographies du rachis en enţier de face
- radiographies du rachis en entier de profil, des CAE au sacrum avec visualisation des crêtes iliaques et des têtes fémorales

Si doute sur une attitude scoliotique (déformation bidimensionnelle du rachis dans le plan frontal):

o radiographies de face en décubitus afin d'évaluer une réductibilité

#### CLASSIFICATIONS

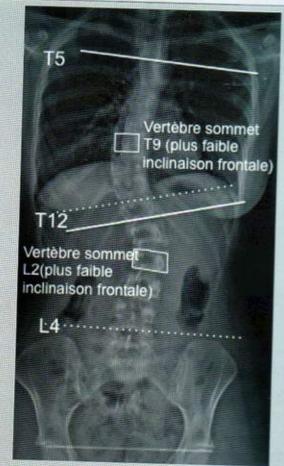
Selon le siège de la vertèbre sommet	<ul> <li>Scoliose cervicale : vertèbre sommet de C1 à C6</li> <li>Scoliose cervicothoracique: vertèbre sommet C7 ou T1</li> <li>Scoliose thoracique: vertèbre sommet de T2 à T11</li> <li>Scoliose thoracolombaire: vertèbre sommet T12 ou L1</li> <li>Scoliose lombaire: vertèbre sommet de L2 à L4</li> <li>Scoliose lombosacrée: vertèbre sommet L5 ou S1</li> </ul>
Selon le nombre de courbures	<ul> <li>Courbure majeure simple</li> <li>Double courbure majeure</li> <li>Courbure majeure avec courbures secondaires sus- et sous- jacentes</li> </ul>



## IMAGERIE OSTEMANICULAREN ANID. COM

## MESURES DANS LE PLAN FRONTAL DU RACHIS

	Vertèbre qui se situe au semmet de la
Vertèbre sommet	Vertèbre qui se situe au sommet de la convexité de la courbure Présente la plus faible inclinaison frontale par rapport à l'horizontale
	Présente la plus forte rotation axiale avec un corps orienté vers la convexité de la courbure et un arc postérieur vers la concavité
Vertèbres-	Correspondent respectivement aux vertèbres les plus inclinées dans le plan frontal à la partie supérieure et inférieure de la courbure
limites supérieure et inférieure	En cas de courbure sus et sous jacente, la vertèbre limite inférieure de la courbure sus-jacente est la même que la vertèbre limite supérieure de la courbure principale, et la vertèbre limite supérieure de la courbure sous-jacente correspond à la vertèbre limite inférieure de la courbure principale
Angle de Cobb	Angle formé entre les tangentes aux plateaux supérieur de la vertèbre limite supérieure et inférieur de la vertèbre limite inférieure
CODD	Si les plateaux ne sont pas dégagés, les pédicules peuvent être utilisés
Vertèbres	En cas de courbure unique, elles correspondent aux premières vertèbres supérieure et inférieure dont la rotation est nulle
neutres	En présence de plusieurs courbures, elle correspond à la vertèbre limite de transition qui présente la rotation axiale la moins marquée
Drogues :	5° si les clichés sont réalisés dans les mêmes conditions 10° lorsque les clichés sont réalisés à distance
Progression	



Scoliose thoracique à convexité droite
Vertèbre sommet en T9, avec un angle de Cobb
chiffré à 51° entre les vertèbres limites T5 et T12
Scoliose sous jacente lombaire à convexité gauche
Vertèbre sommet en L2, avec un angle de Cobb
chiffré à 27° entre les vertèbres limites T12 et L4

## WWW.lemanip.com

#### MESURE DANS LE PLAN AXIAL DU RACHIS: ROTATION **AXIALE DE LA VERTEBRE SOMMET**

Méthode de Cobb

Rotation cotée de 1 à 4 en fonction du degré de déplacement de l'épineuse par rapport au pédicule et au corps vertébral dans la concavité de la courbure

Méthode de Nash et Moe

Rotation cotée de 0 à 4 en fonction de l'importance du déplacement du pédicule du côté convexe vers le côté concave de la courbure

Selon Cobb		Selon Nash et Moe
	0	
	1	<u> </u>
	2	
	3	60
	4	6 0

#### MESURE DE L'EQUILIBRE DE LA SCOLIOSE

Equilibre frontal du rachis

C'est la distance qui sépare la ligne verticale passant par l'épineuse de C7, de la médiane sacrée verticale

Equilibre sagittal

**Paramètres** rachidiens. paramètres pelviens et sous pelviens

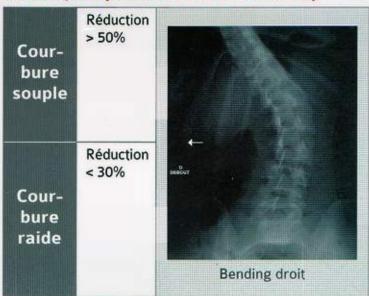
Voir « statique dans le plan sagittal »



#### MESURE DANS LE PLAN SAGITTAL DU RACHIS (VOIR « STATIQUE DANS LE PLAN SAGITTAL »)

Cyphose thoracique	Normale = 41 (±10°)
Cyphose thoracique maximale	Normale = 41 (±10°)
Lordose lombaire	Normale = 43 (±11°)
Lordose lombaire maximale	Normale = 60 (±10°)

#### REDUCTIBILITE DE LA SCOLIOSE : CLICHES DYNAMIQUES (BENDINGS DROIT ET GAUCHE)





#### **MALADIE DE SCHEUERMANN: CRITERES DE SORENSON**

Au moins 3 vertèbres contigües :

- · Aspect feuilleté des plateaux vertébraux
- · Pincement discal
- · Hernie intraspongieuse centrale
- Cunéiformisation > 5° touchant au moins 3 vertèbres adjacentes
- · Hernie rétromarginale antérieure
- · Hernie prémarginale postérieure
- · Epiphyse libre, vertèbre limbique



Antécédent de maladie de Scheuermann associant cunéiformisation des plateaux vertébraux (lignes), hernies intraspongieuses et aspect feuilleté des plateaux (astérisques)

# www.lemanip.com a) Imagerie cardio-thoracique

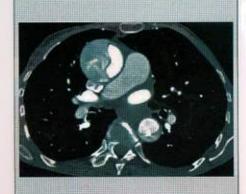
1 • Imagerie cardiaque

#### A · AORTE

#### **DISSECTION AORTIQUE: CLASSIFICATION DE STANFORD**

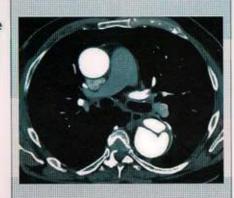
Type A

Aorte ascendante sans préjuger de l'extension



Type B

Aorte descendante seule (aorte ascendante épargnée)





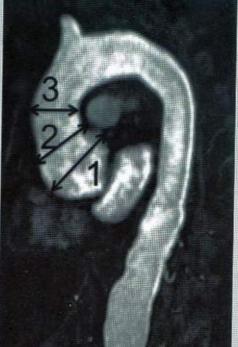
## IMAGERIE CARDIO-THORACIONEV. Emanip.com

### **ENDOFUITES: CLASSIFICATION**

	A	Défaut d'application de l'endoprothèse sur son extrémité proximale		11
	В	Défaut d'application de l'endoprothèse sur son extrémité distale	IA	
	C	Défaut d'application d'un occluder iliaque (endoprothèse aorto-uni-iliaque)	1 1	FE
ıı		Flux sanguin intra-sacculaire rétrograde à partir des artères viscérales (lombaire, mésentérique inférieure, rénale accessoire, iliaque interne)	IC VIB	
			TYPE	TYPE
	Α	Déconnexion d'un des modules de l'endoprothèse		
	В	Déchirure du tissu de l'endoprothèse (mineure < 2 mm, majeure ≥ 2 mm)	25	15
IV	(0.5	Porosité d l'endoprothèse (<30 j avant la pose)		
٧	1	Endotension	1 1	刘是
Inconnu	THE PARTY	Endofuite visualisée en imagerie mais sans cause retrouvée	TYPE	TYPE IV

### **AORTE THORACIQUE ASCENDANTE**

Diamètre	Chirurgie si:     >55 mm (sauf Syndrome de Marfan et bicuspidie: chirurgie si diamètre du sinus de valsalva > 50 mm)     évolution > 5 mm / an	<b>)</b>
Anévrisme	Augmentation de 50% du calibre (x1,5 le calibre du segment normal)	3
Diamètres standardisés (moyennes à titre indicatif)	Les diamètres sont mesurés sur un plan axial :  • Anneau valvulaire : 30.6 mm (22–41)  • Sinus de valsalva : 42 mm (28–64)  • Jonction sino tubulaire : 37.5 mm (27–52)  • 1/3 moyen de l'aorte ascendante : 42.9 mm (30–65)  • Portion proximale de l'aorte horizontale : 37.3 mm (27–53)  • 1/3 moyen de l'aorte horizontale : 29.5 mm (19–45)  • tiers moyen de l'aorte thoracique descendante : 26.8 mm (19–45)	



Angio-IRM
(les diamètres
doivent être
mesurés sur
un plan axial)
(1) Sinus de
Valsalva
(2) Jonction
sino-tubaire
(3) 1/3 moyen
de l'aorte
ascendante



Plan de coupe (double flèche) au niveau de l'anneau valvulaire)

## 4 IMAGERIEVENDO THE RECORD ID. COM

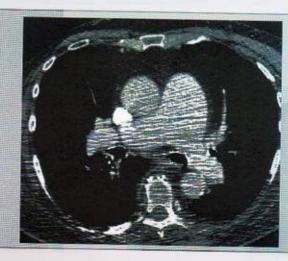
### **B** • ARTERE PULMONAIRE

Tronc: 29 mm

Diamètre

Artère pulmonaire droite : 28 mm Artère pulmonaire gauche : 24 mm

Rapport des diamètres Diamètre tronc artère pulmonaire / Diamètre aorte ascendante > 1 en faveur d'une hypertension pulmonaire



## C • ARTERES BRONCHIQUES

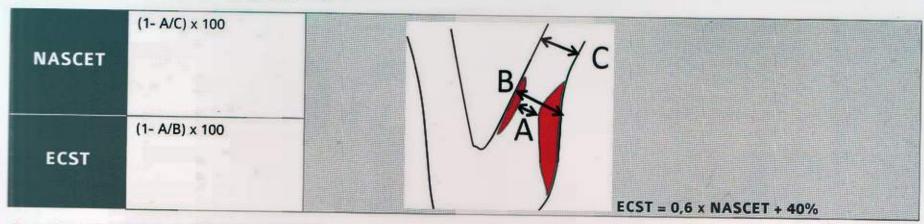
Diamètre normal

1,5 mm à leur origine

## WWW. emanip. MGERIE CARDIO-THORACIQUE

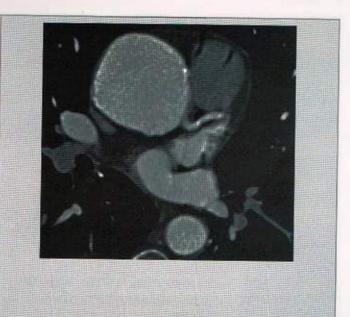


### D • CAROTIDE : NASCET/ECST



### **E • ARTERES CORONAIRES**

Calibre normal	Entre 4-5 mm à l'ostium 3-4 mm dans les portions terminales
Anévrysme	Diamètre > 1,5 fois la coronaire saine
Ectasie	Diamètre compris entre 1 et 1,5 fois la normale
Sténose	<ul> <li>&lt; 50% non significative</li> <li>&gt; 50% significative</li> <li>&gt; 70% serrée</li> <li>en cas de difficulté à trouver un calibre de référence, s'il y a une sténose et</li> <li>que le tronc commun &lt; 6 mm²</li> <li>ou que les gros tronc proximaux &lt; 4 mm²</li> <li>⇒ en faveur de la significativité de la sténose</li> </ul>



## Gratuittement

www.lemanip.com

Radiologie et imagerie medicale



Livres, memoires, rapport de stage, courses, radiologie conventionnelle, Scanner, TDM, IRM, Scintigraphie, Medecine nucleaire, Radiotherapie, Radiologie Interventionnelle, Oncologie, Clichees, Cas interpretes, exposes, medecine

https://www.lemanip.com/

www.lemanip.com

## www.lemanip.com



#### F • IRM CARDIAQUE

## 17 segments de l'AHA

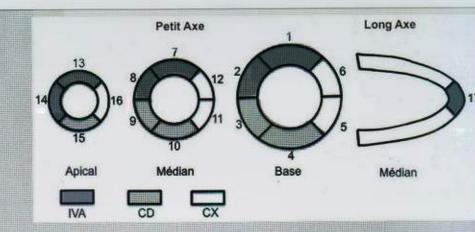
- · 1. Base. Antérieur
- · 2. Base. Antéro-septal
- · 3. Base. Inféro-septal
- · 4. Base. Inférieur
- · 5. Base. Inféro-latéral
- · 6. Base. Antéro-latéral
- · 7. Médian, Antérieur
- · 8. Médian. Antéro-septal
- 9. Médian. Inféro-septal
- · 10. Médian. Inférieur
- 11. Médian. Inféro-latéral
- · 12. Médian. Antéro-latéral
- · 13. Apical. Antérieur
- 14. Apical. Septum
- 15. Apical. Inférieur.
- 16. Apical. Latéral
- 17. Apex

Rehaussement tardif Plus la transmuralité du rehaussement tardif augmente, moins le myocarde est viable (du sous endocarde vers le sous épi-carde)

La probabilité de récupération fonctionnelle d'un secteur du myocarde est inversement proportionnelle à l'extension transmurale de la nécrose.

#### En pratique :

- · rehaussement < 50% : viabilité
- rehaussement > 50% : non viabilité





Rehaussement tardif transmural du septum et de la paroi inférieure du ventricule gauche

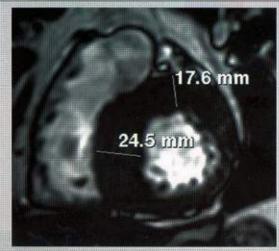
#### **FEVG**

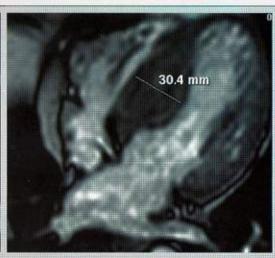
Normale 55%-75%

Dysfonction modérée 30%-55%

#### HYPERTROPHIE MYOCARDIQUE ET CARDIOMYOPATHIE HYPERTROPHIQUE (CMH)

· Epaisseur myocardique >12 mm chez l'homme et Hypertro-11 mm chez la femme · Cavité ventriculaire phie myogauche normale ou cardique diminuée (habituellement : parois du VG < 10 mm hors septum) Myocarde épaissi : ≥ 15 mm en télédiastole CMH • ≥ 13 mm en cas d'antécédent familial de CMH Ventricule Normale: paroi du VD < 4 mm droit





#### **CARDIOMYOPATHIE DILATEE**

Cardiomyopathie dilatée	Si VG ≥ 112 % du volume théorique et FEVG < 45%	
Normale	Diamètre VG dans le plan petit axe <55 mm (télédiastole)  DTD VG <55 mm ou <32 mm/m² de surface corporelle	

## (4) IMAGERIE CARDIO-THORACIQUE W. Lemanip.com

### G • VALVE AORTIQUE STENOSE

	Légère	Modérée	Sévère
Surface (cm²)	>1,5	1,0-1,5	<1,0 (<0,6 cm²/ m² si indexée)
Gradient moyen (mmHg)	<35	35-64	>64
Vitesse (m/s)	<3	3-4	>4

#### REGURGITATION

	Légère	Modérée	Sévère
Fraction de régurgita- tion (%)	0-20	21-40	> 40
Volume de régurgita- tion	<30	30-59	≥ 60

#### **H • VALVE TRICUSPIDE**

Diamètre moyen	35-38 mm
Surface moyenne	7 à 8 cm²

### I • VALVE PULMONAIRE

Diamètre moyen	20-22 mm
Surface moyenne	3 à 4 cm <sup>2</sup>

### J • VALVE MITRALE

Diamètre moyen	28+/-6 mm
Surface moyenne	8,1+/-2,4 cm <sup>2</sup>

### K • EPANCHEMENT PERICARDIQUE

TDM	Normale : épaisseur < 2 mm Epaissi si > 2 mm
Abondance	Faible abondance < 10 mm  Abondance modérée : 10-20 mm  Grande abondance > 20 mm



#### L • ARTERE POPLITEE PIEGEE

Type I	Trajet anormal de l'artère poplitée: passe en dedans de l'insertion proximale du muscle gastrocnémien médial	Type IV	Bandelette fibreuse issue du muscle gastrocnémien médial, ou muscle poplité, responsable de la compression	
Type II	Le muscle gastrocnémien médial a une insertion proximale plus latérale que la normale, refoulant en dedans l'artère poplitée	Type V	Un des types précédents mais englobant aussi la veine poplitée	
Type III	Le muscle gastrocnémien médial présente une expansion anormale, piégeant l'artère poplitée entre cette bandelette et le muscle gastrocnémien médial	Type VI	Anatomie normale, anomalie fonctionnelle (muscle anatomiquement normal, éventuellement hypertrophié)	

## www.lemanip.com

4

IMAGERIE CARDIO-THORACIQUE

## 2 • Imagerie thoracique

### A • PARENCHYME PULMONAIRE

#### MICRONODULE, NODULE, MASSE

Micronodule	< 7 mm
Nodule	7-30 mm
Masse	> 30 mm

### NODULE SOLIDE PULMONAIRE SOLITAIRE: CONDUITE A TENIR (FLEISCHNER SOCIETY)

aille du nodule	Malade à faible risque	Malade à haut risque*
≤ 4mm	Pas de suivi nécessaire	TDM de contrôle à 12 mois ; si taille inchangée : plus de suivi
4-6mm	TDM de contrôle à 12 mois ; si taille inchangée : plus de suivi	TDM de contrôle à 6-12 mois, puis 18-24 mois si taille inchangée
6-8mm	TDM de contrôle à 6-12 mois, puis 18-24 mois si taille inchangée	TDM de contrôle à 3-6 mois, puis 9-12 mois et 24 mois taille inchangée
	Etude du rehaussement de la densité du nodule en TDM après injection de produit de contraste, ou TEP ou FDG.	Idem malade à faible risque
> 8mm	Si un de ces examens est positif, il faut faire une biopsie ou réséquer le nodule.	
	Si l'examen est négatif, TDM de contrôle à 3, 9 et 24 mois si taille inchangée	

<sup>\*</sup>Tabagisme connu ou arrêt récent, antécédents familiaux de cancer en ligne directe, âge avancé, histoire de fibrose pulmonaire

### **NODULE PULMONAIRE: RECOMMANDATIONS PROFESSIONNELLES 2011**

	Critères de malignité	Critères de bénignité
Examen clinique	<ul> <li>Âge</li> <li>Tabagisme, exposition à un autre agent cancérigène</li> </ul>	
TDM en coupes fines	<ul> <li>Diamètre élevé</li> <li>Contours irréguliers</li> <li>Bronchogramme aérien ou bronche dilatée dans l'environnement du nodule</li> <li>Cavitation avec paroi épaisse</li> <li>Image persistante en verre dépoli de plus de 10 mm avec composante solide</li> </ul>	<ul> <li>Foyer de densité graisseuse (-40 à -80 UH, DS comprise) (hamartochondrome)</li> <li>Calcifications diffuses, lamellaires ou centrales (granulome) ou en « pop corn » (hamartochondrome)</li> <li>Aspect compatible avec un ganglion intra pulmonaire : nodule &lt; 10 mm, distant de moins de 10 mm de la plèvre au dessous du niveau de la carène, forme angulaire</li> <li>Absence d'hypermétabolisme (si nodule solide) et diamètre ≥ 10 mm</li> </ul>

### **NODULES NON SOLIDES: RECOMMANDATIONS DE LA FLEISCHNER SOCIETY**

Type de Nodule	Reco	ommandations	
Nodule solitaire en	≤ 5 mm	Pas de suivi TDM nécessaire	
verre dépoli	> 5 mm	Contrôle à 3 mois pour confirmer la persistance, puis surveillance annuelle pour un minimum de 3 ans	
Nodule solitaire en partie solide	<ul> <li>Contrôle à 3 mois pour confirmer la persistance.</li> <li>En cas de persistance et d'une composante solide &lt; 5 mm : surveillance annuelle durant 3 ans</li> <li>En cas de persistance et d'une composante solide ≥ 5 mm : biopsie ou résection chirurgicale</li> </ul>		
	Pures nodules en verre dépoli ≤ 5 mm	Suivi tomodensitométrique à 2 et 4 ans	
Multiples nodules solides	Pures nodules en verre dépoli > 5 mm sans lésion dominante	Suivi initial à 3 mois pour confirmer la persistance, puis suivi annuel pour un minimum de 3 ans	
	Nodule(s) dominant(s) avec une composante (en partie) solide	Contrôle à 3 mois pour confirmer la persistance.  En cas de persistance : biopsie ou résection chirurgicale spécialement pour les lésions avec une composante solide > 5 mm	

## IMAGERIE CARDIO-THORACIQUEW. emanip.com

### **CANCER BRONCHO PULMONAIRE: CLASSIFICATION TNM**

	T : Tumeur primitive
TX	Tumeur ne peut être évaluée ou est démontrée par la présence de cellules malignes dans les expectorations ou un lavage bronchique sans visualisation de la tumeur par des examens endoscopiques ou d'imagerie
ТО	Pas d'évidence de tumeur primitive
TIS	Carcinome in situ
T1	Tumeur de 3 cm ou moins dans sa plus grande dimension, entourée par le poumon ou la plèvre viscérale, sans évidence bronchoscopique d'invasion plus proximale que la bronche lobaire (c'est-à-dire pas la bronche souche)  • T1a : tumeur de 2 cm ou moins dans sa plus grande dimension  • T1b : tumeur de plus de 2 cm sans dépasser 3 cm dans sa plus grande dimension
	The Came as place as a case of a cas
	Tumeur de plus de 3 cm sans dépasser 7 cm dans sa plus grande dimension ou présentant des caractéristiques
	suivantes* :  • atteinte de bronche souche à 2 cm ou plus de la carène
	invasion de la plèvre viscérale
T2	présence d'une atélectasie ou d'une pneumopathie obstructive s'étendant à la région hilaire sans atteindre l'ensemble du poumon
	T2a : tumeur de plus de 3 cm sans dépasser 5 cm dans sa plus grande dimension
	T2b : tumeur de plus de 5 cm sans dépasser 7 cm dans sa plus grande dimension
	* les tumeurs avec ces caractéristiques sont classées T2a si leur dimension est de 5 cm ou moins
	Tumeur de plus de 7 cm ; ou envahissant directement une des structures suivantes : paroi thoracique (y compris la
Т3	tumeur de Pancoast), diaphragme, nerf phrénique, plèvre médiastinale, péricarde ; ou une tumeur dans la bronche souche à moins de 2 cm de la carène sans l'envahir ; ou associée à une atélectasie ou une pneumopathie obstructiv du poumon entier ; ou présence d'un nodule tumoral distinct dans le même lobe
T4	Tumeur de toute taille envahissant directement une des structures suivantes : médiastin, cœur, grands vaisseaux, trachée, nerf laryngé récurrent, œsophage, corps vertébral, carène ; nodule tumoral distinct dans un autre lobe ipsilatéral

## www.emanip.com

1	N : Ganglions lymphatiques régionaux
NX	Ganglions ne peuvent être évalués
NO	Pas de métastase ganglionnaire lymphatique régionale
N1	Métastase dans les ganglions lymphatiques péribronchiques, hilaires et/ou intrapulmonaires du côté du poumon atteint, y compris par envahissement direct
N2	Métastase dans les ganglions lymphatiques médiastinaux et/ou sous-carénaires du côté du poumon atteint
N3	Métastase dans les ganglions lymphatiques médiastinaux ou hilaires controlatéraux, scalènes ou sus-claviculaires ipsilatéraux ou controlatéraux

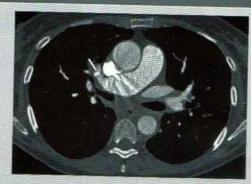
	M : Métastase à distance
MX	Métastase à distance ne peut être évaluée
МО	Pas de métastase à distance
M1	Métastase à distance  Ma: nodule(s) tumoral distinct dans un lobe controlatéral; tumeur avec nodules pleuraux ou épanchement pleural malin (ou péricarde)  M1b: métastases extrathoraciques

## SEGMENTATION PULMONAIRE DROITE / ARTERES PULMONAIRES (SELON BOYDEN)

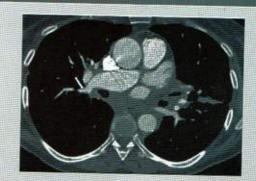
#### Lobe supérieur



S1 - Segment apical - A1



S2 - Segment antérieur - A2



S3 - Segment postérieur - A3

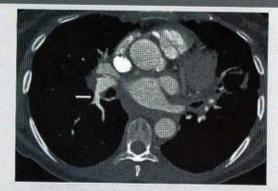
## IMAGERIE CARDIO-THORACIQUE

#### Lobe moyen

- S4 Lobe moyen segment latéral A4 (1)
- S5 Lobe moyen segment médial A5 (2)



#### Lobe inférieur



S6 - Segment apical du lobe inférieur - A6



- S7 Segment médio-basal A7 (1)
- S8 Segment antéro-basal A8 (2)
- S9 Segment latéro-basal A9 (3)
- S10 Segment postéro-basal A10 (4)

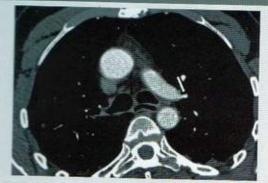
## www.lemanip.com

IMAGERIE CARDIO-THORACIQUE



## SEGMENTATION PULMONAIRE GAUCHE

#### Lobe supérieur



Le tronc principal A1+3 nait juste en amont de l'artère apicale (1)

S1+3 - Segment apico-postérieur - A1+3



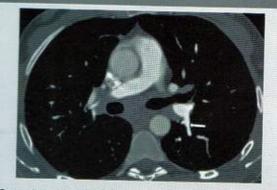
S2 - Segment antérieur - A2



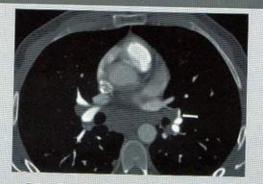
S4 - Segment lingulaire supérieur - A4 (1)

S5 - Segment lingulaire inférieur - A5 (2)

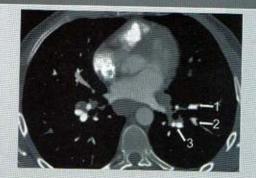
#### Lobe inférieur



S6 - Segment apical du lobe inférieur - A6



S7 - Segment médio-basal - A7



S8 - Segment antéro-basal - A8 (1)

- S9 Segment latéro-basal A9 (2)
- S10 Segment postéro-basal A10 (3)

## 4

## IMAGERIE CARDIN-THOYAVIQUE EMANID.COM

#### **B** • MEDIASTIN

Groupe 1

Groupe 2

#### **AIRES GANGLIONNAIRES (AMERICAN THORACIC SOCIETY)**

#### Sus-claviculaires

Sus-claviculaire, cervical bas

#### Limites:

- · haut : limite inférieure du cartilage cricoïde
- · bas : bord supérieur du manubrium sternal et des clavicules
- 1R : à droite de la trachée
- · 1L: à gauche de la trachée



#### Médiastinales supérieures

Paratrachéal haut droit (2R) ou gauche (2L)

#### Limites:

- · haut: bord supérieur du manubrium sternal
- · bas:
  - bord inférieur du tronc veineux innommé gauche dans sa portion pré trachéale (pour les droits)
- le bord supérieur de la crosse aortique (pour les gauches)
- le bord latéral gauche de la trachée séparant droite (n°2R) et gauche (n°2L)

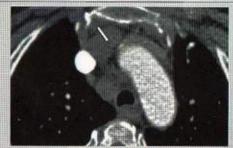
### 3A : prévasculaire

- · en avant: face postérieure du sternum
- · en arrière à droite: bord antérieur de la VCI
- · en arrière à gauche: l'artère carotide primitive

### Groupe 3

3P: rétrotrachéal





## WWW. Emanipuagerie dar no-thoracique



### Paratrachéal bas droit (4R) · haut: bord inférieur du tronc veineux innominé gauche dans sa portion pré trachéale · bas: le bord inférieur de la crosse de la veine azygos · gauche: bord latéral gauche de la trachée Groupe 4 Paratrachéal gauche (4L) · haut: bord supérieur de la crosse aortique · bas: bord supérieur de l'artère pulmonaire gauche · à droite: bord latéral gauche de la trachée · à gauche: ligament artériel **Aortiques** Sous-aortique, fenêtre aorto-pulmonaire · haut: limite inférieure de la crosse aortique · bas: bord supérieur de l'artère pulmonaire gauche · à droite: le ligament artériel Groupe 5 Para-aortique en avant et à coté de la crosse aortique entre · en haut: ligne tangentielle au bord supérieur de la crosse aortique · en bas: la limite inférieure de la crosse aortique Groupe 6

## IMAGERIE CARDIO-THORAGIÈMEW. Emanip.com

	Médiastinales inférieures	
Groupe 7	Sous-carinaire haut: la carène trachéale en bas à droite : la limite inférieure du tronc bronchique intermédiaire en bas à gauche : la limite supérieure de la bronche lobaire inférieure	
Groupe 8	Para-oesophagien (sous la carène)  en haut à droite : la limite inférieure du tronc bronchique intermédiaire  en haut à gauche : la limite supérieure de la bronche lobaire inférieure  en bas : le diaphragme	
Groupe 9	Ligament pulmonaire  Situés au sein du ligament triangulaire, entre :  • en haut : la veine pulmonaire inférieure  • en bas : le diaphragme	
Groupe 10	Hilaire	

## Gratuittement

www.lemanip.com

Radiologie et imagerie medicale



Livres, memoires, rapport de stage, courses, radiologie conventionnelle, Scanner, TDM, IRM, Scintigraphie, Medecine nucleaire, Radiotherapie, Radiologie Interventionnelle, Oncologie, Clichees, Cas interpretes, exposes, medecine

https://www.lemanip.com/

www.lemanip.com

## www.emanip.com IMAGERIE CARDIO-THORACIQUE



#### N<sub>1</sub> Inter-lobaire Parenchymateux segmentaire Groupe Groupe 11 13 Parenchymateux Parenchymateux lobaire sous-Groupe segmentaire Groupe 12 14

### **PAROI THORACIQUE**

PECTUS EXCAVATUM - PECTUS CARINATUM

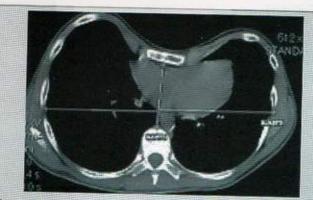
Index de Haller

Diamètre transverse interne du thorax maximal (entre les bords internes des côtes) / diamètre interne antéro-postérieur minimal (entre le bord postérieur du sternum et le bord antérieur du corps vertébral le plus proche)

• ≤ 2 : pectus carinatum significatif

• 2,5 : normal

≥ 3,2: pectus excavatum significatif



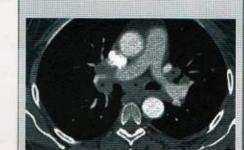
Pectus excavatus

## IMAGERIE CARDIO-THOR WIGWEW. IEMANIP. COM

#### SARCOIDOSE (STADIFICATION ETENDUE AU SCANNER)

Adénomégalies médiastinohilaires, parenchyme normal

Stade



Sarcoïdose Stade I Adénomégalies mediastino-hilaires (\*) isolées

Stade II

médiastinohilaires et atteinte parenchymateuse (micronodules périlymphatiques, épaississements péribronchovasculaires, lignes septales, verre dépoli)

Adénomégalies

Stade III

Stade IV

Atteinte intersititielle (identique au stade II) sans adénomégalies

Fibrose pulmonaire



Sarcoïdose stade II
Adenomégalies médiastinohilaires (\*) associées à des micronodules péribronchovasculaires
et périlymphatiques disséminés.

#### C • RADIOGRAPHIE DU THORAX

#### LIGNES

Ligne médiastinale postérieure

Ligne médiasti-

nale antérieure

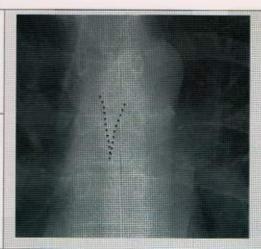
Jonction des deux languettes pulmonaires postérieures et supérieures en avant du rachis, en arrière de l'œsophage,

Peut dépasser la clavicule

Pas toujours visualisée

Jonction des deux languettes pulmonaires antérieures, derrière le sternum,

Ne dépasse jamais la clavicule



Ligne médiastinale antérieure Ligne médiastinale postérieure non visualisée

112

## www.emanio.com IMAGERIE CARDIO-THORACIQUE



#### **BORDS**

aortique

Lignes paravertébrales droite et gauche

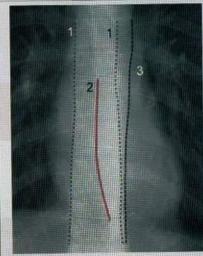
Ligne para azygooesophagienne

Réflexion de la plèvre le long du rachis.

A gauche : ce bord est à mi- distance entre le bord gauche du rachis et la ligne para-aortique

Nait de l'interface de la plèvre avec la veine azygos en haut et l'œsophage en bas

Tangence entre le bord externe de l'aorte thoracique descendante et la plèvre gauche



- (1) Lignes paravertébrales droite et gauche(2) Ligne para azygo-oeso-phagienne
- (3) Ligne para-aortique

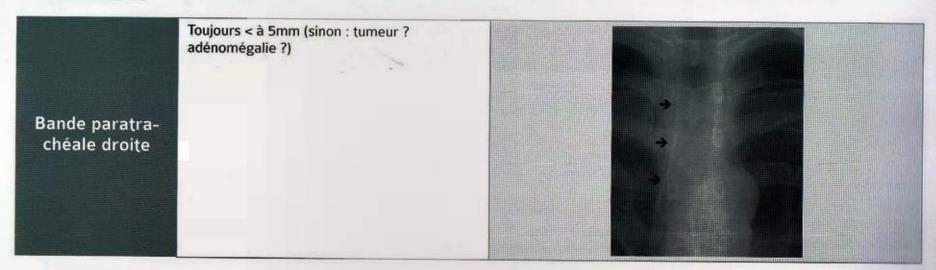
#### HILES RADIOLOGIOUES

Hile droit	Angle supéro-externe de l'artère interlobaire ou point de croisement de la veine pulmonaire supérieure avec l'artère interlobaire droite.  Jamais au dessus du hile gauche	2
Hile gauche	Milieu de la distance séparant la limite supérieure de la bronche souche gauche et la limite supéro-externe de la crosse de l'artère pulmonaire gauche	

4

## IMAGERIE CARDIO-THORACIQUE LE CARDIO-THORACIQUE LE

#### **BANDES**



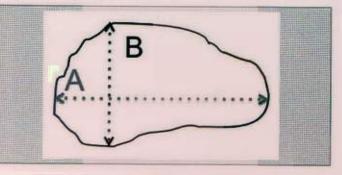
# www.lemanip.com Meuroradiologie

#### A . TUMORAL

#### **TUMEURS GLIALES: RANO**

## Mesure de la prise de contraste dans le plan axial :

- A = Plus grand axe de la lésion
- B = Plus grande mesure possible passant perpendiculairement à A.
- On calcule P = A x B que l'on compare à l'examen de référence
- · L'étude de la séquence FLAIR est visuelle



	Prises de contraste	FLAIR	Statut clinique	Stéroïde
Réponse complète	Disparition complète des lésions	= Ou 🔌	<b>∄</b> Ou =	Ø
Réponse partielle	<b>3</b> P ≥ 50%	= Ou <b>¥</b>	7 Ou =	= Ou 🏖
Stabilité	¥ P < 50% OU 7 P < 25%	= Ou 🐿	=	= Ou 🕽
Progression	7 P supérieure à 25% OU Nouvelle lésion	7 (non lié à une comorbidité)	7	7



## NEURORADIOLOGIE WWW.emanip.com

#### **B** • **DEMENCES**

### **LEUCOPATHIES: CLASSIFICATION DE FAZEKAS**

	Lésions péri	ventriculaires
0	Pas de lésion	
1	Punctiformes ou fines lignes	
2	Halo	
3	Extensives à la substance blanche	

0	Pas de lésion	
1	Punctiformes	
2	Confluence débutante	
3	Multiples zones confluentes	

## www.lemanip.com NEURORADIOLOGIE



### **TEMPORAL INTERNE: ECHELLE DE SCHELTENS**

Note	Largeur de la fissure choroïdienne	Largeur de la corne temporale	Hauteur de la formation hippocampique	
0	N	N	N	
1	7	N	N	
2	77	7	4	
3	777	77	עע	1 / -2
4	777	777	עעע	

<sup>(1)</sup> Fissure choroïdienne, (2) Corne temporale, (double flèche) hauteur de la formation hippocampique



## NEURORADIOLOGIE WWW.lemanip.com

### C · VASCULAIRE

### HEMORRAGIE MENINGEE

Grade 1	Hémorragie non visible à l'imagerie (diagnostiquée par ponction lombaire)
Grade 2	Hémorragie sous arachnoïdienne de moins d'1 mm d'épaisseur
Grade 3	Hémorragie sous arachnoïdienne de plus d'1 mm d'épaisseur
Grade 4	Hémorragie sous arachnoïdienne associée à un hématome intraparenchymateux ou hémorragie intraventriculaire

## **ECHELLE DE FISHER MODIFIEE**

Grades	Critères
0	Pas d'hémorragie sous arachnoïdienne (HSA) ou d'hémorragie intra- ventriculaire (HV)
1	HSA minime, pas d'HV dans les 2 ventricules latéraux
2	HSA minime, HV dans les 2 ventricules latéraux
3	HSA remplissant au moins une citerne ou une scissure, pas d'HV dans les 2 ventricules latéraux
4	HSA remplissant au moins une citerne ou une scissure, HV dans les 2 ventricules latéraux



Hémorragie méningée grade 4 HSA remplissant une citerne (1), hémorragie venriculaire dans les 2 ventricules latéraux (2)

## MALFORMATION ARTERIO-VEINEUSE (CLASSIFICATION DE SPETZLER ARTERIOGRAPHIQUE, 1986)

La somme obtenue de	chacun de ces items permet d'établir cinq gra	ades (du grade I au grade V)
100,000,000	<3 cm	1
Taille de la MAV	Entre 3 et 6 cm	2
	> 6 cm	3
Localisation	Cortex éloquent	0
	Cortex non éloquent	1
	Uniquement superficiel	4 0
Drainage	Profond	1

Cortex éloquent : Cortex sensitivo-moteur, aires du langage, cortex visuel, thalamus et hypothalamus, capsule interne, tronc cérébral, pédoncules cérebelleux, noyaux cérebelleux profonds, ou régions directement adjacentes à ces structures

Cortex non éloquent : lobes frontaux et temporaux, hémisphères cérebelleux

## FISTULES DURALES: CLASSIFICATION SELON LE DRAINAGE VEINEUX (DJINDJIAN, 1978)

Type 1	Drainage en isocourant dans le sinus sans reflux veineux ni drainage veineux cortical associé.		
1 1/6	Drainage dans le sinus avec reflux veineux rétrograde soit parce que le sinus veineux est occlus ou sténosé en aval soit parce que le débit de la FAVD est trop important pour la taille du sinus.		
Type 2	Type 2a : reflux dans le sinus d'amont, voire d'autres sinus sans participation de veines corticales		
	Type 2b : reflux intéressant des veines afférentes au sinus (veines corticales)		
Type 3	Drainage dans une veine corticale artérialisée circulant à contre-courant. Cette veine s'abouche ensuite dans une autre veine vers un autre sinus (ou le même).		
Type 4	Idem type 3 mais associé à une importante ectasie de la veine de drainage		
Type 5	Le drainage est de type 2b ou 3, l'afférence veineuse emprunte les veines médullaires cervicales (avec possible extension jusqu'à l'étage lombaire).		



## NEURORADIOLOGIE WWW.lemanip.com

## CAVERNOME : CLASSIFICATION DE ZABRAMSKI (1994)

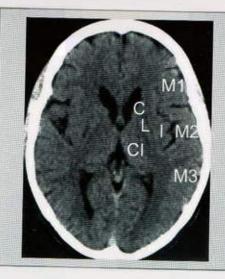
	Séquence	
Type 1	T1	Centre hyperintense
.,,,,,,,,,,,,,,,,,,,,,,,,,,,,,,,,,,,,,,	T2	Centre hyper ou hypointense
Type 2	T1	Association de logettes d'intensités variables
.,,,,,,	T2	cernées d'un liseré hypointense en T2
Type 3	T1	Iso ou hypointense
.,,,,,	T2	Hypointense avec un liseré noir
	T1	Invisible ou à peine visible (isosignal)
Type 4	T2	Invisible ou à peine visible (isosignal)
	T2 EG	Hyposignal punctifome

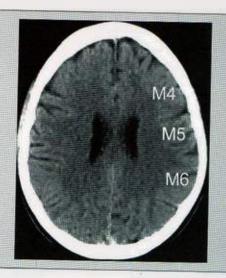




## **AVC ISCHEMIQUE: SCORE ASPECTS**

C-Noyau caudé	N=1
L-Noyau lenticulaire	N=1
I-Insulaire	N=1
IC-Capsule interne	N=1
M1-ACM antérieur	N=1
M2- territoire de l'ACM devant le ruban insulaire	N=1
M3 -ACM postérieure	N=1
M4-Territoire ACM antéro-supérieur	N=1
M5-Territoire ACM latéro-supérieur	N=1
M6-Territoire ACM postéro-inférieur	N=1



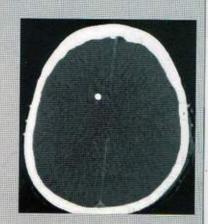


Réponse au traitement moins favorable si score ≤ 7

### **MORT ENCEPHALIQUE: CRITERES**

Protocole	3 acquisitions : • contraste spontané • 20 secondes • 60 secondes
Critère de qualité de l'examen	Opacification à 20 secondes des artères temporales superficielles (flèche blanche)
Critères d'arrêt circula- toire cérébral	Absence de visibilité d'au moins 3 des 4 vaisseaux suivants, sur toutes les phases de l'examen (score ≥ 3 /4):  • 1- Artère sylvienne gauche segment M4 (1 point)  • 2- Artère sylvienne droite





#### D • INFLAMMATOIRE

### **SEP: CRITERES DE POLMAN ET MC DONALD**

Diagnostic de SEP après un syndrome clinique isolé

#### Dissémination spatiale

 2- Artère sylvienne droite segment M4 (1 point)
 3- Veine cérébrale interne

· 4- Veine cérébrale interne

droite (1 point)

gauche (1 point)

- ≥ 1 lésion T2 dans au moins 2/4 territoires :
- juxtacortical
- · périventriculaire
- · sous-tentoriel
- · médullaire

#### Dissémination temporelle

 1 lésion T2 et 1 lésion T1 après injection de gadolinium asymptomatique, quel que soit le moment de l'IRM.

#### OU

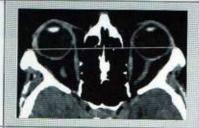
 1 nouvelle lésion T2 et/ou 1 T1 Gado sur une IRM de suivi, quelque soit le moment de l'IRM initiale.

## 5 NEURORADIOLOGIE

#### E • ORBITES

#### **GRADES DE L'EXOPHTALMIE**

Absence d'exophtalmie La ligne bi-canthale externe passe à l'union entre les deux tiers antérieurs et le tiers postérieur du globe oculaire



Grade 1

Plus des deux tiers du globe se projettent en avant de la ligne bicanthale externe.



Grade 2

La ligne bi-canthale externe affleure le pôle postérieur du globe oculaire

Grade 3

Le globe oculaire se situe en totalité en avant de la ligne bicanthale externe





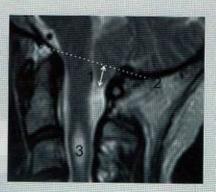
#### F • MALFORMATIONS D'ARNOLD CHIARI

Type 1 Hernie des tonsilles cérébelleuses dans le foramen magnum > 5 mm
V4 en place
< 3mm : variante de la normale

Ptose du vermis inférieur, de la protubérance et de la moelle allongée dans le canal cervical, à travers un foramen magnum élargi.
Est toujours associé à une myeloméningocèle.

Type 3 Hernie du cervelet dans un spina bifida occipito vertébral.
Méningo-encéphalocèle occipitale associée à un chiari type 2

Hypoplasie du cervelet, associée à une ectopie bulbaire



Malformation d'Arnold Chiari de type 1
Hernie des tonsilles
cérebelleuses dans
le foramen magnum
(>5 mm) (1) par rapport
à la ligne de Mac Rae
(bord inférieur du
clivus-rebord occipital)
(2) Syringomyélie (3)
associée.

Type 4

# www.lemanip.com | Imagerie digestive

## 1 • FOIE

#### A • HEPATOMEGALIE

Flèche hépatique

> 15 cm

#### **B • SEGMENTATION ET REPERES HEPATIQUES**

Veines sus hépatiques (VSH) Les VSH droite, médiane, gauche délimitent le foie en secteurs

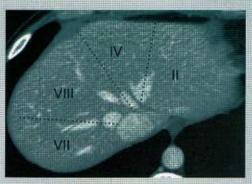
La VSH gauche sépare les segments II et III du segment IV

La VSH médiane sépare le foie droit du foie gauche, c'est-à-dire le segment IV des segments V et VIII

La VSH droite sépare les segments V et VIII des segments VI et VII



Coupe transversale au niveau du dôme hépatique (segment VIII)

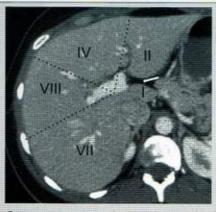


Coupe transversale au niveau de la convergence des veines sus-hépatiques vers la veine cave inférieure



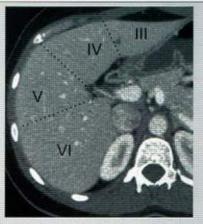
#### IMAGERIE DIGESTIVE

Branches portes	Le plan de la veine porte permet de délimiter les segments supérieurs des segments inférieurs, c'est-à-dire :  • le segment II (supérieur) du segment IVa (supérieur) du segment IVb (inférieur)  • le segment VIII (supérieur)  • le segment VIII (supérieur)  • le segment VIII (supérieur)  • le segment VII (supérieur) du segment V (inférieur)	
Ligament falciforme	Il divise le foie en lobe gauche et en lobe droit Il sépare les segments III et IV	
Ligament veineux d'Arantius	Il sépare les segments I et II	
Vésicule biliaire	Elle sépare les segments IV et V	
Scissure principale	Elle sépare les foies droit et gauche	



Coupe transversale au niveau de la bifurcation porte

Le ligament veineux d'Arantius (flèche blanche) sépare les segments I et II.



Le ligament rond sépare les segments II et III du segment IV



Coupe transversale au niveau de la vésicule biliaire qui sépare les segments IV et V



Coupe transversale au niveau de la partie inférieure du foie : segment VI

### C . LOBES/ FOIES DROIT/GAUCHE

Lobe droit	Segments IV, V, VI, VII, VIII à droite de la scissure falciforme
Lobe gauche	Segments II et III à gauche de la scissure falciforme
Lobe caudé	Segment I
Foie gauche	Segments II, III et IV à gauche de la division portale
Foie droit	Segment I, V, VI, VII, VIII à droite de la division portale

### D • STEATOSE HEPATIQUE

TDM	En scanner, la densité hépatique doit être mesurée en contraste spontané :  • Foie normal : densité entre 40 et 75 UH (en pratique, densité supérieure à la rate)  • Stéatose : densité < 40 UH (en pratique, densité inférieure à la rate)
IRM	Le signal du foie normal est supérieur au signal des muscles paravertébraux
	Contract of the second



TDM abdominale. coupe axiale. Importante stéatose hépatique.



#### TUMEURS BENIGNES

#### Echographie:

Le diagnostic peut être retenu lorsque les quatre critères suivants sont réunis :

- · nodule hyperéchogène (parfois zone hypoéchogène centrale)
- · limites nettes
- · diamètre < 3 cm
- · absence de pathologie maligne ou d'hépatopathie

#### **Angiome** caverneux

#### TDM

Pathognomique si

- prise de contraste de quelques cavités < 1 cm durant la phase artérielle
- · accentuation durant la phase portale avec augmentation du nombre et de la taille des images ayant déjà fixé le contraste (prise de contraste en motte, centripète)

#### IRM

- · hypo T1
- hyper T2 (<LCR)</li>
- · rehaussement en motte

#### Angiome capillaire

#### IRM ou TDM:

densité identique à l'aorte aux temps artériel et tardif



Angiome caverneux typique réunissant tous les critères en échographie

# Gratuittement

www.lemanip.com

Radiologie et imagerie medicale



Livres, memoires, rapport de stage, courses, radiologie conventionnelle, Scanner, TDM, IRM, Scintigraphie, Medecine nucleaire, Radiotherapie, Radiologie Interventionnelle, Oncologie, Clichees, Cas interpretes, exposes, medecine

https://www.lemanip.com/

www.lemanip.com

## www.lemanip.com MAGERIE DIGESTIVE



Hyperplasie nodulaire focale(HNF)

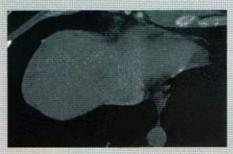
#### TDM:

- · contraste spontané : iso ou hypodense
- Temps artériel : lorsque la densité aortique est supérieure à 250 UH, la densité lésionnelle est multipliée par plus de 1,6 par rapport à la densité en contraste spontané

#### IRM:

Diagnostic certain si tous les critères sont réunis :

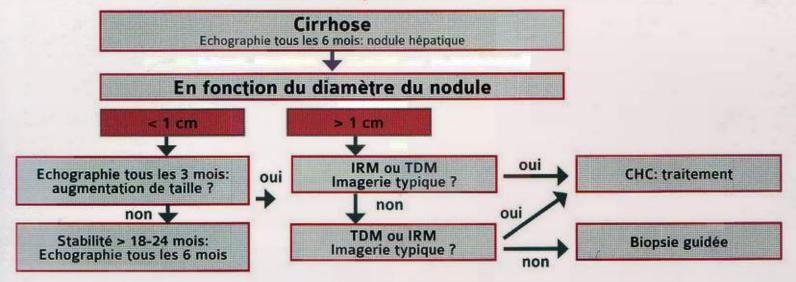
- iso T1, iso T2
- hypervasculaire
- · hile vasculaire central typique
- absence de capsule, d'atypie ou de cirrhose associée





TDM abdominale mettant en évidence un nodule isodense en contraste spontané, vasculaire au temps artériel, dont la densité passe de 50 à 117 UH, avec cicatrice centrale : HNF

#### F • CHC : CRITERES DE BARCELONE (AASLD 2011-EASL 2012 MODIFIES)





## IMAGERIE DIGESTIVE WWW.lemanip.com

#### TUMEURS BENIGNES

#### Echographie:

Le diagnostic peut être retenu lorsque les quatre critères suivants sont réunis :

- · nodule hyperéchogène (parfois zone hypoéchogène centrale)
- · limites nettes
- diamètre < 3 cm</li>
- · absence de pathologie maligne ou d'hépatopathie

**Angiome** caverneux

#### TDM

Pathognomique si

- · prise de contraste de quelques cavités < 1 cm durant la phase artérielle
- · accentuation durant la phase portale avec augmentation du nombre et de la taille des images ayant déjà fixé le contraste (prise de contraste en motte, centripète)

#### IRM

- · hypo T1
- hyper T2 (<LCR)</li>
- · rehaussement en motte

Angiome capillaire

#### IRM ou TDM:

densité identique à l'aorte aux temps artériel et tardif



Angiome caverneux typique réunissant tous les critères en échographie

## 6 IMAGERIE DIGESTIVE WWW. emanip.com

## G • TRAUMATISME HEPATIQUE : CLASSIFICATION TDM DE MIRVIS

Grade I	<ul> <li>Avulsion capsulaire</li> <li>Fracture superficielle &lt; 1 cm</li> <li>Hématome sous capsulaire &lt; 1cm d'épaisseur</li> <li>Infiltration péri-portale</li> </ul>
Grade II	<ul> <li>Fracture de 1 à 3 cm de profondeur Hématome central ou sous capsulaire de 1 à 3 cm de diamètre</li> </ul>
Grade III	Fracture(s) > 3 cm     Hématome central ou sous capsulaire > 3 cm
Grade IV	<ul> <li>Hématome sous-capsulaire ou central &gt; 10 cm</li> <li>Destruction tissulaire ou dévascularisation d'un lobe</li> </ul>
Grade V	<ul> <li>Destruction tissulaire ou dévascularisation des 2 lobes Lésions des veines hépatiques ou de la veine cave rétrohépatique</li> </ul>



Traumatisme hépatique
Hématome central et sous capsulaire > 3 cm, stade III

## 2 • VESICULE ET VOIES BILIAIRES

#### A • PATHOLOGIE LITHIASIQUE

Liée à l'obstruction du canal cystique par un calcul : · Taille du calcul > 15 mm enclavé dans Hydrocholel'infundibulum cyste: écho- Distension de la vésicule biliaire > 4 cm de grand graphie axe transverse · Paroi fine · Epaississement pariétal ≥ 4 mm, qui apparaît feuilleté et hyperhémié Cholecystite: · Syndrome de Murphy échographique échographie · Epanchement péri-vésiculaire · Calcul, sludge



Cholecystite
aiguë
Épaississement
pariétal associé à
une infiltration de
la graisse avoisinante. Lithiase
visible sur une
autre coupe.

Angiocholite aiguë lithiasique

- Dilatation de la VBP > 8 mm en amont d'un calcul enclavé
- Dilatation des VBIH ± pneumobilie (gaz produit par les germes anaérobies)
- · Souvent vésicule lithiasique



Angiocholite aiguë lithiasique Dilatation de la voie biliaire principale en amont de lithiases

#### **B • POLYPES VESICULAIRES : CAT**

Cholecystectomie si lithiase, symptomatique ou croissance rapide

Entre 5 et 10 mm : surveillance

< 5 mm : pas de surveillance

Cholecystectomie

Cholecystectomie

#### C • CHOLANGIOCARCINOME : CLASSIFICATION DE BISMUTH ET CORLETTE

Type I	Respect de la convergence primaire	
Type II	Atteinte de la convergence primaire	
Type IIIa	Atteinte de la convergence secondaire droite	TYPE I TYPE II
Type IIIb	Atteinte de la convergence secondaire gauche	
Type IV	Atteinte de la convergence secondaire bilatérale	TYPE IIIa TYPE IIIb TYPE IV

# 6 IMAGERIE DIGESTIVE WWW. emanip.com

### D • CHOLANGIOCARCINOMES HILAIRES : CLASSIFICATION TNM

	Tumeurs primaires
Tis	Carcinome in situ
T1	Tumeur infiltrant la muqueuse et/ou la paroi musculaire sans la dépasser
T2	Tumeur infiltrant la paroi et dépassant la musculeuse
Т3	Tumeur infiltrant les organes adjacents : foie, pancréas, VB et/ou branche portale ou artère hépatique
T4	Tumeur infiltrant la veine porte ou ses deux branches, l'artère hépatique commune ou le colon, duodénum, paroi abdominale
	Métastases ganglionnaires
Nx	Non évaluable
N 1	Absence de métastases ganglionnaires
N2	Présence de métastases ganglionnaires
	Métastases à distance
Mx	Non évaluable
Mo	Absence de métastases à distance
M1	Présence de métastases à distance

## WWW. emanip. Commagerie digestive



## 3 • RATE

#### A • ANEVRISME DE L'ARTERE SPLENIQUE

Risque de rupture

> 2 cm

## B • TRAUMATISMES SPLENIQUES : AMERICAN ASSOCIATION FOR SURGERY OF TRAUMA

Grade I	Lacération < 1 cm  Hématome sous capsulaire < 10% de la surface splénique	
Grade II	Lacération de 1 à 3 cm  Hématome sous capsulaire de 10 à 50% de la surface splénique  Hématome intra parenchymateux < 5 cm	
Grade III	Lacération > 3 cm ou atteignant le hile splénique  Hématome sous capsulaire de plus de 50% de la surface splénique  Hématome intra parenchymateux > 5 cm	
Grade IV	Lacération segmentaire ou des vaisseaux hilaires responsables d'une dévascularisation splénique de plus de 25%	
Grade V	Lacération des vaisseaux du hile  Multiples lacérations intra parenchymateuses responsables d'une dévascularisation complète de la rate	



Grade III

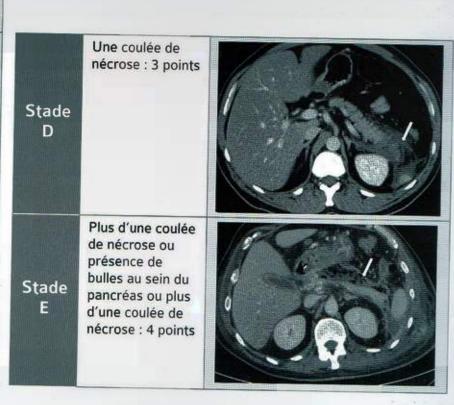
# 6 IMAGERIE DIGESTIVE WWW.lemanip.com

## 4 • PANCREAS

### A • PANCREATITE AIGUE : SCORE DE BALTHAZAR MODIFIE (CT SEVERETY IN-DEX) A 72H

#### **CLASSIFICATION DE BALTHAZAR**

Stade A	Pancréas normal : 0 point	The state of the s
Stade B	Elargissement de la glande : 1 point	
Stade C	Infiltration de la graisse péri- pancréatique (flèche blanche) : 2 points	



#### **NECROSE PANCREATIQUE**

Pas de nécrose	0 point
Nécrose < 30%	2 points
Nécrose 30-50%	4 points
Nécrose > 50%	6 points

#### SCORE

0-3 points	Pancréatite peu sévère
4-6 points	Pancréatite modérément sévère
7-10 points	Pancréatite grave

#### **B** • PSEUDOKYSTE POST PANCREATITE AIGUË

Définition	Collection liquidienne pancréatique bien limitée par une paroi fibreuse se développant après 4 semaines d'évolution de la pancréatite aiguë		
Complications	Traitement des pseudokystes si : • symptomatiques (douleurs) • complications • taille > 5 cm		

#### C • MALFORMATION

Pancréas divisum	Anomalie congenitale résultant d'une séparation persistante entre les parties dorsales et ventrales du pancréas: • le canal ventral et le cholédoque se drainent via la grande papille (ampoule de Vater) • Le canal pancréatique principal dorsal se draine via la papille mineure, située 2cm au dessus de la papille principale	13 4 2 5	Pancréas divisum  1) Canal dorsal  2) Canal ventral  3) Cholédoque  4) Papille mineure  5) Pancréas  6) Duodénum
Anomalie de la jonction	Jonction entre la voie biliaire principale et le canal de Wirsung, en dehors de l'ampoule de Vater, formant un canal commun > 15 mm	6	7) Ampoule de Vater



IMAGERIE DIGESTIVE

## www.lemanip.com

#### TRAUMATISME PANCREATIQUE : AMERICAN ASSOCIATION FOR SURGERY OF TRAUMA

Stade I	Contusion ou lacération Wirsung intact Pas de lésion duodénale	
Stade II	Lacération Section complète du corps ou de la queue Wirsung atteint Pas d'atteinte duodénale	
Stade III	Section complète de la tête	
Stade IV	a : atteinte duodéno-pancréatique, atteinte pancréas limitée b : atteinte duodéno-pancréatique, atteinte pancréas sévère	

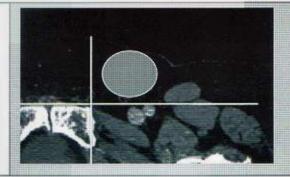


Traumatisme pancréatique (stade II)
Fracture isthmique

## 5 • TUBE DIGESTIF

#### A • HERNIES : REPERES TDM

Hernie inguinale directe Par rapport au repère horizontal centré sur les épines du pubis, la hernie se trouve en situation antérieure et ne franchit pas le plan vertical centré par l'épine homolatérale



Hernie inguinale directe

**IMAGERIE DIGESTIVE** 



#### Hernie inguinale indirecte

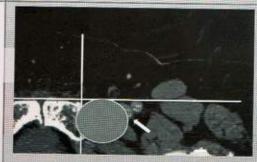
Par rapport au repère horizontal centré sur les épines du pubis, la hernie se trouve en situation antérieure et franchit le plan vertical centré par l'épine homolatérale



Hernie inguinale indirecte

#### Hernie crurale

Par rapport au repère orthogonal centré sur l'épine du pubis homolatérale, la hernie se trouve en situation postéro-latérale.



Hernie crurale, souvent à l'origine d'un effet de masse sur la veine fémorale (flèche)

#### **B** • OCCLUSIONS

## Occlusion colique

Critères de gravité :

- caecum diastatique > 12 cm
- · pneumatose pariétale
- · aéromésentérie ou aéroportie
- · défect de rehaussement pariétal
- pneumopéritoine

## Occlusion grêlique

Critères diagnostiques :

- · dilatation intestinale > 25-30 mm
- · jonction anse dilatée-anse plate

## IMAGERIE DIGESTIVE WWW.lemanip.com

#### C • APPENDICITE

Echographie

- Epaississement pariétal > 6 mm, hyperhémié
- · Infiltration graisseuse en regard
- · Stercolithe
- · Epanchement intra-péritonéal
- · Douleur au passage de la sonde



Appendicite aiguë Epaississement pariétal mesuré à 13 mm (double flèche) associé à une infiltration en regard (\*)

#### ANEVRISME DE L'AORTE ABDOMINALE

Anévrisme

- 3 cm
- · Perte du parallélisme pariétal

#### CANCER COLO-RECTAL : CLASSIFICATION TNM

	Tx	Tumeur non évaluable	
	TO	Pas de tumeur primitive décelable	
	Tis	Carcinome in situ : tumeur intra-épithéliale ou envahissant la lamina propria (intramuqueuse) sans extension à la sous-muqueuse à travers la muscularis mucosae	
Tumeur primitive (T)	T1	La tumeur envahit la sous-muqueuse sans la dépasser	
	T2	La tumeur envahit la musculeuse sans la dépasser	
	Т3	La tumeur envahit, à travers la musculeuse, la sous-séreuse (sans atteinte du revêtement mésothélial) et les tissus péricoliques non péritonisés ou le tissu périrectal	
	T4	La tumeur perfore le péritoine viscéral et/ou envahit les organes de voisinage	
	Nx	Statut ganglionnaire non évaluable	
Ganglions régionaux	NO	Absence de métastase ganglionnaire	
sangilons regionaux	N1	1 à 3 adénopathies régionales métastatiques	
	N2	4 ou plus adénopathies régionales métastatiques	
	Mx	Statut métastatique inconnu	
Métastases (M)	MO	Absence de métastase	
	M1	Métastases à distance (l'atteinte des ganglions iliaques externes ou iliaques)	

## www.lemanip.com Imagerie urologique

### 1 • REINS

#### A • TAILLE/VOLUME RENAL

Axe bipolaire (moyenne)

Hommes et femmes :

- Rein droit: 108.5 mm (DS 12.2 mm)
- Rein gauche 111.3 mm (DS 12.6 mm)

Hommes

- Rein droit: 112.0 (DS 11.6 mm)
- Rein gauche: 114.9 (DS 12.0 mm)

Femmes:

- Rein droit 103.8 (DS 11.1 mm)
- Rein gauche 106.3 (DS 11.5 mm)

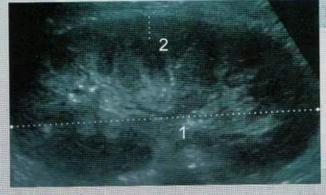
Epaisseur corticale

Moyenne: 6.6 mm (DS 2mm)

Volume rénal

Hommes: 202 +/- 36 ml

Femmes: 154 +/- 33 ml



Rein normal

- 1) axe bipolaire
- (2) épaisseur corticale

#### B • CALCUL

<3 mm

Pas de densité à mesurer

UH (à titre indicatif)

Densité élevée (> 1000 UH)

- · oxalate de calcium
- Brushite

Densité intermédiaire (entre 500 et 1000 UH)

- · cystine
- · struvite

Faible densité (<500 UH)

· acide urique

## 1 IMAGERIE UROLOGIQUE WWW. emanip.com

#### C • CLASSIFICATION DE BOSNIAK

Type I Kyste simple : Pas de surveillance	<ul> <li>Densité hydrique (-10 UH-20 UH)</li> <li>Homogène</li> <li>Limites régulières sans paroi visible</li> <li>Absence de rehaussement (△&lt;10 UH)</li> </ul>	
Type II Kyste remanié : Pas de surveillance	<ul> <li>Fines cloisons (≤ à 2 cloisons) sans paroi visible</li> <li>Fines calcifications pariétales ou d'une cloison</li> <li>Absence de rehaussement (Δ&lt;10 UH) ou rehaussement modéré d'une cloison fine</li> <li>Kyste sous capsulaire hyperdense &lt; 3 cm, spontanément hyperdense, homogène, limites régulières, absence de rehaussement</li> </ul>	- 3em - sous capsulaing
Type IIF Kyste remanié Kyste multiloculaire Tumeur kystique : Surveillance radiologique	<ul> <li>Fines cloisons (≥ 3)</li> <li>Fine paroi ≤ 1 mm, à la limite de la visibilité</li> <li>Lésion hyperdense ≥ 3 cm ou siège intra parenchymateux</li> <li>Epaisse calcification</li> <li>Absence de rehaussement ou rehaussement modéré (fine cloison, paroi)</li> </ul>	9999
Type III Kyste remanié Kyste multiloculaire Tumeur kystique Suspect : explora- tion chirurgicale	<ul> <li>Cloisons nombreuses et/ou épaisses</li> <li>Paroi épaisse, uniforme</li> <li>Discrètes irrégularités pariétales</li> <li>Calcifications épaisses et/ou irrégulières</li> <li>Rehaussement de la paroi ou des cloisons</li> </ul>	9191819
Type IV Carcinome kystique Carcinome nécrosé Néphrectomie	<ul> <li>Paroi épaisse, très irrégulière</li> <li>Végétations ou nodules muraux</li> <li>Rehaussement de la composante solide</li> </ul>	5 5 5

### D • POLYKYSTOSE AUTOSOMIQUE DOMINANTE : CRITERES SELON PEI ET AL.

Age	Diagnostic positif	Critères d'exclusion
15-39 ans	≥ 3 kystes uni ou bilatéraux	Exclusion impossible
40-59 ans	≥ 2 kystes par rein	< 2 kystes par rein
> 60 ans	≥ 4 kystes par rein	

### **E • LESIONS NON KYSTIQUES**

Rehaussement Rehaussement si modification de la densité >10UH		
LAHEIGHIVOHDOHE	>4 cm : risque de complication (prise en charge chirurgicale en général)	
	<4 cm et asymptomatique : prise en charge conservatrice en général	

#### F • TNM CANCER DU REIN

Т1	Tumeur intra-parenchymateuse < 7 cm  • T1a ≤ 4 cm de grand axe  • T1b > 4 cm de grand axe
T2	Tumeur intra-parenchymateuse > 7 cm  • T2a ≤ 10 cm de grand axe  • T2b > 10 cm de grand axe
Т3	Dépassant le rein, sans atteinte du fascia de Gerota  • T3a : envahissant la veine rénale ou ses branches segmentaires, la graisse du sinus rénal ou péri rénale  • T3b : envahissement de la veine cave (thrombus sous diaphragmatique)  • T3c : envahissement de la paroi de la veine cave inférieure ou thrombus sus diaphragmatique
T4	Dépassant le fascia de Gerota, incluant l'envahissement de contiguïté de la surrénale homolatérale.
N1	Ganglion unique <2 cm
N2	Ganglions multiples
M1	A distance

## 7 IMAGERIE UROLOGIQUEWWW.lemanip.com

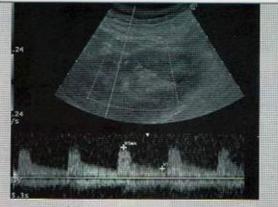
#### **G • DOPPLER GREFFON RENAL**

Artère rénale

• Vmax augmentée si >180-200 m/s (valeur discutée)
• Rapport avec artère iliaque augmenté si >3.5

• Normale : IR entre 0.60 et 0.80
• Vmax normale: 0.15 m/s environ

Index de résistance intra- parenchymateux



#### Doppler intraparenchymateux

#### **H • TRAUMATISME RENAL (CLASSIFICATION AAST)**

Grade 1	Contusion rénale     Hématome sous capsulaire non expansif sans lacération du parenchyme
Grade 2	<ul> <li>Lacération superficielle du cortex rénal &lt;1cm de profondeur sans atteinte du système collecteur (sans extravasation urinaire)</li> <li>Absence d'hématome péri-rénal expansif (hématome péri-rénal non expansif possible)</li> </ul>
Grade 3	Lacération du cortex rénal > 1cm de profondeur sans atteinte de la voie excrétrice (sans extravasation urinaire)
Type 4	<ul> <li>Lacération atteignant le système collecteur (extravasation)</li> <li>Lésions vasculaires segmentaires (artérielles ou veineuse) avec infarcissement rénal</li> <li>Lésions vasculaires pédiculaires (veine ou artère) avec hématome contenu</li> <li>Thrombose artérielle pédiculaire sur dissection</li> </ul>
Grade 5	Pronostic vital en jeu Thrombose artère rénale Avulsion du pédicule rénal Rein détruit, multifracturé

## 2 · VESSIE

## A • BIOMETRIE VESICALE CHEZ L'ENFANT

Volume	lxLxhx0.5
naissance	30 à 50 cc
1 an	50 à 100 cc
>1an	30x (âge+2)

## B • BIOMETRIE VESICALE CHEZ L'ADULTE

Résidu post mictionnel significatif	>50 ml
Capacité vésicale	Entre 300 et 600 ml chez l'adulte

#### C . PAROI

Epaississement >3 mm (en réplétion) en dehors des épaississements physiologiques (méats, col, détrusor)

#### **D • TNM CANCER DE VESSIE**

Ta, TIS, T1	Tumeur superficielle  • Ta : carcinome papillaire non invasif  • Tis : carcinome in situ plan  • T1: tumeur envahissant le chorion
T2	Atteint la musculeuse  • T2a : tumeur envahissant le muscle superficiel (moitié interne)  • T2b : tumeur envahissant le muscle profond (moitié externe)
Т3	Dépasse la musculeuse, envahissant le tissus péri-vésical  T3a : microscopique  T3b : envahissement extra vésical macroscopique
T4	Extension aux structures péri-vésicales  • T4a : prostate, utérus ou vagin  • T4b : paroi pelvienne ou abdominale
N1	Métastase ganglionnaire unique <2 cm
N2	Métastases ganglionnaires unique >2 cm <5 cm ou multiples < 5 cm
N3	Métastases ganglionnaires >5 cm
M1	Métastases à distance



## IMAGERIE UROLOGIQUEWWW. emanip.com

## 3 • VOIES EXCRETRICES SUPERIEURES

#### A • BASSINET

Adultes /enfants	Dilaté si > 10mm		
		Droite (mm)	Gauche (mm)
	Témoin	5 ± 1,7	4,5 ± 1,4
	11-15 SA	7,6 ± 3,0	6,2 ± 2
Femme enceinte	16-20 SA	8,9 ± 3,4	6,5 ± 2,6
. omine eneemite	21-25 SA	11,1 ± 4,0	7,2 ± 2,4
	26-30 SA	11,4 ± 4,7	8,8 ± 3,7
	31-35 SA	13 ± 5,0	8,1 ± 3,2
	36-40 SA	12 ± 5,2	9,6 ± 4,4



Dilatation des cavités pyélo-calcielles

#### B • TNM

Ta TIS et T1	Tumeur superficielle  • Ta : carcinome papillaire non invasif  • Tis : carcinome in situ  • T1 : tumeur envahissant le chorion
T2	Atteint la musculeuse
Т3	Dépasse la musculeuse  • Bassinet et calices : graisse péri-pyélique et parenchyme rénal  • Uretère : graisse péri urétérale
T4	Extension aux organes de voisinage ou graisse péri-rénale à travers le rein
N1	Métastases ganglionnaires unique > 2 cm <5 cm ou multiples < 5 cm
N2	Métastases ganglionnaires > 5 cm
M1	Métastases à distance

## 4 • TESTICULES

#### A • VOLUME

Volume

- . Longueur x Largeur x hauteur x0.71
- Normale: 16 ml (14-17 ml)
- Hypotrophie si <12 ml (<10 ml si on multiplie par 0.5 au lieu de 0,71)

#### **B** • MICROLITHIASES

Grade 1	<10 par coupe, rares, réparties en périphérie du testicule	
Grade 2	Entre 10 et 20 microlithiases par champ d'exploration (par coupe) : risque de cancer, surveillance annuelle	
Grade 3	>20 par champ d'exploration (par coupe) : risque de cancer, surveillance annuel	Grade 3

#### C • VARICOCELE

>3 mm

Dilatation veineuse



Dilatation veineuse

Grade 1	Reflux bref, < 3 s, non significatif
Grade 2	Reflux > 3 s avec manœuvres de Valsalva
	Reflux permanent au repos



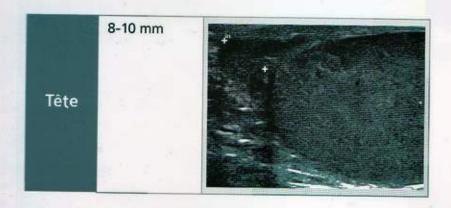


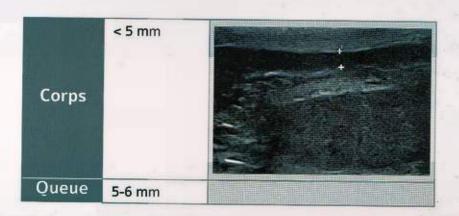
Varicocèle de grade 2
Elle apparait aux manœuvres de Valsalva
en doppler couleur



Varicocèle de grade 2
Reflux significatif en plateau > 3 s au doppler
pulsé lors des manœuvres de Valsalva

## 5 • EPIPIDYME





## 6 • INFECTIONS URINAIRES

#### **SEUIL ECBU**

Leucocyturie

- >10<sup>4</sup> UFC/ml
- **Bactéries**
- >10<sup>3</sup> UFC/ml
- (sauf chez la femme si enterobacter autre qu'E.Coli, entérocoque, C. urealyticum, S. aurus, P. Aeruginosa : seuil > 10<sup>4</sup> UFC /ml)



## IMAGERIE UROLOGIQUE WWW.lemanip.com

## 7 • PROSTATE

#### A · VOLUME

Volume

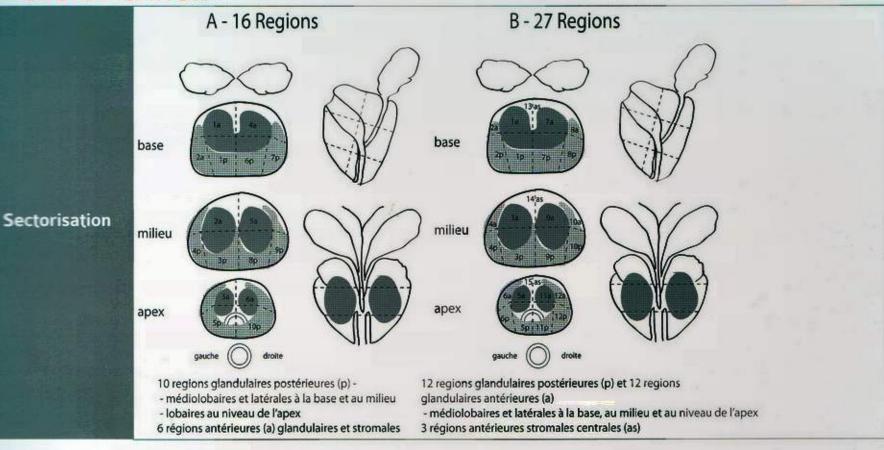
- Longueur x Largeur x Hauteur x 0,5
- · Volume moyen avant 40 ans : 20 ml (à titre indicatif)

#### B • TNM

M1	Métastases à distance  • M1a : Ganglions non régionaux  • M1b : Os  • M1c : Autres sites
M0	Absence de métastases à distance
N1	Atteinte ganglionnaire(s) régionale(s)
NO NO	Absence de métastase ganglionnaire
T4	Extension aux organes adjacents (col vésical, sphincter urétral, rectum, paroi pelvienne) ou tumeur fixée à la paroi pelvienne
Т3	Extension au-delà de la capsule  T3a: Extension extra-capsulaire  T3b: Extension aux vésicules séminales
T2	Tumeur limitée à la prostate (apex et capsule compris)  • T2a : Atteinte de la moitié d'un lobe ou moins  • T2b : Atteinte de plus de la moitié d'un lobe sans atteinte de l'autre lobe  • T2c : Atteinte des deux lobes
T1	Tumeur non palpable ou non visible en imagerie  • T1a < 5 % du tissu retiré  • T1b > 5 % du tissu retiré  • T1c : découverte par élévation du PSA et réalisation de biopsies positives

## www.lemanip.come urologique

#### C • SECTORISATION



#### D • SCORE PI-RADS

Score 1	Très faible risque de cancer cliniquement significatif
Score 2	Faible risque
Score 3	Risque équivoque
Score 4	Risque élevé
Score 5	Risque très élevé

## IMAGERIE UROLOGIQUE WWW. emanip.com

T2 (zone Périphérique)	<ul> <li>1- Hypersignal uniforme</li> <li>2- Hyposignal linéaire, triangulaire ou géographique habituellement mal défini</li> <li>3- Apparence intermédiaire entre 1/2 et 4/5 (n'appartient pas aux catégories 1/2 ni 4/5)</li> <li>4- Hyposignal discret, homogène, focal/masse limitée à la prostate</li> <li>5-Hyposignal discret focal homogène avec extension extracapsulaire ou de caractère invasif ou effet de masse sur la capsule (bombement) ou large contact (15 mm) avec la capsule</li> </ul>
T2 (zone de transition)	<ul> <li>1- Adénome de la zone de transition hétérogène à contours bien limités « chaos organisé »</li> <li>2- Zone d'hyposignal plus homogène, restant bien délimitée, provenant de la zone de transition/HBP</li> <li>3- Apparence intermédiaire 1/2 ou 4/5 (n'appartient pas aux catégories 1/2 ni 4/5)</li> <li>4- Zone d'hyposignal plus homogène, mal délimitée « comme effacée au fusain »</li> <li>5- idem 4, mais envahissant le stroma fibromusculaire antérieur ou la corne antérieure de la zone périphérique, habituellement lenticulaire ou en forme de goutte d'eau</li> </ul>
Diffusion	<ul> <li>1- Diffusion et ADC normaux. Pas de réduction d'ADC ni d'hypersignal à b élevé (b ≥ 800) (comparé au tissu glandulaire normal)</li> <li>2- Hypersignal diffus sur les séquences à b ≥ 800, avec ADC bas sans caractère focal en incluant cependant les anomalies de forme linéaire, triangulaire ou géométrique</li> <li>3- Apparence intermédiaire entre 1/2 et 4/5, (n'appartient pas aux catégories 1/2 ni 4/5)</li> <li>4- Zone focale avec ADC bas, mais isointense en Diffusion à b élevé</li> <li>5- Masse ou zone focale en hypersignal Diffusion avec ADC bas</li> </ul>
Perfusion	1- courbe de type 1     2- courbe de type 2     3- courbe de type 3     + 1 si lésion focale se rehaussant selon une courbe type 2 ou 3     + 1 lésion asymétrique OU lésion de localisation inhabituelle présentant une courbe type 2 ou 3
Score 5	Type 1  Type 2  Type 3

## www.lemanip.com Imagerie ORL

1 • Oreille

#### A • FOSSETTE COCHLEAIRE

Entre 1.5 et 3 mm

Taille



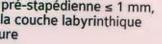
### **B** • OTOSPONGIOSE : CLASSIFICATION DE VEILLON

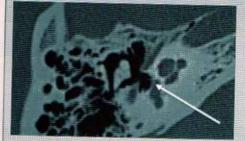
#### Type 0

Type 1

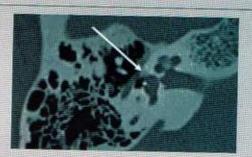
#### Absence d'anomalie

- 1A : platine épaissie (> 0,6 mm) et hypodense
- 1B : hypodensité pré-stapédienne ≤ 1 mm, sans extension à la couche labyrinthique moyenne antérieure





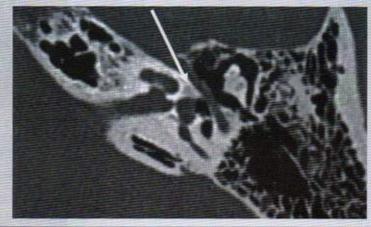
Type 1A



Type 1B

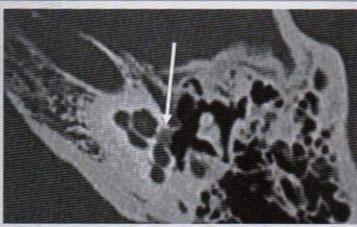
Hypodensité pré-stapédienne > 1 mm sans contact avec la lumière cochléaire

Type 2



Type 3

Hypodensité pré-stapédienne > 1 mm au contact de la périphérie de la lumière cochléaire



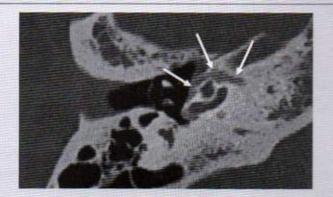
Type 4

4A: hypodensités péri-cochléaires: située en avant, en dedans ou au dessus de la lumière cochléaire, dans la couche moyenne de la capsule labyrinthique

4B : hypodensités labyrinthiques postérieures situées autours des canaux semi circulaires ou au contact de la partie médiale du vestibule



Type 4A



Type 4B

**IMAGERIE ORL** 

### C • NEURINOME CLASSIFICATION DE PORTMANN ET BEBEAR

Intracanalaire Stade

Débordant le porus, sans contact avec le tronc, <20 mm

Stade 2





Stade

Refoulant le tronc cérébral et développé jusqu'au trijumeau

Stade

Atteignant les nerfs mixtes. amputant la pointe du rocher, s'engageant dans l'incisure tentorielle et entrainant des signes d'hypertension intra crânienne.





#### D • NEURINOME CLASSIFICATION DE KOOS

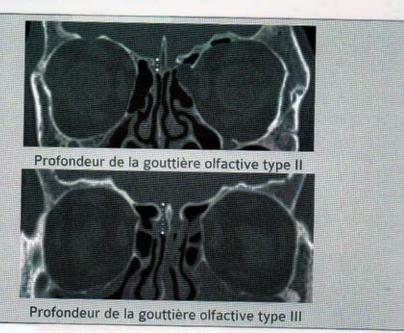
Stade 1	<10 mm	
Stade 2	10-20 mm	
Stade 3	20-30 mm	7 0
Stade 4	> 30 mm	



## 2 • SINUS DE LA FACE

# A • HAUTEUR DU TOIT DE L'ETHMOÏDE : PROFONDEUR DE LA GOUTTIERE OLFACTIVE: CLASSIFICATION DE KEROS

-	La profondeur de la gouttière olfactive est entre 1-3 mm, la lame papyracée au contact presque inexistante
U	La profondeur de la gouttière olfactive est entre 4 et 7 mm
	La profondeur de la gouttière olfactive est comprise entre 8 et 16 mm



### 8 • PNEUMATISATION DES SINUS DE LA FACE EN FONCTION DE L'AGE

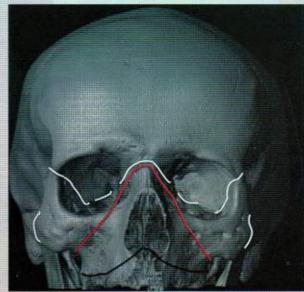
Naissance	Cellules ethmoïdales
18 mois	Début de pneumatisation des sinus maxillaires
3-4 ans	Sinus sphénoïdal
6-7ans	Sinus frontal





## 3 • TRAUMATISMES DE LA FACE : LE FORT

#### Rebord inférieur des fosses nasales (supra alvéolaire) sépare le palais osseux des structures sus jacentes intégrité des arcades zygomatiques et des parois Le fort orbitaires · trait au dessus de l'épine nasale du maxillaire et du plancher des sinus maxillaires · au dessous des cornets inférieurs, partie inférieure des apophyse ptérygoïdes Rebord inférieur du cadre orbitaire · fracture pyramidale Le fort · intégrité de l'arcade zygomatique III · trajet du trait : racine du nez, massif ethmoïdal, paroi interne et plancher de l'orbite, maxillaire, partie moyenne des apophyses ptérygoïdes Fracture de l'arcade zygomatique, dysjonction crâniofaciale, risque neurologique · détache l'os zygomatique · extension aux grandes et petites ailes du sphénoïde · trajet du trait : base de la pyramide nasale, massif ethmoïdal, orbite, suture fronto zygomatique et Le fort racine des apophyse ptérygoïdes 111





Le Fort I (noir) Le Fort II (rouge) Le Fort III (blanc)



## 4 • CAVUM

### HYPERTROPHIE DES VEGETATIONS ADENOÏDES

Mesure	<ul> <li>Epaisseur des végétations (V) rapportée à la distance entre le fond de la selle turcique et la face inférieur du sphénoïde (S)</li> <li>Normalement : V<s, de="" en="" fonction="" l'âge<="" li="" mais="" varie=""> </s,></li></ul>
Hypertrophie	<ul> <li>Bombement antérieur des parties molles (V&gt;S)</li> <li>Filière aérienne rétrécie (&lt;5 mm)</li> </ul>
Naissance	<ul> <li>0.5cm &lt; V &lt; 1 cm</li> <li>Partie molles, végétations, parallèles au plan osseux</li> </ul>
6 mois – 5 ans	<ul> <li>V &gt; épaisseur de la filière aérienne</li> <li>Convexité antérieure des parties molles</li> <li>Filière aérienne = 0.5 cm</li> </ul>
6 ans – 8 ans	V = épaisseur de la filière aérienne
Après 8 ans	<ul> <li>V &lt; filière aérienne</li> <li>V = 4 à 5 mm puis 2 à 3 mm</li> </ul>





Hypertrophie des végétation adénoïdes V>S

## 5 • LARYNX

#### **CLASSIFICATION UICC 2005 DES CARCINOMES LARYNGES**

100	Sus-glottique : tumeur limitée à une sous-localisation de l'étage sus-glottique, avec mobilité normale des cordes vocales.
	Glottique : tumeur limitée aux cordes vocales, avec mobilité normale, pouvant envahir la commissure antérieure ou
T1	postérieure :  • T1a : tumeur limitée à une corde vocale
	T1b : tumeur envahissant les deux cordes vocales
	Sous-glottique : tumeur limitée à l'étage sous-glottique, mobilité laryngée normale.
773	T2 sus-glottique : tumeur avec envahissement de la muqueuse de plus d'une sous- localisation, adjacente de l'étage sus-glottique, glottique ou extra-glottique, (muqueuse de la base de langue, vallécule, paroi interne du sinus piriforme) sans, fixation des cordes vocales.
T2	T2 glottique : tumeur glottique avec extension aux régions sus ou sous-glottiques et/ou diminution de la mobilité glottique (sans fixité laryngée).
	T2 sous-glottique : tumeur sous-glottique étendue aux cordes vocales, mobilité normale ou diminuée.
ТЗ	Tumeur limitée au larynx avec fixité glottique et/ou envahissement de la région rétro-cricoïdienne, de la loge pré-épiglottique (H.T.E.), de l'espace para-glottique et/ou érosion minime (périchondre interne) du cartilage thyroïde.
T4	T4a: tumeur envahissant le cartilage thyroïde et/ou envahissant des structures extra-laryngées: trachée, tissus mous du cou (incluant la musculature profonde et extrinsèque de la langue: génioglosse, hyoglosse, palatoglosse et styloglosse), les muscles sous-hyoïdiens, la glande thyroïde, l'oesophage.
	T4b : Tumeur envahissant l'espace pré-vertébral, les structures médiastinales ou atteignant l'artère carotide.

# Gratuittement

www.lemanip.com

Radiologie et imagerie medicale

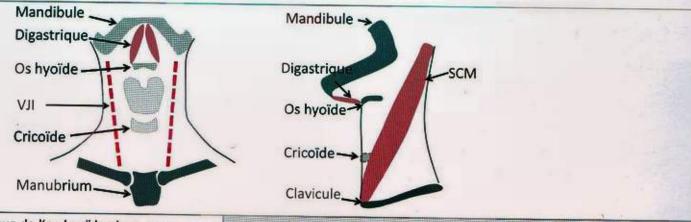


Livres, memoires, rapport de stage, courses, radiologie conventionnelle, Scanner, TDM, IRM, Scintigraphie, Medecine nucleaire, Radiotherapie, Radiologie Interventionnelle, Oncologie, Clichees, Cas interpretes, exposes, medecine

https://www.lemanip.com/



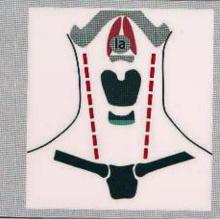
### 6 • AIRES GANGLIONNAIRES



Groupe

Groupe I : au dessus de l'os hyoïde aires sousmentonnières et sous-maxillaires

- la : internes entre les berges internes et les ventres antérieurs du digastrique (anciennement chaîne sous mentale)
- Ib : latérale, de chaque côté en dehors et en avant de la partie postérieure de la glande sous mandibulaire (anciennement chaîne sous mandibulaire)





IMAGERIE ORL



Groupe II	Groupe jugulaire supérieur, au dessus de l'os hyoïde, comporte les ganglions, sous-digastriques et les ganglions spinaux, supérieurs  • Ila : en avant, en dedans, en dehors ou postérieur à la veine jugulaire interne (anciennement chaîne sous digastrique), au contact de la veine jugulaire interne sans interface  • Ilb :postérieur à la veine jugulaire interne, avec séparation par un plan graisseux (anciennement chaîne spinale accessoire supérieure ou rétro spinale)	VJI
Groupe III	Groupe III : entre l'os hyoïde et le cricoïde, en avant de la partie postérieure du SCM, (anciennement chaîne jugulaire moyenne)	
Groupe IV	le groupe jugulaire inférieur, entre le cricoïde et la clavicule, antérieur	
Groupe V	Groupe V : il correspond à la chaîne spinale dans le triangle postérieur (en postérieur du SCM, en avant du muscle trapèze)  • Va : base du crâne au cartilage cricoïde  • Vb : de la partie inférieure du cartilage cricoïde jusqu'au clavicules	Wa Muscle trapèze
Groupe VI	Le groupe cervical antérieur comporte les ganglions compris entre l'os hyoïde en haut et le manubrium sternal en bas, (anciennement chaîne ganglionnaire viscérale), limité en dehors par le bord interne de chaque carotide	carotide

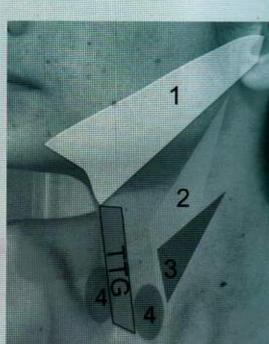
### IMAGERIE OR WWW.lemanip.com

### 7 • KYSTE, FISTULES ET SINUS BRANCHIAUX

#### Kystes développés dans la parotide Fistules: · orifice externe dans le triangle de Poncet (conduit auditif externe-bord 1er arc basilaire de la mandibule-os hyoïde) branchial · trajet parallèle au conduit auditif externe orifice interne dans le plancher du conduit auditif externe Sinus: idem fistule, un seul orifice Kvste · En dehors des vaisseaux carotidiens/jugulaires en avant du muscle sterno-cléido-mastoïdien · refoule le muscle sterno-cléido-mastoïdien en arrière et dehors artère carotide et veine jugulaire refoulées en dedans · glande sous mandibulaire refoulée en avant · classification de Bailey 2<sup>ème</sup> arc Type I: kyste superficiel, sous l'aponévrose cervicale superficielle en avant branchial du muscle sterno-cléïdo-mastoïdien · Type II (le plus fréquent): kyste sous l'aponévrose cervicale movenne, en région pré-vasculaire, en avant et en dehors des gros vaisseaux. · Type III: kyste inter vasculaire, dans la fourche entre les artères carotides interne et extene · Type IV: kyste intra vasculaire Fistule : ouverture le long du bord antérieur du muscle sterno-cléïdo-mastoïdien Rare Kyste: diagnostic difficile avec deuxième arc surtout pour les kystes bas situés. Les kystes du 3eme arc haut situés ont une situation para-laryngée. 3eme arc branchial Fistule: · orifice externe identique au second arc

· trajet interne postérieur aux artères carotides interne et externe

· ouverture dans le sinus pyriforme



Représentation générale des kystes, fistules et sinus des 1° (1), 2ème (2), 3ème (3), 4ème arcs branchiaux et du tractus thyréoglosse (TTG).

IMAGERIE ORL

6		7
Т	Э	
С	0	
╚	-4	-
	2	8

K	yste	THE OIL	6
	rare accolé à la thyroïde		
	stule ouverture dans le fond du sinus piriforme prédominance		
thyréo-	rste : médian enchâssé dans les muscles para ou infra hyoïdien, au contact de l'os hyoïde		

### 8 • PAROTIDE

### A • ADC (A TITRE INDICATIF)

Très bas < 0.8, x 10 <sup>-3</sup> mm <sup>2</sup> /sec	Lymphome     Kyste épidermoïde	
Bas < 1.2 x 10 <sup>-3</sup> mm <sup>2</sup> /sec	<ul> <li>Tumeurs malignes</li> <li>Tumeur de Warthin = cystadénolymphome</li> <li>Lipome</li> </ul>	
Elevé > 1.2 x 10 <sup>-3</sup> mm²/sec	Adénome pléomorphe     Autres types d'adénomes     Tumeur kystique	

### 8 IMAGERIE OR WW. lemanip.com

**B • PERFUSION (A TITRE INDICATIF)** 

Type A	Pic retardé avec rehaussement progressif des adénomes pléomorphes et des adénomes à cellules basales	Rehaussement (%)
Туре В	Pic précoce et lavage rapide : essentiellement les cystadénolymphomes	
Type C	Pic précoce et lavage progressif : plutôt les tumeurs malignes	В
Type D	Plateau sans rehaussement significatif : lésion kystique	
,,,,,		60 180 240 Temps (

# www.lemanip.com Imagerie endocrinienne

### 1 • THYROIDE

#### A . GOITRE

Volume	Largeur x épaisseur x hauteur x 0,5	
Hommes	> 20 mL	
Femmes	> 18 mL	
Adolescents	> 16 mL	

#### **B** • BIOMETRIE ENFANT

Taille (cm)	Volume thyroïdien (cm³)
≤99	2,3 ± 0,7
100-109	3,3 ± 1,0
110-119	4,1 ± 1,1
120-129	4,9 ± 1,1
130-139	6,3 ± 2,0
140-149	7,4 ± 2,2
150-159	8,5 ± 2,3
≥160	10,9 ± 2,5

#### C • VASCULARISATION

**Normale** 

< 40m/S

#### D • SCANNER

Densité spontanée

> 80 UH/S

### IMAGERIE ENDOCRINIEN WEWW. EMANIP.COM

#### **E • SCORE TIRADS**

1	Examen normal
2	Bénin :  • Kyste simple  • Nodule spongiforme  • "White knight"  • Macrocalcification isolée  • Thyroïdite subaigüe typique  • Amas isoéchogènes confluents
3	Très probablement bénin :  • Aucun des cinq signes forts  • Isoéchogène  • Hyperéchogène
4A	Faible suspicion de malignité :  • aucun des cinq signes forts • modérément hypoéchogène
4B	Forte suspicion de malignité :  Pas de ganglion suspects et 1 ou 2 signes parmi :  • Plus épais que large  • Contours anguleux, lobulés ou irréguliers  • Microcalcifications  • Fortement hypoéchogène  • Indice de rigidité élevé en élastographie
5	Pratiquement certainement malin :  3 à 5 signes parmi la liste ce dessous et/ou ganglion suspect :  • Plus épais que large  • Contours anguleux ou lobulés  • Microcalcifications  • Fortement hypoéchogène  • Indice de rigidité élevé en élastographie



TIRADS 4b Nodule aux contours lobulés

# www.lemanip.com MAGERIE ENDOCRINIENNE



#### F • MALADIE DE BASEDOW

Echographie

- Goître hypoéchogène
- · Fines réticulations
- Hypervascularisation intense (vitesse systolique > 1 m/s)

West A 1045 mm 1045 mm

Maladie de Basedow
Hypervascularisation
intense avec une vitesse
systolique estimée à
1,15 m/s

### 2 • PARATHYROIDES

Para-thyroïde normale

Non visible

Adénome para-thyroïdien

- Densité spontanée < 80 UH (aux alentours de 45 UH en général)
- Densité à 45s >130 UH (lésion hypervasculaire)
- Densité entre 45 et 70 s : Wash-out rapide > 20 UH
- Hyposignal T1 / hypersignal T2 avec prise de contraste intense et précoce et wash-out rapide
- A différencier de la thyroïde (densité spontanée >80 UH) et des ganglions (faible prise de contraste progressive et constante sans wash out)



Adénome parathyroïdien gauche



IMAGERIE ENDOCRINIENNE

### 3 • SURRENALES

#### A • SCANNER

Densité spontanée

- < -30 UH : myélolipome</li>
- · 0 UH : kyste
- <10 UH : adénome (hors contexte de néoplasie)
- > 10 UH : poursuivre les examens

! cas à part : lésions nécrotiques ou > 4cm

Wash out

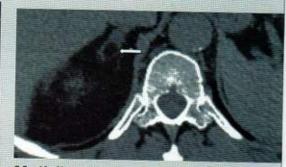
 $(UH_{portal} - UH_{tardif}) \times 100 / UH_{portal}$ 

Temps tardif à 10-15min

- si > 40 UH : en faveur d'un adénome
- si <40 UH :?</li>



Adénome gauche Nodule surrénalien gauche de densité spontanée < 10 UH



Myélolipome Nodule surrénalien droit de densité spontanée < -30 UH

#### B • IRM

Séquences in et out phase

(Signal - Signal outphase) x100 / Signal inphase

Si chute du signal > 20%, en faveur d'un adénome (graisse intra cellulaire)



Adénome surrénalien Important chute du signal en out of phase



#### C . NEM

NEM I	Parathyroïdes  Hyperplasie des parathyroïdes, Pancréas (lésions malignes fréquentes) Gastrinomes multiples localisation pancréatique et extra-pancréatique Insulinomes multifocaux Plus rares: vipome, glucagonome, somatostatinome, tumeur à polypeptide pancréatique, à GRF Hypophyse Adénome à PRL, à GH, et plus rarement non sécrétants, à ACTH à TSH Corticosurrénale multi-adénomes ou hyperplasie, bilatérale Thyroïde: goitre dystrophique, adénome Autres atteintes plus rares  Carcinoïdes et tumours applasique branchismes de la contraction de la contract
	<ul> <li>Carcinoïdes et tumeurs anaplasique bronchiques, thymique, gastrique d'abord, plus rarement grêle et appendic</li> <li>Lipomes multiples</li> <li>Tumeurs de l'ovaire, testiculaires très rares</li> </ul>
NEM II	Cancer médullaire de la thyroïde     Phéochromocytome     Hyperparathyroïdie (IIa)

### 4 • HYPOPHYSE

#### A . BIOMETRIE

Hypophyse	<ul> <li>A la naissance : hyper signal T1 (même signal que la post hypophyse)</li> <li>1er mois de vie : l'hyper signal diminue</li> <li>2ème mois de vie: aspect adulte</li> <li>la hauteur hypophysaire</li> <li>homme : 6 - 7 mm</li> <li>Femme : 9 - 10 mm</li> <li>hypoplasie si hauteur hypophysaire &lt; 2mm</li> <li>grossesse :+0,08 mm / semaine</li> <li>post partum : retour à la taille physiologique dans les premières semaines</li> </ul>
Tige pituitaire	Toujours visible     Comprise entre 1 et 2 mm

#### **B** • ADENOME

Micro-adénome • < 10 mm	
Wilci o-adenome	• < 10 mm
Macro-adénome	• > 10 mm

# Gratuittement

www.lemanip.com

Radiologie et imagerie medicale



Livres, memoires, rapport de stage, courses, radiologie conventionnelle, Scanner, TDM, IRM, Scintigraphie, Medecine nucleaire, Radiotherapie, Radiologie Interventionnelle, Oncologie, Clichees, Cas interpretes, exposes, medecine

https://www.lemanip.com/

# www.lemanip.com Onco-radiologie (10)

### 1 • CRITERES RECIST

	Lésion cible	<ul> <li>Participe à la somme des plus grands diamètres (SPD)</li> <li>Maximum 5 (et maximum 2-3 par organe) Taille &gt; 10 mm, contours nets (préciser le niveau de coupe dans le compte-rendu)</li> <li>Ganglion (petit axe) &gt; 15 mm</li> </ul>
Choix des	Lésion non cible	Mesurable mais non choisie comme cible, évaluable mais non mesurable
lésions	Lésion non évaluable, non mesurable	• Lymphangite, épanchement, métastase osseuse : à signaler mais n'entrent pas dans les critères de réponse
	Ganglion: petit axe	15 mm : peut être une cible     10-15 mm : non cible     < 10 mm = normal
	Réponse complète (RC)	<ul> <li>Disparition de toutes les lésions cibles ou non cibles par rapport à la baseline</li> <li>Pas d'apparition de nouvelles lésions</li> <li>Non nulle si ganglion &lt;10 mm</li> </ul>
Evalua- tion	Réponse partielle (RP)	<ul> <li>Diminution &gt; 30% de la somme des plus grands diamètres par rapport à la baseline</li> <li>Stabilité ou régression des lésions non cibles</li> <li>Pas de nouvelle lésion</li> </ul>
	Progression	Augmentation >20% de la somme des plus grands diamètres (augmentation de plus de 5 mm minimum) par rapport au Nadir
	Stabilité	<ul> <li>Ni réponse, ni progression</li> <li>Diminution inférieure à 30% de la somme des plus grands diamètres par rapport à la baseline OU</li> <li>Augmentation inférieure à 20% par rapport au Nadir</li> </ul>



#### **BIBLIOGRAPHIE**

#### **IMAGERIE DE LA FEMME**

- Chaumoitre K, et al. Imagerie des malformations utérines. Congrès JFR 2013.
- Classification en six catégories des images mammographiques en fonction du degré de suspicion de leur caractère pathologique (en dehors des images construites et des variantes du normal) correspondance avec le système BIRADS de l'American College of Radiology (ACR). ANAES / Service des recommandations et références professionnelles / Février 2002.
- Grange G, Pannier E, Goffinet F, Cabrol D, Zorn JR. Dating biometry during the first trimester: accuracy of an every-day practice. Eur J Obstet Gynecol Reprod Biol 2000; 88: 61-4.
- Guide-Affection de longue durée. Tumeur maligne, affection maligne du tissu lymphatique ou hématopoïétique. Cancer de l'endomètre.
   Décembre 2010
- Guide-Affection de longue durée. Tumeur maligne, affection maligne du tissu lymphatique ou hématopoïétique. Cancer invasif du col utérin. Janvier 2010
- Jonard S et coll. Ultrasound examination of polycystic ovaries: is it worth counting the follicles? Hum Reprod 2003 Mar; 18(3):598-603
- Legendre G, Levaillant JM, et al. 3D ultrasound to assess the position of tubal sterilization microinserts. Human Reproduction, Vol.26, No.10 pp. 2683–2689, 2011.
- Jalaguier-Coudray A, Tardivon A, et al. L'IRM mammaire pour les nuls. Paris France. Congrès JFR 2009.
- Munro MG, Critchley HOD, et al. FIGO classification system (PALM-COEIN) for causes of abnormal uterine bleeding in nongravid women
  of reproductive age. International Journal of Gynecology and Obstetrics 2011;113:3–13.
- Mestdagh P, Poncelet E, et al. Statique pelvienne IRM au delà de la biométrie : analyse fonctionnelle multidisciplinaire des compartiments antérieur et moyen. Congrès JFR 2009.
- Robinson HP. Sonar measurement of fetal crown-rump length as means of assessing maturity in first trimester of pregnancy. Br Med J 1973;4:28-31.

#### PEDIATRIE

- Allali N, El Ounani F, et al. Apport de l'imagerie dans la prise en charge des occlusions digestives néonatales. JFR 2010.
- American Academy of Pediatrics. Clinical practice guideline: early detection of developmental dysplasia of the hip. Pediatrics 2000;105(4 Pt 1):896-905.
- Cotten A. et al. Imagerie de la pathologie ostéo-articulaire : Séméiologie pratique, ed. Masson.
- Czarnecki E, Mestdagh P, et al. Principaux repères biométriques et angulaires chez l'enfant. Congrès JFR 2007.
- Diard F. et coll. Imagerie des scolioses de l'enfant et de l'adolescent. Feuillets de radiologie, 2002; tome 83, n°9:p 1117-1139
- Ferey S, Merzoug V. The acutely limping child. J Radiol 2011;92:495-505.
- Peck D. Slipped capital femoral epiphysis: diagnostic and management. Am Fam Physician 2010; 82:258-262.
- Garabédian E.N., Bobin S, Monteil J.P., Triglia J.M., ORL de l'enfant. Paris, Médecine Sciences, Flammarion, 1996:81-141.

- Kohler R, Dohin B, Canterino I, Pouillaude JM. Dépistage de la luxation congénitale de hanche chez le nourrisson. Un examen clinique systématique rigoureux. Un recours sélectif à l'échographie. Arch Pédiatr 2003;10 (10):913-26
- Konus OL, Ozdemir A, Akkaya A, et al. Normal liver, spleen, and kidney dimensions in neonates, infants, and children: evaluation with sonography. AJR. 1998;171:1693-1698
- · Penneçot GF. Epiphysiolyse fémorale supérieure. Enclyc Méd Chir (Elsevier, Paris).
- Rosenberg KH, Markowitz RI, Kolberg H, et al. Normal splenic size in enfants and children: sonographic measurements. AJR Am J Roentgenol. 1991; 157:119-121
- · Serine R. Dysplasies et luxations congénitales de hanche. Enclyc Méd Chir (Elsevier, Paris).
- Strouse PJ. Caffey's Pediatric diagnostic imaging, Slovis TL, 11th edition, Mosby Elsevie 2007, Section VII: Musculoskeletal System, Chapter 170: Skeletal Trauma, Slipped Capital Femoral Epiphysis: p2798-2800.
- Witcombe J.B, Cremin B.J. The width of the common bile duct in childhood. Pediat.Radiol, 1978, 7, 147-149

#### **IMAGERIE OSTEO-ARTICULAIRE**

#### Membre inférieur

#### Cheville

- Cotten A. Imagerie musculo-squelettique: pathologies locorégionales. Issy-les-Moulineaux Masson; 2008.
- Curvale G, Rochwerger A. Pied creux. Encycl Med Chir, Appareil locomoteur, 14-112-A-10, Podologie, 27-060-A-20, 2002, 13 p.
- Godefroy D. Bilan radiologique arrière-pied et cheville. Imagerie du pied et de la cheville. Issy-les-Moulineaux: Elsevier Masson; 2010.
- Piat C, Goutallier D. Pied plat valgus et synostose du tarse. In Bouysset Méd Pathologie ostéo-articulaire du pied et de la cheville, Paris, Springer 2000. P 205-20.
- Tomeno B. pied plat, pied creux de l'adulte. Imagerie du pied et de la cheville. Issy-les-Moulineaux : Elsevier Masson, 2010.
- Wybier M, Mathieu P, Morvan G et al. Radiologie osseuse : cheville et pied de l'adulte. J Radiol, mai 2008 ;89 :711-24.

#### Genou

- Bach CM, Steingruber IE, Peer S, Nogler M, Wimmer C, Ogon M. Radiographic assessment in total knee arthroplasty. Clin Orthop. 2001 Apr. ;385:144-50.
- Cotten A. Imagerie musculo-squelettique: pathologies locorégionales. Issy-les-Moulineaux Masson; 2008.
- Dejour H. Instabilités de la patella . Enclyc Méd Chir (Elsevier, Paris).
- Dejour H, Walch G, Neyret P, Adeleine P. Dysplasia of the femoral trochlea. Rev Chir Orthop Reparatrice Appar Mot. 1990; 76(1):45-54.
- Deltour F, Ceccaldi JP. La radiographie dynamique dans l'étude des ruptures du LCA et du LCP. 2001
- Malghem J. Lésions méniscales élémentaires. Actualités en imagerie du genou. 2004.
- De Smet AA. How I diagnose meniscal tears on knee MRI. AJR Am J Roentgenol 2012; 199(3): 481-499.

### www.<mark>emanip.com</mark>

- Molina E. Imagerie des prothèses de genou. Congrès JFR 2007.
- Subhas N, Sakamoto FA, Mariscalo MW, Polster JM, Obuchowski NA, Jones MH. Accuracy of MRI in the diagnosis of meniscal tears in older patients. AJR Am J Roentgenol 2012; 198(6): W575-W580.
- Victor J. Rotational alignment of the distal femur :a literature review. Orthop Traumatol Surg Res. 2009 Sep. ;95(5):365-72.

#### Hanche

- Le Breton C. Imagerie de la hanche normale et pathologique. Encycl Méd Chir (Elsevier Paris).
- Lequesne M, Morvan G. Description of the potential of an arthrometer for standard and reduced radiographs suitable to measurement of angles and segments of hip. Joint Bone Spine 2002 May; 69 (2):282-92.
- Bellaiche L, Lequesne M, Gédouin J-E, Laude F, Boyer T, la Société française d'arthroscopie. Imaging data in a prospective series of adult hip pain in under 50-years old. Orthop Traumatrol Surg Res. 2010 DEC; 96(8 Suppl): S53-8.
- Kim HK, et al. Pathogenesis of metaphyseal radiolucent changes following ischemic necrosis of the capital femoral epiphysis in immature pigs. A preliminary report. J Bone Joint Surg Am 2004;86-A:129-135.
- Notzli HP, et al. The contour of the femoral head-neck junction as a predictor for the risk of anterior impingement. J Bone joint Surg Br 2002 May;84(4):556-60.
- Ito K, Minka-li Ma, Leunig M, Werlen S, Ganz R. Femoro-acetabular impingement and the cam-effect. A MRI v-based quantitative anatomical study of the femoral head-neck offset. J Bone Joint Surg 2001;83-B:171-76.
- Engh CA, Griffin WL, Marx CL. Cementless acetabular components. J Bone Joint Surg Br 1990;72:53-59.
- Morvan G MP, Vuillemin V, Wybier M, Busson J. Les clichés simples et l'échographie dans les prothèses de hanche douloureuses. In Bassin et hanche Montpellier: Sauramps Médical, 2007.
- Thevenin F, Campagna R, Guerini H, Poitevin X, Feydy A, Drape JL, Chevrot A. imagerie des prothèses de hanche, EMC Radiodiagnostic: squelette normal- appareil locomoteur, 2007.
- Mian SW, Truchly G, Pflum FA. Computed tomography measurement of acetabular cup anteversion and retroversion in total hip arthroplasty. Clin Orthop Relat Res 1992:206-209.

#### Membre supérieur

#### **Epaule**

- Brox JL, Lereim P, Merckoll E. Finnanger AM Radiographic classification of glenohumeral arthrosis. Acta orthop Scan 2003;74:186-189.
- Carillon Y. Imagerie de la capsulite retractile d'épaulz. L'épaule : une approche pluridisciplinaire. GeL-GETROA. Montpellier, Sauramps, 2005, p. 389-393.
- Connell D, Padmanabhan R, Buchbinder R. Adhesive capsulitis: role of MR imaging in differential diagnosis. Eur Radiol 2002; 12: 2100-2106.
- Epstein RE, Schweitzer ME, Frideman BG et al. Hooked acromion: prevalence on MR images of painful shoulders. Radiology 1993
  ;187:479.

- Goutallier D, Postel JM, Bernageau J, Lavau L, Voisin MC. La dégénérescence graisseuse des muscles ds coiffes tendineuses rompues de l'épaule. Rev Rhum 1995 ;62:439-446.
- Kellgren JH, Lawrence JS. Radiological assessment of osteoarthrosis. Ann Rheum Dis 1957;16:494-502.
- · Laredo JD. Imagerie rhumatologique et orthopédique : Rachis, ceinture scapulaire et membre supérieur. Montpellier Sauramps; 2013.
- Lee JC, Sykes C, saifuddin A, Connell D. Adhesive capsulitis: sonographic changes in the rotator cuff interval with arthroscopic correlation. Skeletal Radiol 2005;34:522-527.
- Nam EK, Snyder SJ. The diagnosis and treatment of superior labrum, anterior and posterior (SLAP) lesions. Am J Sports Med 2003 ;31:798-810
- Sarrat P, Cohen M, Carrasset S, Godde J, Franceschi JP, Aswad R
- Snyder SJ, Karzel RP, Del Pizzo X, Ferkel RD, Friedman MJ. SLAP lesions of the shoulder. Arthroscopy 1990;6:274-279.
- Warner JJP, Higgins L, Parsons IV M et al. Diagnosis and treatment of anterosuperior rotator cuff tears. J Shoulder Elbow Surg 2001;10:37-46

#### Coude/ Poignet/Doigt

- Ahuja NK, Chung KC, Fritz de Quervain, et al. Stenosing tendovaginitis at the radial styloid process. The Journal of hand surgery 2004;29:1164-70.
- Allan CH, Joshi a, lichtman DM. Kienbock's disease: diagnosis and treatment. J Am Acad Orthop Surg 2001; 9:128-136.
- Gilula LA. Carpal injuries: analytic approach and case exercises. American journal of roentgenology 1979;133:503-17.
- Klauser A, Stadlbauer KH, et al. Value of transducer positions in the measurement of finger flexor tendon thickness by sonography. J Ultrasound Med. 2004 Mar;23(3):331-7.
- Kushner DM, Braunstein EM, Buckwalter KA, Krohn K, White HA. Carpal instability in rheumatoid arthritis. Canadian Association of Radiologists journal 1993; 44:291-5.
- · Laredo JD. Imagerie rhumatologique et orthopédique : Rachis, ceinture scapulaire et membre supérieur. Montpellier Sauramps ; 2013.
- Linscheid RL, Dobyns JH,. Dynamic carpal stability. The Keio journal of medicine 2002; 51:140-7.
- Sans N, Railhac JJ. Coude: radiographies standard. J Radiol, mai 2008; 89:633-8.

#### Squelette axial

- Carlier RY. Le rachis du sujet jeune : une approche multidisciplinaire. Montpellier Sauramps ; 2011.
- Cobb JR. The problem of the primary curve. J Bone Joint Surg Am. 1960;42-A:1413-25.
- · Cotten A. Imagerie musculo-squelettique : pathologies locorégionales. Issy-les-Moulineaux Masson ; 2008.
- · Cotten A. Imagerie musculo-squelettique : pathologies régionales. Issy-les-Moulineau Masson ; 2008.
- · Coussement A. Repères et mesures en radiodiagnostic. Paris : Expansion scientifique française ; 1980.
- Dietemann JL. Spondylolistesis. In: Imagerie du rachis Iombaire. Masson, Paris, 1994.
- Duval-Beaurpere G, Schmidt C, Cosson P. A Barycentimetric study of the sagittal shape of spine and pelvic: the conditions required for an
  economic standing position. Ann Biomed Eng. 1992;20:451-62.

- Laredo JD. Imagerie rhumatologique et orthopédique : Rachis, ceinture scapulaire et membre supérieur. Montpellier Sauramps ; 2013.
- Legaye J, Duval-Beaurepere G, Hecquet J, Marty C. Pelvic incidnce: a fundamental pelvic parameter for three-dimensional regulation of spinal sagittal curves. Eur Spine J. 1998;7-99\_103.
- Sachs B, et al. Scheuermann kyphosis: follow-up of Milwaukee brace treatment. J Bone Joint Surg Am 1987;69:50-57.
- · Serra-Tosio G. Repères et mesures en imagerie ostéo-articulaire. Issy-les-Moulineaux Masson ; 2011.
- Sorenson KH. scheuermann's juvenile Kyphosis. Muksgaard, Copenhagen, 1964; 214-222.

#### **IMAGERIE CARDIO-THORACIQUE**

- Belamine M, Moussali N, et al. Atlas iconographique des aires ganglionnaires médiastinales: radio- anatomie normale et pathologique.
   Congrès JFR 2013.
- de Heer LM, et al. Multidetector row computed tomography assessment of the native aortic and mitral valve: a call for routine assessment of left-sided heart valves during coronary computed tomography. Cardiol Rev2012;20(5):222-9.
- Eichwald F, Bensalah M, Mousseaux E. Proposition d'une standardisation des mesures des dimensions de l'aorte thoracique en IRM et se valeurs normales chez 35 témoins. Congrès SFR 2008.
- Entezari P, et al. Analysis of the thoracic aorta using a semi-automated post processing tool. European Journal of Radiology 2013;82:1558–1564.
- Kim H, Park CM, et al. Pulmonary subsolid nodules: what radiologists need to know about the imaging features and management strategy. Diagn Interv Radiol. 2014;20(1):47-57.
- MacMahon H, Austin JH, Gamsu G, et al. Guidelines for management of small pulmonary nodules detected on CT scans. A statement from the Fleischner society. Radiology 2005; 237:395-400
- Recommendations for the management of subsolid pulmonary nodules detected at CT: a statement from the Fleischner Society. Radiolog 2013;266(1):304-17
- Rusch VW, et al. The IASLC lung cancer staging project: a proposal for a new international lymph node map in the forthcoming seventh
  edition of the TNM classification for lung cancer. J Thorac Oncol. 2009 May; 4(5):568-77.

#### **NEURORADIOLOGIE**

- Ammari S, Bidault F, et al. Méthodes d'évaluation de la réponse tumorale des glioblastomes. Congrès JFR 2013.
- Ando K, Ishikura R, Ogawa M, Shakudo M, Tanaka H, Minagawa K, Takada Y, Yamamoto S, Fujiwara M, Hirota S. Neuroradiology2007;49(12):1033-9.
- Frontera JA, Claasen J, Schmidt JM, Wartenberg KE, Temes R, Connolly ES, Loch Macdonald R, Mayer SA. Prediction of symtomatic vasospasm after subarachnoid haemorrhage: the modified Fisher scale. Neurosurgery 2006,58(7):21-27
- Noel G, Guillevin R. Delineation of glioblastoma, simplicity to complexity, the contribution of imaging. Cancer Radiother 2011;15(6-7):484
- Polman CH, et al. Revisions MS Diagnosis. Annals of Neurology, 2010.
- · Scheltens P, Leys D, et al. Atrophy of medial temporal lobes on MRI in «probable» Alzheimer's disease and normal ageing: diagnostic

walue and neuropsychological correlates. J Neurol Neurosurg Psychiatry 1992;55:967-972 doi:10.1136/jnnp.55.10.967

- \* Spetzler r. Martin N., A proposed grading system for arteriovenous malformatio, J. Neurosurg. 65, P.476-483, 1986.
- Zabramski JM, Wascher TM, Spetzler RF et al. The natural history of familiar cavernous malformations:results of an ongoing study. J Neurosurg 1994; 80: 422-432.

#### **IMAGERIE DIGESTIVE**

- Balthazar EJ. Staging of acute pancreatitis. Radiol Clin North Am. 2002;40(6):1199-209.
- Bruix J, Sherman M; American Association for the Study of Liver Diseases. Management of Hepatocellular Carcinoma: An update
  Hepatology. 2011; 53:1020-2.Da Costa C, Cauchy F, et al. Ce que vous avez toujours voulu savoir sur la segmentation hépatique. Paris France. Congrès JFR 2013.
- Denys A, Chevallier P, et al. Anatomie du foie : tomodensitométrie et imagerie par résonance magnétique. Journal de Radiologie 2002 ;83 :247-253.
- Guide-Affection de longue durée. Tumeur maligne, affection maligne du tissu lymphatique ou hématopoïétique. Cancer colorectal. Aénocarcinome. Janvier 2012.
- Federle MP et al. Blunt splenic injury in adults: clinical and CT criteria for management, with emphasis on active extravasation. Radiology 1998;206(1):137-42.
- Koga A, Watanabe K, Fukuyama T et al. Diagnosis and operative indications for polypoid lesions of the gallblader. Arch Surg 1988;123(1):26-9.
- Leifer DM, Middleton WD, et al. Follow-up of patients at low risk for hepatic malignancy with a characteristic hemangioma at US. Radiology. 2000; 214(1):167-72.
- Leslie DF, Johnson CD, et al. Distinction between cavernous hemangiomas of the liver and hepatic metastases on CT: value of contrast enhancement patterns. AJR Am J Rontgenol. 1995;164(3):625-9.
- Ruppert-Kohlmayr, et al. Focal nodular hyperplasia and hepatocellular adenoma of the liver: differentiation with multiphasic helical CT.
   AJR Am J Rontgenol. 2001 Jun;176(6):1493-8.
- Semelka RC, Brown ED, et al. Hepatic hemangiomas: a multi-institutional study of appearance on T2-weighted and serial gadolinium-enhanced gradient-echo MR images. Radiology. 1994 Aug;192(2):401-6.

#### **IMAGERIE UROLOGIQUE**

- Barentsz JO, Richenberg J, et al. ESUR prostate MR guidelines 2012. Eur Radiol. 2012 Apr;22(4):746-57.
- Bosniak MA. The current radiological approach to renal cysts. Radiology, 1986;158:1-10.
- Dickinson L, Ahmed HU, et al. Magnetic resonance imaging for the detection, localisation, and characterisation of prostate cancer: recommendations from a European consensus meeting. Eur Urol. 2011 Apr;59(4):477-94.
- Patard JJ, et al. Recommandations en Onco-Urologie 2010: Cancer du rein. Progrès en Urologie (2010), 20 Suppl. 4, S319—S339.
- Pei et al unified criteria for ultrasonographic diagnosis of ADPKD. J Am Soc Nephrol 2009; 20(1): p.205-12

### www.l<mark>emanip.com</mark>

- Pfister C. Recommandation en Onco-Urologie 2010: Tumeurs urothéliales. Progrès en urologie (2010), Suppl 4, 255-274.
- · Portalez D, et al. Classification PI-RADS dans le diagnostic du cancer de la prostate par IRM multiparamétrique. Congrès JFR 2013.
- Salomon L, et al. Recommandations en Onco-Urologie 2010: Cancer de la prostate. Progrès en Urologie (2010), 20 Suppl. 4, S217–S252
- · Sobin LH and al. TNM classification of malignant tumors. UICC International Union against Cancer. 7th edn. Wiley-Blackwell 2009: 255-7

#### **IMAGERIE ORL**

- Benson M, Dalen K, Mancuso A, Kerr H, Cacciarelli A, Mafee M. Congenital Anomalies of the Branchial Apparatus: Embryologie and Pathologic Anatomy. Radiographics 1992; 12:943-960.
- Garabédian E.N., Bobin S, Monteil J.P., Triglia J.M., ORL de l'enfant, Paris, Médecine Sciences, Flammarion, 1996:81-141.
- Portmann M, Guerin J, Bebear J, Duriez f, Portmann D. A propos des premiers symptômes cliniques des neurinomes de l'acoustique. Rev Laryng 1988;109:401-404.

#### **IMAGERIE ENDOCRINIENNE**

- Bonneville JF, Cattin F, et al. Imagerie des adenomes hypophysaires. Presse Med. 2009; 38:84-91.
- Bonneville JF. Quand l'hypophyse prend du ventre. J Radiol. 2002;83:319-20.
- Chaudhary V, Bano S. Thyroid ultrasound. Indian J Endocrinol Metab. 2013 Mar;17(2):219-27.
- Hegedüs L, et al. The determination of thyroid volume by ultrasound and its relationship to body weight, age, and sex in normal subjects. J Clin Endocrinol Metab. 1983 Feb;56(2):260-3.
- Legmann P. Conduite à tenir face à un incidentalome surrénalien. : scanner-IRM. Journal de Radiologie 90 (2009)426-43.
- · Ohana M, et al. Conduites à tenir face à une anomalie surrénalienne : un guide interactif. JFR 2011.
- Tabarin A, Bardet, et al. Exploration et prise en charge des incidentalomes surrénaliens. Consensus d'experts de la Société française d'endocrinologie. Annales d'endocrinologie 69 (2008)e1-e16.

#### ONCO-RADIOLOGIE

 Eisenhauer, P, Therasse, J, et al. New response evaluation criteria in solid tumours: Revised RECIST guideline (version 1.1). Eur J Cancer 2009;45:228–247.

#### INDEX

SYMBOLES
βHCG
A
ACR 0
ACR 1
ACR 2
ACR 3
ACR 4
ACR 5
ACR 6
ACROMION70
ADENOME 171
ADENOMYOSE9
AHA
AMÉNORRHÉE13
ANGIOCHOLITE AIGUË LITHIASIQUE 135
ANGIOME CAPILLAIRE 132
ANGIOME CAVERNEUX 132
ANGLE ACÉTABULAIRE24
ANGLE CALCANÉEN27
ANGLE DE COBB96
ANGLE DE DÉVIATION ANGULAIRE
CORRIGÉ49
ANGLE DE DÉVIATION ANGULAIRE
GLOBAL
ANGLE DE DIVERGENCE TALO-CALCA- NÉEENE DE FACE42
ANGLE DE DIVERGENCE TALO-CALCA-
NÉENNE41

ANGLE DE DJIAN-ANNONIER 40, 45, 46
ANGLE DE FLEXION
ANGLE DE MÉTATARSUS VARUS43
ANGLE DE VERSION6
ANGLE D'OUVERTURE DE L'AVANT-PIED 43
ANGLE LUNO-CAPITAL80
ANGLE M1-P1 DE L'HALLUX42
ANGLE MÉCANIQUE FÉMORAL50
ANGLE MÉCANIQUE TIBIAL50
ANGLE RADIO-LUNAIRE79
ANGLE SCAPHO-LUNAIRE79
ANGLE TALO-CALCANÉEN27
ANGLE TIBIO-TALIEN 41, 46
ANGLE TROCHLÉEN
ANGLE A22, 65, 66
ANGLE A DE NOTZLI65, 66
ANGLE B22
ANISME 17
ANTELISTHESIS28
ANTÉVERSION DE L'ACÉTABULUM63
ANTÉVERSION DU COL FÉMORAL63
AORTE99, 101, 142
APPENDICITE31, 142
ARCS DE GILULA78, 81, 82
ARLET ET FICAT69
ARNOLD CHIARI 128
ARTÈRE MÉSENTÉRIQUE31
ARTERE PULMONAIRE 102
ARTERES BRONCHIQUES102
ASPECTS126
ATRESIE DE L'ŒSOPHAGE30

В	
BALTHAZAR	138
BANDES	120
BARCELONE	133
BASCULE LATÉRALE DE LA PATELLA	55
BASCULE PELVIENNE	92
BASEDOW	169
BIOMETRIE DE LA RATE	29
BIOMETRIE DE LA VOIE BILIAIRE	
PRINCIPALE	29
BIOMETRIE DE L'UTERUS	35
BIOMETRIE DES REINS	32
BIOMETRIE DU BASSINET	33
BIOMETRIE DU LOBE DROIT HEPATIC	
BI- RADS	2
BOYDEN	111
BRANCHIAUX	164
C	
CALCUL	143
CANAL CARPIEN	83
CANCER COLO-RECTAL	142
CANCER DE L'ENDOMETRE	11
CANCER DE VESSIE	147
CANCER DU REIN	145
CAPACITE VESICALE	34
CAPSULITE RETRACTILE	73
CARCINOMES LARYNGES	161
CARDIOMYOPATHIE DILATEE	105
CARDIOMYOPATHIE HYPERTROPHIQ	UE.105
CAVERNOME	126
CERCLAGE DE MEARY	

CHC	133
CHOLANGIOCARCINOME135,	136
CLARTE NUCALE	19
CLASSIFICATION DE BALTHAZAR1	138
CLASSIFICATION DE BISMUTH ET	
CORLETTE	
CLASSIFICATION DE BOSNIAK	
CLASSIFICATION DE BIGLIANI	70
CLASSIFICATION DE DEJOUR	Supple Toylo
CLASSIFICATION DE DUCKETT	
CLASSIFICATION DE EBRAHIM	85
CLASSIFICATION DE FAZEKAS 1	10115100
CLASSIFICATION DE GROSS	30
CLASSIFICATION DE HAMADA ET	
FUKUDA	76
CLASSIFICATION DE	
KELLGREN-LAWRENCE	
CLASSIFICATION DE KEROS	01505 1017
CLASSIFICATION DE KOOS1	
CLASSIFICATION DE LODWICK	
CLASSIFICATION DE LUCAS	72
CLASSIFICATION DE PORTMANN ET BEBEAR1	
CLASSIFICATION DE SPETZLER 1	
CLASSIFICATION DE STANFORD	
CLASSIFICATION DE STANFORD	
CLASSIFICATION DE WALCH	
CLASSIFICATION MODIC	
CORE DES DOTATIONS	
CONFLIT ANTÉRO MÉDIA	
CONFLIT ANTÉRO-MÉDIAL	71
CONFLIT ANTÉRO-SUPÉRIEUR	70

CONFLIT FEMORO-ACETABULAIRE
CONFLITS
CONSTRUCTION D'OMBREDANNE
CORDE SACRÉE
CORTICAL DEFECT
COUDE
COUVERTURE TALO-NAVICULAIRE
COXOMETRIE62,
CYPHOSE
CYSTOCÈLE
D
DENSITE MAMMAIRE
DE QUERVAIN
DIAMÈTRE BI-ÉPINEUX
DIAMÈTRE BI-ISCHIATIQUE
DIAMÈTRE PROMONTO-RÉTRO-PUBIEN:
DIAMÈTRE SOUS SACRO-SOUS PUBIEN:
DIAMÈTRE TRANSVERSE MÉDIAN
DIASTASIS ATLANTO-AXOÏDIEN
DIASTASIS TIBIO-FIBULAIRE DISTAL
DYSPLASIE DE HANCHE
DYSPLASIE DE TROCHLEE51, 5
E
ECHOGRAPHIE DE DATATION
ECHOGRAPHIE T1
ECST10
EFFET CAME65, 6
EFFET TENAILLE
ELYTROCÈLE 1
ENCHONDROME
ENDOFUITES 10

ENDOMETRE	6, 1
ENTORSE DE CHEVILLE	4
<b>ENTORSE TIBIOFIBULAIRE DISTAL</b>	E4
EPAISSEUR DU FOND ACÉTABULA	IRE 2
EPERON SUS-TROCHLÉEN	
EPIPHYSIOLYSE	2
ESPACE SOUS ACROMIAL	7
ETHMOÏDE	15
EXOSTOSE	
F	
FIBROME NON OSSIFIANT	3
FISHER	
FISTULES DURALES	
FLÈCHE SACRÉE	
FLEISCHNER SOCIETY	
FRACTURE ÉPIPHYSAIRE	26, 6
G	
GENU VALGUM	
GENU VARUM	
GÎTE SAGITTALE	
GONOMETRIE	
GOUTALLIER	
GRUEN	6
H	
HALLUX VALGUS	
HÉDROCÈLE	1
HEPATOMEGALIE	
HERNIES	140
HILES	
HYDROCHOLECYSTE	134
HYPERPLASIE NODULAIRE FOCALE	133

17 17 17 17	1
HYPOPLASIE DE LA BERGE MÉDIALE 5	3
HYSTÉROCÈLE 1	6
HYSTEROPTOSE1	6
10	
IMPLANTS ESSURE1	4
INCIDENCE PELVIENNE9	4
INDEX CORTICO-DIAPHYSAIRE2	7
INDEX DE HALLER	
INDEX RECTO-SIGMOÏDIEN DE PROFIL 3	1
INDICE DE BLACKBURNE ET PEEL54	4
INDICE DE CATON ET DESCHAMPS54	1
INDICE DE DYSPLASIE DE L59	1
INDICE DE INSALL ET SALVATI54	1
INDICE DE MAGNIN20	,
INDICE DE MC MURTRY78	
INSTABILITE	,
K	
KIENBOCK82	,
KOO ET KIM	
KYSTES OVARIENS	
L	
LABRUM 22, 72	
LE FORT	
LEUCOPATHIES122	
L'EXOPHTALMIE128	
LICHTMAN82	
LIGAMENT COLLATERAL MEDIAL	
LIGAMENT CROISE ANTERIEUR60	
LIGNE DE KLEIN25	
LIGNE DE MÉARY-TOMENO 40	

LIGNE DE PERKINS2	4
LIGNE DE PUTTI2	4
LIGNE DE SWISCHUK28 89	9
LIGNE MÉDIASTINALE ANTÉRIEURE 118	3
LIGNE MÉDIASTINALE POSTÉRIEURE 118	3
LIGNE PARA AORTIQUE119	)
LIGNE PARA AZYGO-OESOPHAGIENNE 119	)
LIGNES86, 118, 119	
LIGNES PARAVERTÉBRALES DROITE ET GAUCHE119	
LORDOSE93, 97	
UXATION DE HANCHE22, 24	
YSE ISTHMIQUE91	-
VI	
MALADIE DE HIRSCHPRUNG31	
MALFORMATION ARTERIO-VEINEUSE 125	
MALFORMATIONS UTERINES9	
MAMMOGRAPHIE1	
MENISQUE57	
MENISQUE DISCOÏDE57	
MICROCALCIFICATIONS	
MORPHOLOGIE TOIT ACETABULAIRE 22	
ORT ENCEPHALIQUE127	
YOMES	
/	
ASCET 103	
ASH ET MOE97	
EM171	
EPHROCALCINOSE33	
ERF ULNAIRE	

0	
OFFSET CERVICOPHALIQUE	65
OLIGOMENORRHÉE	13
OMARTHROSE	74 76
OPACITÉ	2 3
OSTEOLYSE	38
OSTEOPOROSE	27
P	-
PANCREAS DIVISUM	139
PANCREATITE AIGUE	138
PARATHYROIDES	169
PAROTIDE	165
PATELLA ALTA	54
PECTUS EXCAVATUM	117
PEI ET AL	145
PELVIMETRIE	20
PENTE DES MÉTATARSIENS	41
PENTE DU 1" MÉTATARSIEN	41, 45
PENTE DU CALCANÉUS41.	45. 46
PENTE LATÉRALE AU NIVEAU	
DE LA SUS-TROCHLÉE	53
PENTE LATÉRALE AU SOMMET DE LA	TRO-
CHLÉE	53
PENTE SACRÉE	94
PÉRITONÉOCÈLE	16, 17
PIED CREUX	40, 46
PIED PLAT27,	40, 45
PLUMB LINE	92
PODOMETRIE	40
POLMAN ET MC DONALD	127
POLYKYSTOSE AUTOSOMIQUE POMINANTE	
OWINAM I E	145

POLYPES VESICULAIRES 135	,
POULIES84	
PROFONDEUR DE LA TROCHLÉE 51, 52, 53	
PROLAPSUS RECTAL17	
PROTHESES DE GENOU58	
PROTRUSION ACETABULAIRE64	
PSEUDO-LUXATION C2-C3 28, 89	
R	
RACHIS CERVICAL28, 86	
RANO121	
RECIST 172	
RECOUVREMENT OSSEUX DE LA TÊTE	
FÉMORALE23	
RECTOCÈLE ANTÉRIEURE17	
RECTOCÈLE POSTÉRIEURE17	
REFLUX VESICO-URINAIRE34	
S	
SAILLIE DE LA TROCHLÉE51	
SALTER ET HARRIS26	
SARCOIDOSE118	
SCHELTENS 123	
SCHEUERMANN98	
SCOLIOSE92, 95, 96, 97	
SCORE DE HERMAN 19	
SCORE PI-RADS 153	
SEP127	
SIGNE DU CROISEMENT51, 52, 66	
SIGNE DU DOUBLE CONTOUR	
PATHOLOGIQUE51	
SLAP72	
STADE DE MAYERDING91	
STATIQUE PELVIENNE 16	100

STEATOSE	13
STENER	8
STENOSE DU PYLORE	30
SUBLUXATION	75, 8
SUBLUXATION POSTÉRIEURE	7!
SURRENALES	170
SYNDROME DE MAYER-ROKITANSKI- KUSTER-HAUSER	9
SYNDROME DES OVAIRES POLYKYSTIC (CRITERES DE ROTTERDAM 2003)	UES
T	
TA-GT	50
TAILLARD	9
THYROIDE	167
TIRADS	
TIROIR ANTÉRIEUR	48, 60
TNM 110, 136, 142, 145, 147, 14	8, 152
TRACHÉLOPTOSE	
TRAUMATISME HEPATIQUE	134
TRAUMATISME PANCREATIQUE	140
TRAUMATISME RENAL	146
TRAUMATISME SPLENIQUE	137
TUMEUR OVARIENNE	15
U	
UTERUS	. 6, 35
UTÉRUS À FOND ARQUÉ	11
UTÉRUS BICORNES	
UTÉRUS CLOISONNÉS	10
V	
VAISSEAUX MÉSENTÉRIQUES	31
VARIANCE ULNAIRE	
VARICOCELE	

VEGETATIONS36	, 16
VEINE MÉSENTÉRIQUE	3
VERSION PELVIENNE	9
Z	
ZABRAMSKI	. 12



Achevé d'imprimer en septembre 2014 sur les presses du

**Groupe Horizon** 

Parc d'activités de la plaine de Jouques 200, avenue de Coulin F - 13420 Gémenos

> Dépôt légal : septembre 2014 N° d'impression : 1409-061 Imprimé en France



# Gratuittement

www.lemanip.com

Radiologie et imagerie medicale



Livres, memoires, rapport de stage, courses, radiologie conventionnelle, Scanner, TDM, IRM, Scintigraphie, Medecine nucleaire, Radiotherapie, Radiologie Interventionnelle, Oncologie, Clichees, Cas interpretes, exposes, medecine

https://www.lemanip.com/